



---

UNIVERSIDADE FEDERAL DO RIO GRANDE DO SUL  
INSTITUTO DE GEOCIÊNCIAS  
PROGRAMA DE PÓS-GRADUAÇÃO EM GEOCIÊNCIAS

**ESTUDO DE PROVENIÊNCIA DOS XISTOS E QUARTZITOS  
ARROIO GRANDE**

MATHEUS SOUZA BELONI

ORIENTADOR – Profa. Dra. Carla Cristine  
Porcher

Porto Alegre, 2020



**UNIVERSIDADE FEDERAL DO RIO GRANDE DO SUL  
INSTITUTO DE GEOCIÊNCIAS  
PROGRAMA DE PÓS-GRADUAÇÃO EM GEOCIÊNCIAS**

**ESTUDO DE PROVENIÊNCIA DOS XISTOS E QUARTZITOS  
ARROIO GRANDE**

**MATHEUS SOUZA BELONI**

**ORIENTADOR – Profa. Dra. Carla Cristine  
Porcher**

**BANCA EXAMINADORA**

Profa. Dra. Cristine Lenz – Centro de Ciências Exatas e Tecnologia, Universidade Federal de Sergipe

Prof. Dr. Marcus Vinicius Dorneles Remus – Instituto de Geociências, Universidade Federal do Rio Grande do Sul

Prof. Dr. Viter Magalhães Pinto – Centro de Engenharias, Universidade Federal de Pelotas

Dissertação de Mestrado apresentada  
como requisito parcial para a obtenção  
do Título de Mestre em Ciências.

**Porto Alegre, 2020**

### CIP - Catalogação na Publicação

Beloni, Matheus Souza  
ESTUDO DE PROVENIÊNCIA DOS XISTOS E QUARTZITOS  
ARROIO GRANDE / Matheus Souza Beloni. -- 2020.  
62 f.  
Orientador: Carla Cristine Porcher.

Dissertação (Mestrado) -- Universidade Federal do  
Rio Grande do Sul, Instituto de Geociências, Programa  
de Pós-Graduação em Geociências, Porto Alegre, BR-RS,  
2020.

1. Xistos e Quartzitos Arroio Grande. 2.  
Proveniência. 3. Idade U-Pb em zircão detritico. 4.  
Sm-Nd em rocha total. 5. Metassedimentares. I.  
Porcher, Carla Cristine, orient. II. Título.

**Dedico a minha sanidade, que me deixou no primeiro ano do mestrado.**

**Agradeço a minha família, por todo apoio.**

**Aos meus amigos, pela parceria.**

**A minha orientadora e ao grupo de pesquisa pela ajuda e paciência.**

## RESUMO

Neste projeto de mestrado procurou obter dados, interpretações, discussões e respostas a cerca dos Xistos e Quartzitos Arroio Grande e da unidade metagrauvaca inserida no Complexo Arroio Grande, a sudeste do Cinturão Dom Feliciano, na porção brasileira. Para essa finalidade foi realizada análise petrográfica, obtidos e interpretado dados de geoquímica de elementos maiores e traços, geoquímica isotópica em rocha-total ( $\text{Sm}/\text{Nd}$ ) e idades U-Pb em zircão detritico das unidades metassedimentares. A unidade metagrauvaca registra metamorfismo de fácie xisto verde-anfibolito e sofreu milonitização em duas fases, em média-alta temperatura ( $500 - 700^\circ\text{C}$ ) e, posterior, em média temperatura ( $400 - 500^\circ\text{C}$ ). O  $\varepsilon_{\text{Nd}}$  obtido foi de -5 e  $T_{\text{DM}}$  de 1.07 e o histograma de idades U-Pb dos zircões detriticos da unidade reflete uma contribuição sedimentar expressiva de unidades criogenianas, sem o registro de idades ediacaranas. Os Xistos e Quartzitos Arroio Grande apresentam características petrográficas de metamorfismo de fácie xisto verde, e registram milonitização de média/baixa temperatura ( $300 - 400^\circ\text{C}$ ). O  $\varepsilon_{\text{Nd}}$  para 5 amostras de xistos varia entre -11 e -14 e  $T_{\text{DM}}$  entre 1,35 e 1,58 Ga e para duas amostras de quartzito,  $\varepsilon_{\text{Nd}}$  -6 e -14 e  $T_{\text{DM}}$  1,09 e 1,69 Ga, respectivamente. O histograma de idades U-Pb dos zircões detriticos demonstram influência mais expressiva de unidades ediacaranas, com idade máxima de deposição de 548 Ma. Com base nos dados acima conclui-se que as unidades pertencem a momentos distintos de deposição na evolução leste do Cinturão Dom Feliciano, e que os Xistos e Quartzitos Arroio Grande são as unidades metassedimentares mais jovens encontrada à leste desse cinturão e que representariam o estágio final na amalgamação do Gondwana.

PALAVRAS-CHAVE: Xistos e Quartzitos Arroio Grande, Proveniência, Idade U-Pb.

## ABSTRACT

This master project aimed to obtain data, interpretations, discussions and answers about the Arroio Grande Schists and Quartzites and the metagreywacke unit that is part of the Arroio Grande Complex, located in the southeast portion of the Dom Feliciano Belt, in the Brazilian territory. Studies such as petrography, geochemistry of major and trace elements, Sm/Nd isotopic geochemistry in whole-rock and U-Pb ages in detritic zircons were done in the metasedimentary units. The metagreywacke presents metamorphism of greenschist-amphibolite facies and mylonitic record of two phases, the first in medium-high temperature (500-700°C) and the aftermost in medium temperature (400-500°C). The  $\epsilon_{\text{Nd}}$  obtained was -5 and  $T_{\text{DM}}$  was 1.07, and the U-Pb age histogram of the detritic zircons of this unit evidenced an expressive contribution from sedimentary units of cryogenian age, without any register of ediacaran ages. The schist and quartzite present petrographic characteristics that indicate greenschist facies metamorphism and medium/low temperature milonitization (300 – 400°C).  $\epsilon_{\text{Nd}}$  values of five schist samples ranged between -11 and -14, and  $T_{\text{DM}}$  ranged between 1.35 and 1.58 Ga. For two quartzite samples,  $\epsilon_{\text{Nd}}$  ranged between -6 and -14, and  $T_{\text{DM}}$  between 1.09 and 1.69 Ga, respectively. The U-Pb age histogram of the detritic zircons that were studied evidenced wide influence of ediacaran units, and maximum deposition age of 548 Ma. Based on the data above it is concluded that the units belong to different stages of deposition during the evolution of the east region of the Dom Feliciano Belt. The Arroio Grande Schists and Quartzites are the younger metasedimentary units of the Dom Feliciano Belt, representing the final stages of amalgamation of West Gondwana.

KEYWORDS: The Arroio Grande Schists and Quartzites, Provenance, U-Pb ages.

## LISTA DE FIGURAS

<u>Figura 1 Mapa geológico simplificado da área de estudo e principais amostras estudadas - (A) Porção sudeste do Cinturão Dom Feliciano (Brasil e Uruguai) (modificado de Blanco et al. 2011, e Ramos et al 2017); (B) Terreno Cuchilla Dionísio – Pelotas e Punta del Este próximo a fronteira Brasil/Uruguai (modificado de Ramos et al., 2018). Setas em branco indicando a localização das amostras analisadas para datação U-Pb em zircão detritico.</u>	14
<u>Figura 2 Fotografias gerais dos afloramentos das unidades estudadas – A) Afloramento a beira de estrada dos Xistos e Quartzitos Arroio Grande (em detalhe, lente de quartzito); B) Afloramento em beira de riacho, mostrando o contato dos Xistos e Quartzitos Arroio Grande (a direita) com o Granito Três Figueiras e metaultramáfica (a esquerda); C) Plano horizontal da metagrauvaca ...</u>	16
<u>Figura 3 Imagem do MEV modelo JEOL® 6610-LV, utilizado para obter imagens de BSE e CL. Possui também EDS acoplada, para a obtenção de análises compostionais.</u>	18
<u>Figura 4. Fotomicrografias dos Xistos e Quartzitos Arroio Grande e metagrauvaca A) Detalhe da textura milonítica dos Muscovita Quartzo Xisto com as fitas de quartzo (<i>ribbon</i>), muscovitas alongadas e porfiroclastos de K-feldspato, intensamente fraturados e com pequena cauda de recristalização (Escala = 500 µm); B) Imagem geral do quartzito mostra a textura do quartzo (<i>bulging</i>) e a estrutura S-C (diferença de orientação do mineral quartzo em relação a foliação da rocha) (Escala = 500 µm); C) Imagem geral da lâmina da metagrauvaca, ressaltando as feições de quartzo em fita (<i>ribbons</i>) e em subgrão, feldspatos e biotitas e ao centro em verde-escuro, turmalina; (Escala = 500 µm); D) Na metagrauvaca, evidência de duas foliações marcadas em tracejado, em vermelho uma primeira foliação de mais alta temperatura e textura <i>grain boundary migration</i>, e em amarelo uma segunda foliação de média temperatura e textura <i>subgrain rotation</i> (Escala = 1mm).</u>	21
<u>Figura 5. Imagem em detalhe dos zircões detriticos obtidos em MEV e idades U-Pb das unidades estudadas. Da esquerda para a direita: PF-24 (metagrauvaca), PF-29 (quartzito) e PF-56 (xisto).</u>	23

## LISTA DE SIMBOLOS, SIGLAS E ABREVIATURAS

CAG – Complexo Arroio Grande

CDF – Cinturão Dom Feliciano

Ga – Bilhões de anos

K – Potássio

m – Metros

Ma – Milhões de anos

Mm – Milímetros

NE – Nordeste

NW – Noroeste

Nd – Neodímio

Pb – Chumbo

Sm – Samário

SW – Sudoeste

$T_{DM}$  - Idade-Modelo de depleção mantélica

U – Urânio

$\mu L$  - Microlitro

$\mu m$  - Micrômetro

$\epsilon_{Nd}$  – Épsilon Neodímio

**SUMÁRIO**

1	RESUMO .....	6
2	ABSTRACT.....	7
3	LISTA DE FIGURAS .....	8
4	LISTA DE SIMBOLOS, SIGLAS E ABREVIATURAS .....	9
5	ESTRUTURA DA DISSERTAÇÃO.....	11
6	TEXTO INTEGRADOR .....	11
7	INTRODUÇÃO .....	11
8	OBJETIVO DA PESQUISA.....	11
9	ESTADO DA ARTE .....	12
10	XISTOS E QUARTZITOS ARROIO GRANDE .....	14
11	ESTUDO DE PROVENIÊNCIA .....	16
12	MATERIAIS E MÉTODOS.....	17
13	RESULTADOS.....	19
14	GEOLOGIA E PETROGRAFIA DOS XISTOS E QUARTZITOS ARROIO GRANDE.....	19
15	GEOQUÍMICA DOS ELEMENTOS MAIORES E TRAÇOS.....	21
16	GEOQUÍMICA ISOTÓPICA EM ROCHA-TOTAL DE Sm/Nd .....	22
17	IDADE U-Pb EM ZIRCÃO DETRÍTICO .....	22
18	DISCUSSÃO .....	23
19	CONCLUSÃO .....	26
20	REFERÊNCIAS.....	26
21	ARTIGO:.....	33
22	COMPLEMENTOS: .....	57
23	A)    TABELA DE DADOS DE ELEMENTOS MAIORES E TRAÇOS .....	57
24	B)    TABELA DE DADOS DE Sm/Nd EM ROCHA-TOTAL .....	58
25	C)    TABELA DE DADOS U/Pb EM ZIRCÃO DETRÍTICO .....	59
26	PF – 24 (METAGRAUWACA) .....	59
27	PF – 29 (QUARTZITO) .....	60
28	PF – 56 (XISTO) .....	61
29		
30		
31		

32        ESTRUTURA DA DISSERTAÇÃO

33

34    Esta dissertação de mestrado está estruturada em um (1) texto integrador, que contempla  
35    uma síntese do projeto de mestrado e está dividido em Introdução, Objetivo da Pesquisa,  
36    Estado da Arte, Materiais e Métodos, Resultados, Discussões e Conclusões, e um (1) artigo  
37    submetido em periódico classificado no estrato Qualis-CAPES (A1, A2, A3 e A4 - explicitar).

38        TEXTO INTEGRADOR

39            INTRODUÇÃO

40    No Cinturão Dom Feliciano (CDF) ocorrem registros de diversas unidades  
41    metassedimentares que representam antigas bacias sedimentares metamorfizadas e  
42    deformadas durante orogêneses. Embora nos estudos antigos sobre o CDF, muitas dessas  
43    rochas tenham sido inseridas sob a mesma denominação, em grande parte considerando  
44    a similaridade de grau metamórfico e tipo de protólito, a aplicação de abordagem analítica  
45    permitiu recuperar parte da assinatura sedimentar das mesmas. A oeste do Terreno  
46    Pelotas, unidades metassedimentares são observadas em contexto tectônicos diversos,  
47    como parte do Complexo Metamórfico Porongos com idades de deposição entre 800 e 560  
48    Ma (Saalmann et al., 2006; Gruber et al., 2016; Höfig et al., 2018), ou as unidades  
49    metassedimentares do Complexo Passo Feio (Bitencourt, 1983; Remus et al., 1999;  
50    Saalmann et al. 2006; Lopes et al., 2015) e Marmeiro do Terreno São Gabriel (Fernandes  
51    et al., 1995), por exemplo.

52    Já para ocorrências de rochas metassedimentares do sudoeste do Terreno Pelotas existem  
53    poucos dados publicados. Nesta região são descritas unidade de rochas  
54    metassedimentares de protólito carbonático (Mármore Matarazzo: Neis (2017) e Gherard  
55    (2015)) e siliciclásticas (Xistos e Quartzitos Arroio Grande: Beloni (2016) e Cruz (2019) -  
56    Xistos e Quartzitos Herval: Cruz (2019) - Complexo Arroio Telho: Iglesias (2018) e Cruz  
57    (2019)).

58            OBJETIVO DA PESQUISA

59    Essa dissertação teve como objetivo obter informações para auxiliar no entendimento do  
60    contexto geológico em que os Xistos e Quartzitos Arroio Grande estão inseridos, bem como  
61    a idade de deposição dos sedimentos. Para esta finalidade, foram realizados trabalho de  
62    campo e petrografia, descrição da morfologia e texturas dos zircões detriticos, análises  
63    geoquímicas de elementos maiores e traços, análises isotópicas Sm/Nd em rocha total e  
64    idades U-Pb em zircão detritico. Foram discutidas também, possíveis áreas-fonte para os

65 mesmos e correlações com outras unidades metassedimentares.

## 66 ESTADO DA ARTE

67 O Cinturão Dom Feliciano (Fig. 1) corresponde ao orógeno meridional da Província  
68 Mantiqueira (Almeida et al., 1981) e estende-se por mais de 1200 km, desde Punta del Este  
69 (Uruguai) até o estado de Santa Catarina (Brasil), compreendendo as porções centrais e  
70 orientais dos escudos Uruguaio, Sul-rio-grandense e Catarinense. Esse cinturão orogênico  
71 está relacionado à amalgamação do paleocontinente Gondwana Ocidental, durante o ciclo  
72 Brasiliiano-Panafricano (Neoproterozoico), como resultado do encerramento de bacias  
73 paleo-oceânicas em resposta à convergência entre os crátons Rio de La Plata, Kalahari,  
74 Angola-Congo-São Francisco e outros blocos e microplacas menores (Fernandes et al.,  
75 1995a e 1995b; Basei et al., 2000; Gaucher et al., 2009; Brito-Neves et al., 2014; Philipp et  
76 al., 2016; Santos et al., 2017). Na porção africana, seus equivalentes são os cinturões  
77 Gariep, Damara e Kaoko, os quais em conjunto formam o denominado Orógeno Damara  
78 (Gray et al., 2008; Frimmel et al., 2011), desenvolvido durante colagem orogênica em  
79 junção tríplice transversa (Passchier et al., 2016).

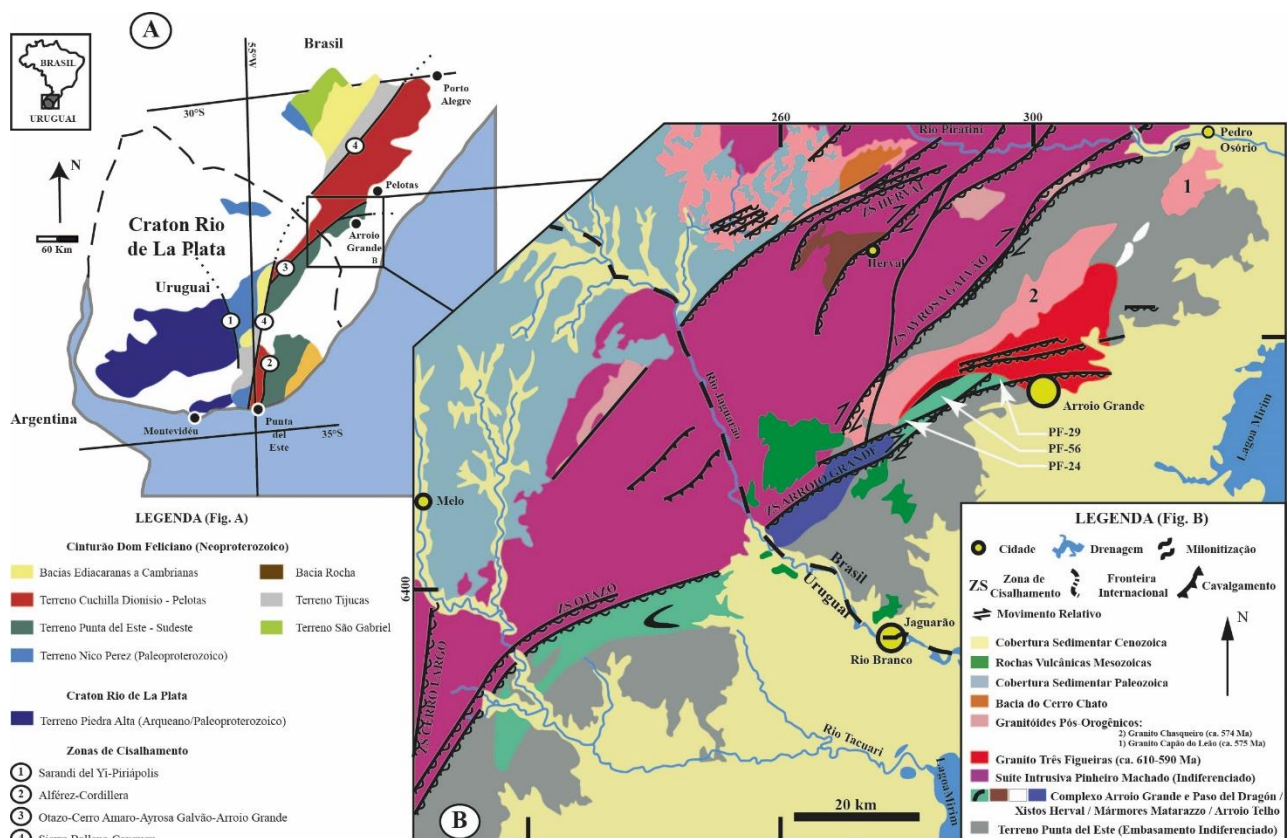
80 No Escudo Uruguaio-sul-rio-grandense, onde está localizada a área de Arroio Grande, área  
81 de interesse desta pesquisa, o Cinturão Dom Feliciano é limitado a norte por unidades  
82 fanerozoicas da Bacia do Paraná, a oeste por unidades arqueanas a paleoproterozoicas do  
83 Cráton Rio de La Plata, e a leste e sul pelos sedimentos quaternários da Planície Costeira  
84 e pelo Oceano Atlântico. Descontinuidades geofísicas de escala regional permitem a  
85 subdivisão do cinturão em quatro domínios principais, três propostos inicialmente por  
86 Fernandes et al., (1995b) e Hartmann et al (2016): domínios Oeste (Terreno São Gabriel,  
87 aflorante apenas no Escudo Sul-rio-grandense; Hartmann et al., 2007), Central (Terreno  
88 Tijucas e bacia molássica Arroio del Soldado-Camaquã; Chemale Jr., 2000; Blanco et al.,  
89 2011) e Leste (terrenos Cuchilla Dionisio-Pelotas e Punta del Este; Bossi & Gaucher, 2004;  
90 Basei et al., 2011) e recentemente, o Domínio Sudeste proposto por Ramos et al., (2014)  
91 (Terreno Jaguarão; Cruz, 2019) com base em assinaturas de aerogeofísica e a presença  
92 de rochas ofiolíticas relacionadas à sutura.

93 Esses terrenos, com evoluções crustais distintas, foram construídos ao longo de três  
94 eventos orogênicos (Silva et al., 2005): Brasiliano I (clímax em torno de 730-700 Ma –  
95 apenas no Terreno São Gabriel, relacionado à Orogenia São Gabriel e ao encerramento do  
96 paleo-oceano São Gabriel/Charrua; Saalmann et al., 2011), Brasiliano II (clímax em torno  
97 de 640-620 Ma – relacionado à Orogenia Dom Feliciano no Terreno Cuchilla Dionisio-

98 Pelotas, representado por grande volume de magmatismo e intenso retrabalhamento  
99 crustal, possivelmente relacionado ao encerramento do paleo-oceano Adamastor Sul e  
100 bacias de retroarco relacionadas; Chemale Jr., 2000; Frimmel et al., 2011; Ramos et al.,  
101 2017), e Brasiliano III (clímax em torno de 590-550 Ma – relacionado a magmatismo  
102 sintectônico e pós-orogênico, e aos estágios finais da amalgamação do Gondwana  
103 Ocidental) (Babinski et al., 1997; Brito-Neves et al., 2014).

104 No Terreno Cuchilla Dionisio - Pelotas, contexto geológico dos Xistos e Quartzitos Arroio  
105 Grande, predominam granitoides do denominado Batólito Aiguá-Pelotas, um conjunto de  
106 batólitos e plutões relacionados aos eventos Brasiliano II e III, com idades magmáticas que  
107 variam entre 650 - 610 Ma para suas unidades mais antigas: as suítes intrusivas Pinheiro  
108 Machado e Erval (cálcio-alcalinos de alto-K e assinaturas geoquímicas que sugerem  
109 magmatismo continental relacionado à subducção; Silva et al., 2005; Philipp et al., 2016).  
110 Inseridos nesse cinturão granítico são encontrados fragmentos e xenólitos de crosta  
111 (oceânica e continental) pretérita, como o ofiolito de Arroio Grande (Ramos et al 2014) e,  
112 como os gnaisses Piratini (magmatismo 784 Ma e metamorfismo 664Ma U-Pb; Tambara,  
113 2015) e Chácara das Pedras (magmatismo 777 Ma e metamorfismo 660 Ma U-Pb; Koester  
114 et al., 2016), os quais representam fragmentos de um antigo arco continental,  
115 correlacionado ao embasamento do Terreno Punta del Este no Uruguai (Gnaisses Cerro  
116 Bori, Complexo Cerro Olivo; Masquelin et al., 2012; Lenz et al., 2013).

117 Outras unidades ocorrem na região e correspondem a diversas etapas da evolução  
118 geológica e geotectônica da porção oriental do CDF, como o granito Três Figueiras (585  
119 Ma U-Pb; Klein et al., 2018), o granito Chasqueiro (cristalização em 574 Ma U-Pb em zircão  
120 Vieira et al., 2017) e a Suíte Granítica Dom Feliciano que representa unidades tardí-  
121 orogênicas (idades de cristalização isocrônicas Rb-Sr de referência, em rocha total, de 544  
122  $\pm$  5 Ma segundo Soliani Jr. (1986) e 550  $\pm$  6 Ma segundo Fragoso-Cesar (1991)).  
123 Juntamente a essas unidades ocorrem, na porção sul do Domínio Oriental,  
124 metassedimentos de natureza carbonática representados pelos Mármore Matarazzo.  
125 Esses ocorrem na região norte do município de Arroio Grande, e possuem idades  $^{87}\text{Sr}/^{86}\text{Sr}$   
126 para a deposição entre 900 - 850 Ma (Neis, 2017).



127

128 Figura 1 Mapa geológico simplificado da área de estudo e principais amostras estudadas - (A) Porção sudeste  
 129 do Cinturão Dom Feliciano (Brasil e Uruguai) (modificado de Blanco et al. 2011, e Ramos et al 2017); (B)  
 130 Terreno Cuchilla Dionísio – Pelotas e Punta del Este próximo a fronteira Brasil/Uruguai (modificado de Ramos  
 131 et al., 2018). Setas em branco indicando a localização das amostras analisadas para datação U-Pb em zircão  
 132 detritico.

### 133 XISTOS E QUARTZITOS ARROIO GRANDE

134 O Complexo Arroio Grande (Ramos, 2013; Ramos & Koester, 2015) foi inicialmente  
 135 interpretado como duas porções divididas pela intrusão do Granito Três Figueiras,  
 136 peraluminoso, sincinemático à Zona de Cisalhamento Arroio Grande, com idades  
 137 magmáticas em torno de 610 - 590 Ma (Klein et al., 2018; Vieira et al., 2019; Cruz, 2019).  
 138 A norte deste granito são encontradas unidades do Ofiolito Arroio Grande que compreende  
 139 os Mármores e Metamafitos Matarazzo (Neis, 2017; Ramos et al., 2017), além de xenólitos  
 140 de metagabros e metadioritos encontrados em granitoides da Suíte Intrusiva Pinheiro  
 141 Machado e no Granito Três Figueiras (Ramos et al., 2017). A sul do granito encontram-se  
 142 unidades do Ofiolito Arroio Grande (xistos magnesianos cromíferos, serpentinitos,  
 143 anfibolitos e metagabros) envelopadas pelas rochas metassiliciclásticas dos Xistos e  
 144 Quartzitos Arroio Grande, estudadas no presente trabalho, em contato tectônico (Ramos et  
 145 al., 2018). A partir das assinaturas geoquímicas dos metaultramafitos e metamafitos foi  
 146 sugerido um ambiente oceânico de retroarco para a geração dos protólitos (Ramos &  
 147 Koester, 2015). A deposição dos protólitos dos mármores ocorreu entre 800 - 700 Ma (Neis,

148 2017; Ramos et al., 2018) durante a fase de expansão da bacia de retroarco. A idade  
149 mínima para o alojamento do ofiolito na crosta continental é estimada em 640 Ma,  
150 relacionada aos estágios iniciais do encerramento da bacia (Ramos et al., 2017). Cruz  
151 (2019) descreve o Complexo Arroio Grande como associação de rochas máficas,  
152 ultramáficas e sedimentares metamorfizadas, composta por talco-serpentina xistos,  
153 tremolítitos e clorítitos com cromita (termos ultramáficos), epidoto anfibolitos, metadioritos  
154 e metagabros (termos máficos), mica xistos, quartzitos, metagrauvacas, granada-biotita  
155 xistos e mármore (termos sedimentares). Cruz (2019) ainda cita a ocorrência de  
156 muscovita-biotita-xistos intemperizados, intercalados com clorita-xistos, quartzitos e  
157 granitoides, todos com foliação milonítica. O autor apresenta uma amostra de estaurolita-  
158 limonita-biotita-muscovita-quartzo xisto, na qual é feito análise de proveniência U-Pb em 51  
159 zircões detriticos, com resultados mostrando uma maior influência de fontes estaterianas  
160 (Paleoproterozoico), Mesoproterozoico e criogenianas (Neoproterozoico), com idade mais  
161 jovem de 668 Ma.

162 Os Xistos e Quartzitos Arroio Grande foram interpretados como a unidade  
163 metassiliciclástica do Complexo Arroio Grande constituída principalmente por mica xistos e  
164 quartzitos, com ocorrências subordinadas de metagrauvacas e xistos granatíferos (Ramos  
165 et al 2014). Esses metassedimentos afloram a oeste da cidade de Arroio Grande, no sul do  
166 Rio Grande do Sul e os xistos são a litologia predominante, apresentando uma variação de  
167 cor entre vermelho e cinza, devido ao intenso grau de intemperismo (Fig. 2A). Ocorrem em  
168 grande extensão (cerca de 20 km por 5 km, alongado segundo NE-SW), com foliação bem  
169 marcada com mergulho para NW ( $80^\circ$  aproximadamente) e ocorrem associados a lentes  
170 centimétricas a métricas de quartzito. Os quartzitos, de ocorrência subordinada, intercalam-  
171 se com os xistos, e possuem como forma geral lentes de espessuras variáveis entre 0,5 e  
172 1 m, e comprimentos de até 5 m. A olho nu é possível identificar apenas quartzo como  
173 mineral principal, e muscovita com auxílio de lupa. Essas duas litologias possuem contato  
174 tectônico com o Granito Três Figueiras e com as unidades metamáficas e ultramáficas do  
175 Ofiolito Arroio Grande (Fig. 2B). Foi denominado para essas unidades metassedimentares  
176 de Xistos e Quartzitos Arroio Grande (Beloni et al., 2016). Segundo Ramos et al. (2014), a  
177 metagrauvaca é aflorante de forma pontual, com injeções do granito Três Figueiras  
178 (injeções descontínuas, centimétricas a métricas, geralmente dobradas, acompanhando a  
179 direção preferencial da metagrauvaca), onde é possível observar bandas centimétricas de  
180 composição micácea e félscica, e dobras de forma generalizada no afloramento (Fig 2C).



181

182 Figura 2 Fotografias gerais dos afloramentos das unidades estudadas – A) Afloramento a beira de estrada  
 183 dos Xistos e Quartzitos Arroio Grande (em detalhe, lente de quartzito); B) Afloramento em beira de riacho,  
 184 mostrando o contato dos Xistos e Quartzitos Arroio Grande (a direita) com o Granito Três Figueiras e  
 185 metaultramáfica (a esquerda); C) Plano horizontal da metagrauvaca

186

#### ESTUDO DE PROVENIÊNCIA

187 Para estudo de proveniência em rochas metassedimentares é utilizado o método U-Pb em  
 188 zircão detritico, pois é uma ferramenta eficaz para obter dados geocronológicos. O método  
 189 U-Pb em zircão detritico para unidades metassedimentares fornece idades comparaveis a  
 190 possíveis áreas-fonte dos sedimentos, assim como a idade máxima de deposição para a  
 191 bacia, de acordo com a idade mais jovem obtida em uma população de zircões (Gehrels,

192 2014).

193 Para se obter um resultado mais acurado, a análise qualitativa dos grãos, como descrito  
194 por Fedo et al. (2003), é a mais indicada. Essa análise considera a utilização da maior  
195 quantidade de zircões possíveis na amostra, de forma randômica e imparcial (método de  
196 despejo) para a datação, pois assim é obtém-se idades que representam de forma mais  
197 precisa as possíveis áreas-fonte dos sedimentos (Gehrels, 2014).

198 A forma mais adequada para disponibilizar os resultados de idade detritica é na forma de  
199 um histogramas de idade, onde populações mais numerosas de zircões refletem áreas-  
200 fonte mais significativas para o aporte da bacia (Fedo et al., 2003). O valor de idade mais  
201 jovem encontrado representa a idade de quando a sedimentação cessou, ou quando a  
202 bacia sedimentar fechou.

203 Outros métodos são utilizados em estudos de proveniência para obter resultados que  
204 auxiliem nas discussões sobre áreas-fonte e ambientes tectônicos na formação de  
205 unidades metassedimentares. Entre esses métodos, destacam-se o método Sm/Nd em  
206 rocha total, para obter parâmetros de  $\epsilon_{\text{Nd}}$  e  $T_{\text{DM}}$  comparáveis com possíveis áreas-fonter  
207 (Arndt & Goldstein, 1987), e a utilização de assinaturas geoquímicas em diagramas de  
208 padrões de ambientes tectônicos (Bhatia, 1983).

## 209 MATERIAIS E MÉTODOS

210 Para o desenvolvimento deste projeto, foi visitado e descrito 11 afloramentos e coletadas  
211 amostras dos xistos e quartzitos para os estudos de petrografia (3 amostras), geoquímica  
212 (10 amostras), geoquímica isotópica Sm/Nd em rocha-total (8 amostras) e datação U-Pb  
213 em zircão detritico (3 amostras). Foram escolhidas amostras representativas dos litotipos  
214 reconhecidos em campo e menos alteradas. As análises geoquímicas em rocha total foram  
215 obtidas através de espectrometria por fluorescência de Raios - X (FRX), utilizando um  
216 espectrômetro Rigaku® RIX2000 do CPGq - IGEO - UFRGS. Nestas, determinou-se a  
217 concentração de elementos maiores e elementos-traço.

218 As análises isotópicas foram realizadas no Laboratório de Geologia Isotópica-  
219 CPGq/UFRGS (LGI) onde foi adicionado aproximadamente 100  $\mu\text{L}$  de traçador (spike) de  
220 Sm-Nd para cerca de 100  $\mu\text{g}$  de amostra para análise por diluição isotópica de Sm/Nd e de  
221 Sr natural. As amostras com traçador foram solubilizadas com ácidos e passadas em  
222 colunas cromatográficas para a concentração de Sr, Sm, Nd. Os dados isotópicos desses  
223 elementos foram obtidos com ICP - MS Thermo Fisher® Neptune e com TIMS VG-Sector  
224 do LGI. Os resultados brutos obtidos foram reduzidos com uma planilha *in-house*

225 laboratório, na qual a idade modelo é calculada de acordo com DePaolo (1981).  
226 As amostras foram preparadas a partir da metodologia do Laboratório de Preparação de  
227 Amostras da UFRGS com a finalidade de obter o máximo possível da fração de zircão  
228 presente nas rochas, utilizando desagregadores mecânicos, separadores físicos (bateia) e  
229 magnéticos (Frantz). Os zircões separados foram fixados em resina Buehler epoxy para a  
230 confecção de mounts, nos quais utilizou-se o método de despejo, visando obter a maior  
231 quantidade de grãos de zircão, sem seleção ou escolha, mesmo que involuntária, dos grãos  
232 a serem analisados (Fedó et al., 2003; Gehrels, 2014). Os zircões detriticos nos mounts,  
233 foram imageados por catodoluminescência (CL) em Microscópio Eletrônico de Varredura  
234 (MEV). O MEV utilizado foi o modelo JEOL® 6610 - LV com equipamento ChromaCLII Gatan  
235 acoplado do LGI (Fig. 3). As imagens de MEV - CL foram utilizadas durante a análise de  
236 LA – ICP - MS para selecionar áreas dos grãos livres de inclusões, fraturas ou feições  
237 metamíticas.



238  
239 Figura 3 Imagem do MEV modelo JEOL® 6610-LV, utilizado para obter imagens de BSE e CL. Possui também  
240 EDS acoplada, para a obtenção de análises composticionais.  
241 As análises das razões U-Pb dos zircões foram obtidas utilizando-se Espectrômetro de  
242 Massa com Nebulização a Laser por Plasma Individualmente Acoplado (Laser Ablation  
243 Inductively Coupled Plasma Mass Spectrometer, ou LA-ICP-MS), modelo Thermo  
244 Scientific® ELEMENT 2®, do laboratório de pesquisas isotópicas A.I.R (Applied Isotope  
245 Research Group) da Universidade Federal de Ouro Preto (UFOP). A metodologia utilizada  
246 nas análises está descrita em Farina et al. (2015). Os dados brutos foram reduzidos usando

247 o programa Glitter (Van Achterbergh et al., 2001) e as idades calculadas e dispostas em  
248 diagramas de frequência, utilizando-se o programa IsoplotEX 4 (Ludwig, 2003). As  
249 incertezas para cada análise são de  $1\sigma$ .

250           RESULTADOS

251           GEOLOGIA E PETROGRAFIA DOS XISTOS E QUARTZITOS ARROIO  
252           GRANDE

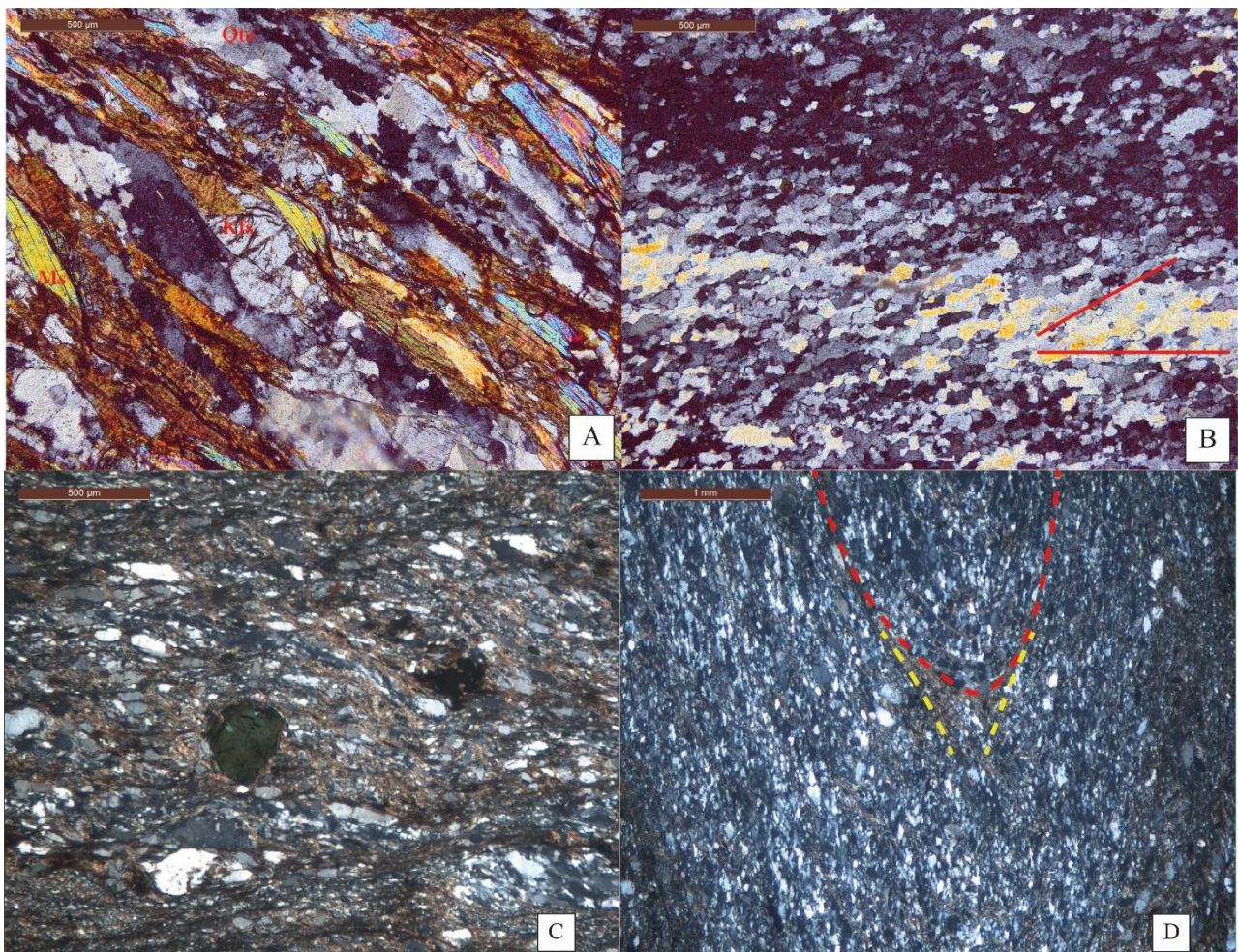
253 Os mica xistos são a litologia predominante no Complexo Arroio Grande e apresentam  
254 lentes de quartzito intercaladas. Os afloramentos ocorrem em grandes extensões (dezenas  
255 de metros) e possuem composição bastante homogênea. De modo geral estão com intenso  
256 intemperismo apresentando coloração variando de avermelhado para acinzentado em  
257 algumas áreas (variação essa devido ao tipo e intensidade de intemperismo). Os xistos  
258 possuem foliação milonítica bem marcada pela elongação dos grãos de quartzo e  
259 muscovita visível a olho nu, e nos quartzitos verifica-se lineação de estiramento dos grãos  
260 de quartzo com orientação (15;056).

261 Ao microscópio observa-se que a mineralogia principal dos xistos é composta de muscovita  
262 (55%), quartzo (30%) e K-feldspato (15%). Como minerais acessórios ocorrem zircão e  
263 turmalina. A textura milonítica é marcada pela alternância de fitas de quartzo, com feições  
264 de bulging entre os grãos de quartzo, e lentes ricas em muscovita (Fig. 4A). O K-feldspato  
265 ocorre como porfiroclastos fraturados e levemente rotacionados, com pequenas caudas de  
266 quartzo com feições de recristalização dinâmica. Algumas amostras apresentam estrutura  
267 do tipo S-C, com o plano C marcado por fitas de quartzo e muscovita obliqua ao plano de  
268 xistosidade (S). A turmalina ocorre como porfiroclastos prismáticos, com tamanhos de no  
269 máximo 1 mm, orientados segundo a foliação (pré-cinemático). Apresentam sombras de  
270 pressão não preenchidas e fraturas perpendiculares ao eixo C, onde ocorre intensa  
271 argilização. Os zircões apresentam-se como inclusões no quartzo e entre as lamelas da  
272 muscovita. Possuem dimensões de até 0,1 mm, com formas arredondadas e alongadas  
273 (remetendo a um hábito prismático). A paragênese muscovita + quartzo + K-feldspato bem  
274 como as microestruturas deformacionais são compatíveis com o evento de milonitização  
275 em condições de fácie xisto verde médio/inferior para essa unidade.

276 O quartzito possui como mineralogia principal quartzo (90%) e muscovita (10%) e como  
277 mineralogia acessória zircão. Os grãos de quartzo apresentam formas estiradas, com  
278 extinção ondulante e dimensões entre 10  $\mu\text{m}$  e 100  $\mu\text{m}$ . Os contatos entre os grãos são  
279 irregulares e lobados (*bulge*) e em alguns casos quase separando o grão recristalizado,

evidenciando recristalização dinâmica por *bulging* (Passchier et al., 2005). Lamelas de muscovita ocorrem entre os grãos de quartzo. As lamelas de muscovita são monocristalinas, com mais de 500 µm de elongação, mas são muito finas e marcam a direção da foliação. Estrutura do tipo S-C, visível através da mudança de orientação do quartzo e muscovita (Fig. 4B). Do mesmo modo que nos xistos, os zircões nos quartzitos apresentam-se como inclusões no quartzo e entre a finas lamelas de muscovita presentes. Possuem dimensões de até 0,1 mm, com formas arredondadas e alongadas (remetendo a um hábito prismático). A microestrutura indicativa de recristalização do quartzo por bulging dessa unidade condiz com milonitização em condições de fácies xisto-verde, em 300 a 400 °C (Stipp et al. 2002).

A metagrauvaca, possui coloração cinza escura a preta, textura equigranular e bandas milimétricas a centimétricas de cor branca (de composição félsicas) em partes do afloramento. Em microscópio petrográfico, observa-se uma composição geral de quartzo, feldspato (K-feldspato e plagioclásio) e biotita, com turmalina, zircão, apatita, e opacos de forma disseminada (Fig. 4C). Apresenta duas foliações de natureza milonítica. A primeira marcada principalmente por fitas alongadas de quartzo. A segunda transpõe a primeira produzindo dobras e recristalização de grãos. O quartzo, em maior quantidade (45%), ocorre de duas formas, como fitas (*ribbons*) extremamente alongadas com regime deformacional *grain boundary migration* (associadas a primeira foliação) e como pequenos grãos (associados a segunda foliação) em regime deformacional de rotação de subgrão (Fig. 4D). A biotita (35%) ocorre em toda a lâmina, em faixas concentradas entre os pequenos grãos de quartzo e feldspato, ou esparsas entre fitas de quartzo, normalmente destacando a segunda foliação. O feldspato (20%) ocorre como grãos isolados, subédricos a anédricos, de tamanho entre 0,1 mm a 0,4 mm e apresentam formas alongadas e bordas difusas (irregulares), por vezes levemente rotacionados. A turmalina ocorre de maneira esparsa, de coloração verde/verde-claro, forma subédrica a anédrica, tamanho entre 0,3 a 0,5 mm e com características pré a sin cinemáticas em relação a segunda foliação. Os zircões presentes encontram-se entre lamelas de biotita e inclusos em grãos de quartzo. Possuem dimensões pequenas (menores que 0,1 mm), e formas anédricas a subédricas. A partir da paragênese quartzo + biotita + feldspato com turmalina, zircão, apatita e opacos é possível definir um metamorfismo de fácies xisto verde. As microestruturas de recristalização do quartzo por migração de limite de grão (*grain boundary migration*) e por rotação de subgrão condizem com milonitização em condições de temperatura entre 500 a 700 °C e 400 a 500 °C, respectivamente (Stipp et al. 2002), assim é possível inferir desenvolvimento das tramas da metagrauvaca em condições retrográdadas.



315

316 Figura 4. Fotomicrografias dos Xistos e Quartzitos Arroio Grande e metagrauvaca A) Detalhe da textura  
 317 milonítica dos Muscovita Quartz Xisto com as fitas de quartzo (*ribbon*), muscovitas alongadas e porfiroclastos  
 318 de K-feldspato, intensamente fraturados e com pequena cauda de recristalização (Escala = 500 µm); B)  
 319 Imagem geral do quartzito mostra a textura do quartzo (*bulging*) e a estrutura S-C (diferença de orientação do  
 320 mineral quartzo em relação a foliação da rocha) (Escala = 500 µm); C) Imagem geral da lâmina da  
 321 metagrauvaca, ressaltando as feições de quartzo em fita (*ribbons*) e em subgrão, feldspatos e biotitas e ao  
 322 centro em verde-escuro, turmalina; (Escala = 500 µm); D) Na metagrauvaca, evidência de duas foliações  
 323 marcadas em tracejado, em vermelho uma primeira foliação de mais alta temperatura e textura *grain boundary*  
 324 *migration*, e em amarelo uma segunda foliação de média temperatura e textura *subgrain rotation* (Escala =  
 325 1mm).

326

## GEOQUÍMICA DOS ELEMENTOS MAIORES E TRAÇOS

327 Os resultados das análises geoquímicas de elementos maiores dos Xistos e Quartzitos  
 328 Arroio Grande, mostram que os xistos apresentam variações nos teores de SiO<sub>2</sub> entre 65  
 329 % à 75 %, dentre os quais, aqueles empobrecidos em SiO<sub>2</sub>, apresentam maiores teores de  
 330 Al<sub>2</sub>O<sub>3</sub> (15 % - 16 %), e os teores de SiO<sub>2</sub> mais altos apresentando um teor de Al<sub>2</sub>O<sub>3</sub> mais  
 331 baixo (entre 11 % - 14 %). A mesma relação ocorre entre as porcentagens em peso de  
 332 óxidos de Fe<sub>2</sub>O<sub>3</sub>(total) e voláteis, em que as porcentagens de maior concentração, entre 7  
 333 % – 8 % de Fe<sub>2</sub>O<sub>3</sub> e entre 4 % - 5 % de voláteis, acompanham as amostras com  
 334 porcentagem de menor concentração de óxido de silício (65 % - 67%).

335 Nos quartzitos, as amostras possuem valores de SiO<sub>2</sub> entre 96% - 98%, e baixas

336 concentrações de  $\text{Al}_2\text{O}_3$ ,  $\text{TiO}_2$ ,  $\text{Fe}_2\text{O}_3$ ,  $\text{K}_2\text{O}$  e voláteis. Em relação aos elementos traços, os  
 337 xistos apresentam maiores concentrações (em ppm) dos elementos Zr (178 – 203), Rb (206  
 338 – 428) e Ba (512 – 564), assim como Cr (95 – 292) e Y (54 – 90). Nos quartzitos, os  
 339 elementos com maiores concentrações são Zn (10 – 73), Zr (3 – 192) e Pb (0,1 – 51). A  
 340 metagrauvaca apresenta valor acima de 70% pra  $\text{SiO}_2$  e 12% para  $\text{Al}_2\text{O}_3$ , em torno de 5%  
 341 para  $\text{Fe}_2\text{O}_3$  e menor que 5% para  $\text{TiO}_2$ ,  $\text{MnO}$ ,  $\text{MgO}$ ,  $\text{CaO}$ ,  $\text{Na}_2\text{O}$  e  $\text{K}_2\text{O}$  e valores acima de  
 342 100 ppm para Ba, Cr, Sr e Zr. A tabela com os referidos valores encontra-se como leitura  
 343 complementar A.

#### 344 GEOQUÍMICA ISOTÓPICA EM ROCHA-TOTAL DE Sm/Nd

345 Dados de  $\varepsilon_{\text{Nd}}$  e  $T_{\text{DM}}$  foram obtidos para 8 amostras das unidades estudadas, sendo 5  
 346 amostras de xisto, 2 de quartzito e uma de metagrauvaca. Os valores de  $\varepsilon_{\text{Nd}}(0)$  das  
 347 amostras de xisto variam entre -11,69 e -13,95 e  $T_{\text{DM}}$  1.355,7 e 1.586,8. Para as duas  
 348 análises de quartzito, os valores de  $\varepsilon_{\text{Nd}}(0)$  obtidas foram -6,2 e -14,88 e  $T_{\text{DM}}$  1.090,5 e  
 349 1.696,3. A metagrauvaca apresentou valor de -5,05 para  $\varepsilon_{\text{Nd}}(0)$  e 1.074,1 para  $T_{\text{DM}}$ . A tabela  
 350 com os referidos valores encontra-se como leitura complementar B.

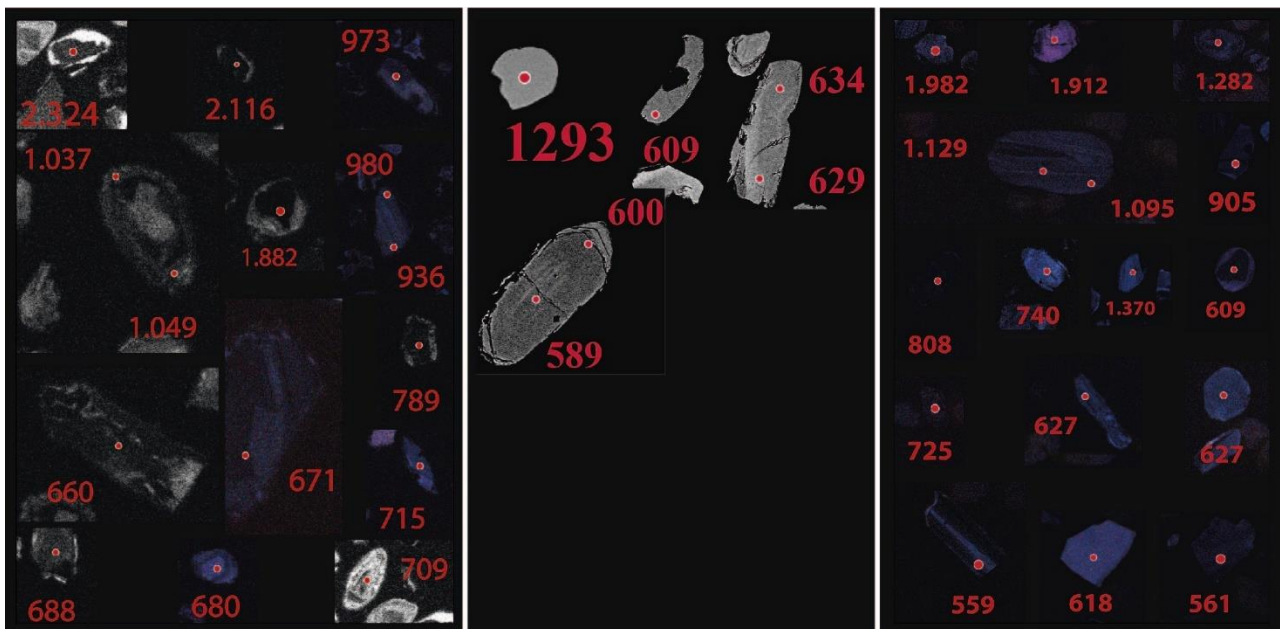
#### 351 IDADE U-Pb EM ZIRCÃO DETRÍTICO

352 Na amostra PF-24 (metagrauvaca), há zircões detriticos paleoproterozoicos de idades entre  
 353 o Sideriano (2.324 Ma) e o Orosiriano (1.882 Ma). Apresentam texturas internas variadas,  
 354 sendo difícil determinar um grupo específico (setoriais, concêntricas, mistas ou convolutas),  
 355 mas com morfologia arredondada e esférica como característica principal. Zircões  
 356 mesoproterozoicos, do intervalo do Steniano (1.147 Ma – 1.037 Ma), apresentam textura  
 357 interna concêntrica e setoriais principalmente. As formas são esféricas e o arredondamento  
 358 é intenso. Já os zircões de idade neoproterozoica Toniana (981 Ma) são representados por  
 359 zircões de texturas concêntricas, de baixa esfericidade, arredondamento intenso, e com  
 360 borda de recristalização. Os zircões criogenianos (660 Ma), também de padrões  
 361 concêntricos, mas alguns com padrões setoriais com um arredondamento intenso, alguns  
 362 grãos com arestas angulosas devido a faturamento (que não é observado nos zircões de  
 363 idades anteriores), e esfericidade pouco intensa (Fig. 5).

364 Em relação aos zircões da amostra PF-29 (quartzito), o grupo detritico paleoproterozoico,  
 365 entre o Riaciano (2.111 Ma) e o Estateriano (1.621 Ma), possui formas arredondadas e  
 366 esféricas bem acentuadas, e seus padrões texturais internos são aleatórios (setoriais,  
 367 concêntricos). Os zircões mesoproterozoicos, do intervalo Calimiano (1.403 Ma) ao  
 368 Ectasiano (1.293 Ma), apresentam formas também esféricas e arredondadas, de tamanho

369 relativamente menor. Os zircões detriticos neoproterozoicos (960 Ma – 579 Ma) possuem  
 370 formas prismáticas, com indicativos de fraturamento e zircões levemente esféricos, mas  
 371 todos com poucas características de arredondamento, mostrando angulação entre as  
 372 arestas dos grãos detriticos (Fig.5).

373 A amostra PF-56 (xisto) apresenta zircões detriticos de idade paleoproterozoica Orosiriana  
 374 (1.982 Ma), com alto grau de arredondamento e esfericidade, e texturas internas variáveis  
 375 (ígneas e metamórficas). Os zircões detriticos mesoproterozoicos, desde o Calimiano  
 376 (1.474 Ma), Ectasiano (1.370 Ma – 1.253 Ma) e Esteniano (1.148 Ma – 1.058 Ma), possuem  
 377 alto grau de arredondamento de suas arestas, mas apresentam baixa esfericidade, com o  
 378 predomínio do padrão textural oscilatório. A população de zircões detriticos  
 379 neoproterozoicos (995 Ma – 548 Ma) possuem morfologias levemente arredondadas e com  
 380 esfericidade pouco relevante, com características texturais oscilatórias e/ou setoriais,  
 381 alguns menos esféricos com sinais de fraturas visíveis onde os padrões texturais são  
 382 abruptamente interrompidos (Fig.5). A tabela com os referidos valores encontra-se como  
 383 leitura complementar C.



384

385 Figura 5. Imagem em detalhe dos zircões detriticos obtidos em MEV e idades U-Pb das unidades estudadas.  
 386 Da esquerda para a direita: PF-24 (metagrauvaca), PF-29 (quartzito) e PF-56 (xisto).

## 387 DISCUSSÃO

388 Neste trabalho, dados petrográficos caracterizaram os Xistos e Quartzitos Arroio Grande  
 389 como uma unidade sedimentar metamorfizada, relacionada a um metamorfismo de fácies  
 390 xisto-verde, onde possui uma foliação referente a uma milonitização de baixa temperatura.  
 391 Dados geocronológicos de U-Pb em zircão detritico apresentam uma contribuição

expressiva de áreas-fontes ediacaranas para a sedimentação e consequente formação dos protólitos dos Xistos e Quartzitos Arroio Grande. A unidade metagrauvaca descrita, por outro lado, apresenta características metamórficas mais complexas, com uma trama milonítica em duas etapas, evidenciando uma milonitização de alta temperatura e posteriormente uma milonitização em baixa temperatura, que transpõe a primeira e fornecimento de sedimentação principalmente de unidades criogenianas, sem a presença de zircões detriticos ediacaranos, atestado pelas análises de U-Pb.

Ramos et al. (2019) discute, a partir de petrografia ótica, microscopia eletrônica e química mineral nas unidades metamáficas-ultramáficas do Complexo Arroio Grande, que existiram dois eventos metamórficos na região, M1 de idade mínima de 640 Ma e M2 de idade entre 610 - 585 Ma. Quando se observa os histogramas de idade U-Pb dos zircões das unidades metassedimentares de Arroio Grande e compara com as características metamórficas descritas, por ser mais antiga, a unidade metagrauvaca registra os dois eventos metamórficos, ao passo que os Xistos e Quartzitos Arroio Grande de idade mais jovem, registra somente um evento. Os dados de razão isotópica Sm/Nd em rocha-total mostram também uma diferença entre os xistos e a metagrauvaca principalmente, no valor de  $\epsilon_{\text{Nd}}$  que está entre -11 e -13 para os xistos e -5 para a grauvaca, indicando que houve influência de área-fonte diferente para a unidade metagrauvaca e os xistos. Todas essas informações levam a uma interpretação de que a unidade metagrauvaca e os Xistos e Quartzitos Arroio Grande sejam distintos tendo em vista o componente sedimentar como a diferença de idade mínima e dos picos de frequência de idade dos zircões e a comparação de epsilon Nd e  $T_{\text{DM}}$ . Essa interpretação se reforça observando a história pós-sedimentar na relação metamorfismo/deformação em que as unidades se envolveram.

Os resultados de U-Pb dos zircões detriticos das unidades estudadas neste trabalho indicam que os picos de frequência nos histogramas que refletem a carga sedimentar mais expressiva para cada unidade são, 670 - 660 Ma para metagrauvaca, 640 - 610 Ma para o quartzito e 620 - 615 Ma para o xisto. A partir destas informações é possível inferir prováveis áreas-fonte para essas unidades, tendo em vista os fatores topográficos necessários para que ocorra erosão e deposição dos sedimentos. Para a unidade metagrauvaca, as áreas-fonte principais seriam relacionáveis com unidades do evento orogênico de formação do Arco Piratini (Vieira et al., 2019), a partir de um alto topográfico existente durante este período. Os Gnaisses Piratini possuem idades de cristalização por cerca de 780 Ma e metamorfismo por cerca de 660 Ma (Silva et al., 1999; Tambara, 2015), os Gnaisses Arroio Pedrado de idade 680 Ma de cristalização e 660 Ma para o metamorfismo (Vieira et al.,

426 2019) podem ser considerados como possíveis fontes para a sedimentação da  
427 metagrauvaca. Para os Xistos e Quartzitos Arroio Grande, as áreas-fonte principais são  
428 relacionadas ao evento orogênico Dom Feliciano, como as unidades do Complexo Pinheiro  
429 Machado (618 Ma U-Pb; Loureiro, 2015) como aporte principal de sedimentos para esta  
430 bacia. As idades mais jovens de zircão detritico representariam sedimentos das unidades  
431 Granito Três Figueiras (585 Ma U-Pb; Klein et al., 2018), Granito Chasqueiro (cristalização  
432 em 574 Ma U-Pb; Vieira et al., 2017), por exemplo. Sobre os valores obtidos a partir das  
433 razões Sm/Nd para  $\epsilon_{Nd}$  e  $T_{DM}$  demonstram que os sedimentos que compõem as rochas  
434 estudadas provém de uma fonte crustal com  $\epsilon_{Nd(0)}$  entre -11 a -14, e assinaturas  $T_{DM}$  entre  
435 1,0 Ga a 1,6 Ga. A partir de comparações desses parâmetros com algumas unidades que  
436 possivelmente sejam fornecedoras dos sedimentos, foi confeccionado o gráfico de  $\epsilon_{Nd}$   
437 versus  $T_{DM}$ , onde os valores dos Xistos e Quartzitos Arroio Grande assemelham-se com o  
438 Complexo Pinheiro Machado de  $\epsilon_{Nd(0)}$  entre -11 e -14 e  $T_{DM}$  entre 1,3 a 1,7 Ga (Loureiro  
439 et al, 2015) na parte leste do CDF, assim como os valores do Gnaisse Arroio Pedrado de  
440  $\epsilon_{Nd(0)}$  entre -10 e -13 e  $T_{DM}$  1,4 e 1,6 Ga (Vieira et al., 2019) e Gnaisse Chácara das Pedras  
441 de  $\epsilon_{Nd(0)}$  entre -13 e -15 e  $T_{DM}$  entre 1,7 a 1,9 Ga (Koester et al 2016).

442 Observando os dados de idade U-Pb em zircão detritico das unidades metassedimentares  
443 da porção oriental do Cinturão Dom Feliciano, consegue-se distinguir as unidades de  
444 acordo com a idade mais jovem encontrada para cada unidade e relacionar com os grandes  
445 eventos ocorridos no mesmo período para a região em questão. A unidade metagrauvaca  
446 possui a idade mínima de deposição mais antiga (660 Ma do zircão mais jovem). Cruz  
447 (2019) apresenta idade mínima de proveniência para o Complexo Arroio Telho de 636 Ma,  
448 o Complexo Guarda Nova com idade de 613 Ma para o zircão mais jovem e para a unidade  
449 metassedimentar de Arroio Grande, a partir de U-Pb em zircão detritico, idade mais jovem  
450 de 668 Ma. Neste trabalho, foi obtida a idade de 548 Ma para os Xistos e Quartzitos Arroio  
451 Grande. Com isso, seria possível distinguir em dois grupos de bacias neoproterozoicas, o  
452 primeiro grupo de idade criogeniana (compondo a unidade metagrauvaca e o Complexo  
453 Arroio Telho) e o segundo grupo de idade ediacarana (com o Complexo Guarda Nova e  
454 Xistos e Quartzitos Arroio Grande).

455 A partir do modelo proposto por Ramos et al., (2017) para a evolução geotectônica do  
456 Domínio Oriental do Cinturão Dom Feliciano, pode-se sugerir que as unidades  
457 metassedimentares se formaram em diferentes estágios. A unidade metagrauvaca e as  
458 unidades metassedimentares do Complexo Arroio Telho relacionam-se ao estágio de  
459 fechamento da Bacia Marmora (entre 700 - 600 Ma) com deposição de sedimentos que

460 compunham o Arco Piratini (Vieira et al., 2019). Os Xistos e Quartzitos Arroio Grande e o  
461 Complexo Guarda Nova estariam relacionados aos estágios finais/pós fechamento  
462 (amalgamação) entre o Terreno Cuchilla Dionisio – Pelotas e o Cinturão Namaqua (entre  
463 600 - 500 Ma). É discutível a possibilidade ainda de que as unidades metassedimentares  
464 siliciclásticas apresentadas neste trabalho representem uma única bacia iniciada em 660  
465 Ma e fechada em 548 Ma, ou que os dois grupos (sedimentação criogeniana e ediacarana)  
466 representem uma única bacia criogeniana e uma única ediacarana, todavia, não foi obtido  
467 nenhum dado que possa auxiliar nessa discussão. À primeira vista tentou-se obter a maior  
468 e melhor quantidade de informações de campo e descrição de lâmina e dados geoquímicos  
469 (elementos maiores e traço, Sm/Nd em rocha total e U-Pb em zircão detritico), para que  
470 possam também auxiliar nas futuras discussões geotectônicas da região.

## 471 CONCLUSÃO

472 A partir de todas as respostas obtidas durante este trabalho e as presentes discussões e  
473 interpretações destes resultados, podemos concluir que as rochas metasedimentares  
474 que ocorrem na região de Arroio Grande (RS) podem ser divididos em duas unidades com  
475 características compostionais, metamórficas isotópicas e de idades de zircão detriticoas  
476 distintas. Os dados obtidos para a metagrauvaca indicam tratar-se de uma unidade  
477 metassedimentar de metamorfismo fácie xisto verde, com registro de milonitização em  
478 duas etapas, a primeira em alta temperatura (500 – 700 °C) e a segunda em média  
479 temperatura (400 – 500 °C), com idade de deposição predominantemente criogeniana, com  
480 idade máxima de 660 Ma (zircão mais jovem encontrado). A unidade metagrauvaca é a  
481 unidade metassedimentar siliciclástica mais antiga encontrada à leste do Cinturão Dom  
482 Feliciano, até o presente momento. Os Xistos e Quartzitos Arroio Grande podem ser  
483 definidos como uma unidade metassedimentar de metamorfismo de fácie xisto verde, com  
484 milonitização de média/baixa temperatura (300 – 400 °C), com idade de deposição  
485 predominantemente ediacarana, com idade máxima de 548 Ma (zircão mais jovem  
486 encontrado) e que os Xistos e Quartzitos Arroio Grande são as unidades  
487 metassedimentares mais jovem encontrada à leste do Cinturão Dom Feliciano, até o  
488 presente momento.

489

## 490 REFERÊNCIAS

491 Almeida, F.F.M., Hasui, Y., Brito-Neves, B.B. & Fuck, R.A. 1981. Brazilian structural  
492 provinces: an introduction. *Earth Science Review*, 17: 1-29.

- 493 Arndt, N. T. and Goldstein, S. L., 1987. Use and abuse of crust-formation ages. *Geology*,  
494 15, 893-895.
- 495 Babinski, M., Chemale Jr., F., Van Schmus, W.R., Hartmann, L.A. & Silva, L.C. 1997. U-Pb  
496 and Sm-Nd geochronology of the Neoproterozoic Granitic-Gneissic Dom Feliciano Belt,  
497 Southern Brazil. *Journal of South American Earth Sciences*, 10(3/4): 263-274.
- 498 Basei, M.A.S., Siga Jr. O., Masquelin, H., Harara, O. M., Reis Neta, J.M. & Preciozzi, F.  
499 2000. The Dom Feliciano Belt of Brazil and Uruguay and its Foreland Domain, the Rio de la  
500 Plata Craton, framework, tectonic evolution and correlation with similar provinces of  
501 Southwestern Africa. In: Cordani, U., Milani, E.J. & Campos, D.A. (Org.). *Tectonic Evolution*  
502 *of South American Platform*. Rio de Janeiro, SBG, v. 1, p. 311-334.
- 503 Basei, M.A.S., Peel, E., Sánchez-Betucci, L., Preciozzi, F. & Nutman, A. 2011. The  
504 basement of the Punta del Este Terrane (Uruguay): an African Mesoproterozoic fragment at  
505 the eastern border of the South American Río de La Plata craton. *International Journal of*  
506 *Earth Sciences*, 100: 289-304.
- 507 Bhatia, M. R. 1983. Plate tectonics and geochemical composition of sandstone. *The Journal*  
508 *of Geology*, 91, No. 6, pp. 611-627.
- 509 Beloni, M.S., Porcher, C.C., Koester, E., Ramos, R.C., Lana, C., Wegner, A.C. 2016.  
510 Caracterização U/Pb de zircão detritico e geoquímica isotópica (Sm/Nd) em rocha-total dos  
511 xistos e quartzitos de Arroio Grande – RS. In: XLVIII Congresso Brasileiro de Geologia,  
512 Porto Alegre, Anais.
- 513 Bitencourt, M.F. 1983. Metamorfitos da região de Caçapava do Sul, RS - Geologia e  
514 relações com o corpo granítico. In: I Simpósio Sul-brasileiro de Geologia, 1983, Porto  
515 Alegre. Atas do I Simpósio Sul-brasileiro de Geologia. Porto Alegre: Sociedade Brasileira  
516 de Geologia, 1983. v. 1. p. 34-38.
- 517 Blanco, G., Rajesh, H.M., Gaucher, C. & Chemale Jr., F. 2011. Provenance of the Arroyo  
518 del Soldado Group (Ediacaran to Cambrian, Uruguay): implications for the paleogeographic  
519 evolution of southwestern Gondwana. *Precambrian Research*, 171(1/4): 57-73.
- 520 Bossi, J. & Gaucher, C. 2004. The Cuchilla Dionisio Terrane, Uruguay: An allochthonous  
521 block accreted in the Cambrian to SW-Gondwana. *Gondwana Research*, 7(3): 661-674.
- 522 Brito-Neves, B.B., Fuck, R.A. & Pimentel, M.M. 2014. The Brasiliiano collage in South  
523 America: a review. *Brazilian Journal of Geology*, 44(3): 493-518.
- 524 Chemale Jr., F. 2000. Evolução geológica do Escudo Sul-Rio-Grandense. In: Holz, M. & De

- 525 Ros, L.F. (Eds.). *Geologia do Rio Grande do Sul*. Porto Alegre, edição CIGO/UFRGS, p.  
526 13-52.
- 527 Cruz, R.F., Iglesias, C.M.F., Camozzato, E. 2016. Mapeamento geológico do sudeste do  
528 Rio Grande do Sul, descrição de novas unidades geológicas em novo domínio geotectônico  
529 no extremo sul do estado. In: XLVIII Congresso Brasileiro de Geologia, Porto Alegre,  
530 Resumos.
- 531 Cruz, R.F. 2019. Projeto Sudeste do Rio Grande do sul: escalas 1:250.000 e 1:100.000;  
532 estado do Rio Grande do Sul. Porto Alegre: CPRM, 2019. 173 p.: il. color.
- 533 DePaolo, D.J. 1981. A neodymium and strontium isotopic study of the Mesozoic calc-  
534 alkaline granitic batholiths of the Sierra Nevada and Peninsular Ranges, California, J.  
535 Geophys. Res., 86(B11), 10470–10488
- 536 Farina, F., Albert, C., Lana, C., 2015. The Neoarchean transition between medium- and high-K  
537 granitoids: Clues from the Southern São Francisco Craton (Brazil). Precambrian Research, v.  
538 266, p. 375-394, 2015
- 539 Fedo, C. M., Sircombe, K., Rainbird, R., 2003. Detrital zircon analysis of the sedimentary record.  
540 In: Hanchar, Jonh M. & Hoskin, Paul W. O.; Zircon: Reviews in mineralogy & geochemistry. V.  
541 53; cap 10.
- 542 Fernandes, L.A.D., Menegat, R., Costa, A.F.U., Koester, E., Porcher, C.C., Tommasi, A.,  
543 Kraemer, G., Ramgrab, G.R. & Camozzato, E. 1995a. Evolução tectônica do Cinturão Dom  
544 Feliciano no Escudo Sulriograndense: Parte II – Uma contribuição a partir das assinaturas  
545 geofísicas. *Revista Brasileira de Geociências*, 25(4): 351-374.
- 546 Fernandes, L.A.D., Menegat, R., Costa, A.F.U., Koester, E., Porcher, C.C., Tommasi, A.,  
547 Kraemer, G., Ramgrab, G.R. & Camozzato, E. 1995b. Evolução tectônica do Cinturão Dom  
548 Feliciano no Escudo Sulriograndense: Parte II – Uma contribuição a partir das assinaturas  
549 geofísicas. *Revista Brasileira de Geociências*, 25(4): 375-384.
- 550 Fragoso-César, A.R.S. Tectônica de placas no Ciclo Brasiliano: as orogenias dos cinturões  
551 Dom Feliciano e Ribeira no Rio Grande do Sul. 1991. 362 f. Tese (Doutorado) - Instituto de  
552 Geociências, Universidade de São Paulo, São Paulo, 1991.
- 553 Frimmel, H.E., Basei, M.A.S. & Gaucher, C. 2011. Neoproterozoic geodynamic evolution of  
554 SW Gondwana: a southern African perspective. *International Journal of Earth Sciences*,  
555 100: 323-354.
- 556 Gaucher, C., Frimmel, H.E. & Germs, G.J.B. 2009. Tectonic events and palaeogeographic

- 557 evolution of Southern Gondwana in the Neoproterozoic and Cambrian. In: Gaucher, C., Sial,  
558 A.N., Halverson, G.P. & Frimmel, H.E. (Eds.). Neoproterozoic-Cambrian tectonics, global  
559 change and evolution: a focus on southwestern Gondwana. Elsevier, *Developments in*  
560 *Precambrian Geology*, 16: 295-316.
- 561 Gehrels, G., 2014, Detrital Zircon U-Pb Geochronology Applied to Tectonics. The Annual  
562 Review of Earth and Planetary Sciences, 2014. 42: p 127-149.
- 563 Gerhard, N.P. 2015. Aspectos de campo e petrográficos das intrusões maficas e félasicas  
564 nos Mármore Matarazzo, sudeste do Cinturão Dom Feliciano, RS. Monografia de  
565 Graduação, Instituto de Geociências, Universidade Federal do Rio Grande do Sul, 63p.
- 566 Gray, D.R., Foster, D.A., Meert, J.G., Goescombe, B.D., Armstrong, R., Trouw, R.A.J. &  
567 Passchier, C.W. 2008. A Damara orogen perspective on the assembly of southwestern  
568 Gondwana. In: Pankhurst, R.J., Trouw, R.A.J., Brito-Neves, B.B. & De Wit, M.J. (Eds.). West  
569 Gondwana: Pre-Cenozoic correlations across the South Atlantic Region. *Geological Society*  
570 of London, Special Publication, 294: 257-278.
- 571 Gruber, L., Porcher, C.C., Koester, E., Bertotti, A.L., Lenz, C., Fernandes, L.A.D. & Remus,  
572 M.V.D. 2016. Isotope geochemistry and geochronology of syn-depositional volcanism in  
573 Porongos Metamorphic Complex, Santana da Boa Vista Antiform, Dom Feliciano Belt,  
574 Brazil: onset of an 800 Ma continental arc. *Journal of Sedimentary Environments*, 1(2): 202-  
575 221.
- 576 Hartmann, L.A., Chemale Jr., F., Philipp, R.P. 2007. Evolução geotectônica do Rio Grande  
577 do Sul no Pré-Cambriano. In: Ianuzzi, R.; Frantz, J.C. (Eds.). 50 Anos de Geologia: Instituto  
578 de Geociências. Contribuições. Porto Alegre, Comunicação e Identidade, p. 97-123.
- 579 Hartmann, L.A., Lopes, W.R., Savian, J.F. 2016. Integrated evaluation of the geology,  
580 aerogammaspectrometry and aeromagnetometry of the Sul-Riograndense Shield,  
581 southernmost Brazil. Annals of the Brazilian Academy of Sciences, 88(1): 75-92.
- 582 Höfig, D.F., Marques, J.C., Basei, M.A.S., Giusti, R.O., Kohlrausch, C., Frantz, J.C., 2018.  
583 Detrital zircon geochronology (U-Pb LA-ICP-MS) of syn-orogenic basins in SW Gondwana:  
584 new insights into the Cryogenian-Ediacaran of porongos complex, Dom Feliciano belt,  
585 southern Brazil. *Precambrian Res.* 306, 189–208.
- 586 Iglesias, C. M. F. Geologia e recursos minerais da Folha Passo São Diogo, SH.22-Y-C-IV:  
587 Escala 1:100.000, estado do Rio Grande do Sul. Porto Alegre: CPRM, 2018.
- 588 Klein, F. G., Koester, E., Vieira, D. T., Porcher, C. C., Ramos, R. C. & Philipp, R. P. Geologia

- 589 do Granito Três Figueiras: magmatismo peraluminoso de 585 Ma no sudeste do Cinturão  
590 Dom Feliciano. *Pesquisas em Geociências*, submetido.
- 591 Koester, E., Porcher, C. C., Pimentel, M. M., Fernandes, L. A. D., Vignol-Lelarge, M. L.,  
592 Oliveira, L. D., Ramos, R. C. 2016. Further evidence of 777 Ma subduction-related  
593 continental arc magmatism in Eastern Dom Feliciano Belt, southern Brazil: The Chácara  
594 das Pedras Orthogneiss. *Journal of South American Earth Sciences*, 68: 155-166.
- 595 Lenz, C., Porcher, C. C., Fernandes, L. A. D., Masquelin, H., Koester, E. & Conceição, R.  
596 V. 2013. Geochemistry of the Neoproterozoic (800-767 Ma) Cerro Bori orthogneisses, Dom  
597 Feliciano Belt in Uruguay: tectonic evolution of an ancient continental arc. *Mineralogy and*  
598 *Petrology*, 107(5): 785-806.
- 599 Lopes C. G., Pimentel, M. M. Philipp, R. P., Gruber, L., Armstrong, R., Junges, S. L.,  
600 2015Provenance of the Passo Feio complex, São Gabriel terrane, Dom Feliciano belt,  
601 southern Brazil, implications for the tectonic setting of deposition, age of the São Gabriel  
602 Arc and origin of Paleoarchean detrital zircons (3.3-3.63 Ga). *Journal South America Earth*  
603 *Science.*, 58 (2015), pp. 9-17.
- 604 Loureiro, P., Koester, E., Weinberg, R. F., Porcher, C. C., Pimentel, M. M., Knijnik, D.  
605 Magmatic Evolution Of Pinheiro Machado Complex In Monte Bonito Region, Southern,  
606 Brazil. In: The 8th Hutton Symposium on Granites and Related Rocks, 2015, Florianópolis  
607 SC. Books of Abstracts p. 125.
- 608 Ludwig, K. R., 2012. Programa IsoplotEx 4. Berkeley Geochronology Center. Disponível  
609 em: [http://www.bgc.org/isoplot\\_etc/isoplot.html](http://www.bgc.org/isoplot_etc/isoplot.html). Acesso em novembro de 2015.
- 610 Masquelin, H., Fernandes, L. A. D., Lenz, C., Porcher, C. C. & McNaughton, N. J. 2012. The  
611 Cerro Olivo Complex: a pre-collisional Neoproterozoic magmatic arc in Eastern Uruguay.  
612 *International Geology Review*, 54: 1161-1183.
- 613 Neis, L. P. 2017. *Aplicação da razão 87Sr/86Sr e geoquímica em mármores do Escudo Sulriograndense*. Porto Alegre, 80p. Dissertação de Mestrado, Programa de Pós-graduação  
614 em Geociências, Instituto de Geociências, Universidade Federal do Rio Grande do Sul.
- 616 Passchier, C. W., Trouw, R. A. J. 2005. *Microtectonics*. 2 ed. Springer, Alemanha.
- 617 Passchier, C., Trouw, R., Schmitt, R.S. 2016. How to make a transverse triple junction -  
618 New evidence for the assemblage of Gondwana along the Kaoko-Damara belts, Namibia.  
619 *Geology*, October 2016; v. 44; no. 10; p. 843–846
- 620 Philipp, R. P. & Machado, R. 2002. Ocorrência e significado dos septos do embasamento

- 621 encontrados nas suítes graníticas do Batólito Pelotas, RS, Brasil. Pesquisas em  
622 Geociências, 29(1): 43-60.
- 623 Philipp, R. P., Pimentel, M. M. & Chemale Jr., F. 2016. Tectonic evolution of the Dom  
624 Feliciano Belt in Southern Brazil: geological relationships and U-Pb geochronology.  
625 *Brazilian Journal of Geology*, 46(1): 83-104.
- 626 Ramos, R. C., Koester, E. 2014. Geologia da associação metamáfica-ultramáfica da região  
627 de Arroio Grande, sudeste do Escudo Sul-Rio-Grandense. Pesquisas em Geociências,  
628 41(1): 25-38.
- 629 Ramos, R. C.; Koester, E. 2013. O Complexo Ofiolítico Arroio Grande, sudeste do Escudo  
630 Sul-Rio-Grandense. In: VIII Simpósio Sul-brasileiro de Geologia, Porto Alegre, Resumos
- 631 Ramos, R. C. & Koester, E. 2015. Lithogeochemistry of the meta-igneous units from Arroio  
632 Grande Ophiolitic Complex, southernmost Brazil. *Brazilian Journal of Geology*, 45(1): 65-  
633 78.
- 634 Ramos, R. C., Koester, E. & Porcher, C. C. 2017. Chemistry of chromites from Arroio Grande  
635 Ophiolite (Dom Feliciano Belt, Brazil) and their possible connection with the Nama Group  
636 (Namibia). *Journal of South American Earth Sciences*, 80:192-206.
- 637 Ramos, R. C., Koester, E., Vieira, D. T., Porcher, C. C., Gezatt, J. N. & Silveira, R. L. 2018.  
638 Insights on the evolution the Arroio Grande Ophiolite (Dom Feliciano Belt, Brazil) from Rb-  
639 Sr and SHRIMP U-Pb isotopic geochemistry. *J. South Am. Earth Sci.*, 86 (2018), pp. 38-53
- 640 Ramos, R. C., Koester, E., Vieira, D. T. 2019. Plagioclase-hornblende geothermobarometry  
641 of metamafites from the Arroio Grande Ophiolite, Dom Feliciano Belt, southernmost Brazil.  
642 *Journal of South American Earth Sciences*, Vol: 95, Page: 102262. 2019
- 643 Remus, M. V. D., McNaughton, N. J., Hartmann, L. A., Koppe, J. C., Fletcher, I. R., Groves,  
644 D. I., Pinto, V. M. 1999. Gold in the Proterozoic juvenile Bossoroca Volcanic Arc of  
645 southernmost Brazil: isotopic constraints on timing and sources. *Journal of South American  
646 Earth Sciences*, 12: 349-366.
- 647 Saalmann, K., Remus, M. V. D., Hartmann, L. A. 2006. Structural evolution and tectonic  
648 setting of the Porongos belt, southern Brazil. *Geological Magazine*, 143(1): 59-88.
- 649 Saalmann, K., Gerdes, A., Lahaye, Y., Hartmann, L. A., Remus, M. V. D. & Läufer, A. 2011.  
650 Multiple accretion at the eastern margin of the Rio de la Plata craton: the prolonged  
651 Brasiliano orogeny in southernmost Brazil. *International Journal of Earth Sciences*, 100:  
652 355-378.

- 653 Santos, J. O. S., Chernicoff, C. J., Zappettini, E. O., McNaughton, N. J. & Hartmann, L. A.  
654 2017. Large geographic and temporal extensions of the Río de la Plata Craton, South  
655 America, and its metacratonic eastern margin. *International Geology Review*,  
656 Silva, L. C. 1999. Geocronologia U-Pb SHRIMP e Sm-Nd na Província Mantiqueira  
657 meridional, no Cinturão Saldanha (África do Sul) e a evolução do Ciclo Brasiliano/Pan-  
658 Africano. Tese de Doutoramento, Instituto de Geociências, Universidade Federal do Rio  
659 Grande do Sul, Porto Alegre, 243p.
- 660 Silva, L. C., McNaughton, N. J., Armstrong, R., Hartmann, L. A., Fletcher, I. R. 2005a. The  
661 Neoproterozoic Mantiqueira Province and its African connections: a zircon-based U-Pb  
662 geochronologic subdivision for the Brasiliano/Pan-African systems of orogens. *Precambrian*  
663 *Research*, 136: 203-240.
- 664 Soliani Jr., E., 1986. Os dados geocronológicos do Escudo Sul-rio-grandense e suas  
665 implicações de ordem geotectônica. PhD thesis. Universidade de São Paulo, São Paulo, p.  
666 425.
- 667 Stipp, M., Holger, S., Renée, H., Stefan, M. S. 2002. The eastern Tonale fault zone: a 'natural  
668 laboratory' for crystal plastic deformation of quartz over a temperature range of 250 to  
669 700°C. *Journal of Structural Geology*, 24: 1861–1884.
- 670 Tambara, G. B. 2015. Gnaisses Piratini: magmatismo de 784 Ma no sudeste do Cinturão  
671 Dom Feliciano, RS. Dissertação de Mestrado, Instituto de Geociências, Universidade  
672 Federal do Rio Grande do Sul, Porto Alegre, 51p.
- 673 Van Achterbergh, E., Ryan, C. G., Jackson, S. E., Griffin, W. L. (2001). Data reduction  
674 software for LA-ICP-MS: appendix. In: P. J. Sylvester (Ed.), *Laser Ablation-ICPMass*  
675 *Spectrometry in the Earth Sciences: Principles and Applications* (vol. 29, 239-243). Ottawa:  
676 Mineralog. Assoc. Canada (MAC) Short Course Series.
- 677 Vieira, D. T., Koester, E., Porcher, C. C., 2016a. Magmatismo Neoproterozoico (680 Ma) no  
678 sudeste do Escudo Sul-RioGrandense: U-Pb e Lu-Hf LA-MC-ICP-MS em zircão. In: 48th  
679 Congresso Brasileiro de Geologia, Porto Alegre. Proceedings, ID 8889.
- 680 Vieira, D. T., Koester, E., Ramos, R. C., Porcher, C. C. 2019. Sr-Nd-Hf isotopic constraints  
681 and U-Pb geochronology of the Arroio pedrado gneisses, Dom Feliciano belt, Brazil: a 680  
682 Ma shoshonitic event in the final stages of the Piratini Arc evolution. *Journal of South*  
683 *American Earth Sciences*, Volume 95, 2019.
- 684

685 ARTIGO:

27/02/2020

Email – Matheus Beloni – Outlook

### Submission Confirmation

Gondwana Research <eesserver@eesmail.elsevier.com>

Qui, 27/02/2020 15:34

Para: m\_beloni\_s@hotmail.com <m\_beloni\_s@hotmail.com>

\*\*\* Automated email sent by the system \*\*\*

Article Type: Research Paper

Dear Mr. Matheus Souza Beloni,

Your submission entitled "Neoproterozoic sedimentation in the southeastern Sul-Riograndense Shield: petrography, geochemistry and geochronology of the Arroio Grande Metasediments and its relations with South American tectonism in West Gondwana." has been received by Gondwana Research

You may check on the progress of your paper by logging on to the Elsevier Editorial System as an author. The URL is <https://ees.elsevier.com/gr/>.

Your username is: m\_beloni\_s@hotmail.com

Your password is: \*\*\*\*\*

Your manuscript will be given a reference number once an Editor has been assigned.

Thank you for submitting your work to this journal.

Kind regards,

Elsevier Editorial System  
Gondwana Research

<https://outlook.live.com/mail/0/inbox/id/AQMkADAwATY3ZmYAZS05NWVklTc2NGMtMDACLTAwCgBGAAADmRZ%2FBOY4HUOkV3i5HrbFpAc...> 1/1

686

687

688 Neoproterozoic sedimentation in the southeastern Sul-Riograndense Shield: petrography,  
 689 geochemistry and geochronology of the Arroio Grande Metasediments and its relations with  
 690 South American tectonism in West Gondwana.

691  
 692 Matheus Souza BELONI<sup>1</sup>, Carla Cristine PORCHER<sup>2</sup>, Edinei KOESTER<sup>2</sup>, Daniel Triboli VIEIRA<sup>1</sup>,  
 693 Laércio DAL OLMO-BARBOSA<sup>1</sup>  
 694

695 <sup>(1)</sup> Programa de Pós-Graduação em Geociências, Instituto de Geociências, Universidade  
 696 Federal do Rio Grande do Sul, PO Box 15001, zip code 91501-970, Porto Alegre, RS, Brazil  
 697

698 <sup>(2)</sup> Instituto de Geociências, Universidade Federal do Rio Grande do Sul, Bento Gonçalves  
 699 Avenue, 9500, zip code 91540-000, Porto Alegre, RS, Brazil

700 This paper describes the Arroio Grande Schists and Quartzites and the metagreywacke unit that is  
 701 part of the Arroio Grande Complex, located in the southeastern portion of the Dom Feliciano Belt,  
 702 southernmost Brazil. Studies such as petrography, geochemistry of major and trace elements, Sm-  
 703 Nd isotopic geochemistry in whole-rock and U-Pb ages in detrital zircons were obtained for the  
 704 metasedimentary units. The schists and quartzite presents petrographic characteristics indicative  
 705 of greenschist facies metamorphism and medium/low temperature mylonitization (300– 400 °C).  
 706  $\epsilon_{\text{Nd}}$  values of five schist samples ranged between -11 and -14, and  $T_{\text{DM}}$  ranged between 1.35 and  
 707 1.58 Ga. For two quartzite samples, the  $\epsilon_{\text{Nd}}$  values ranged between -6 and -14, and  $T_{\text{DM}}$  between  
 708 1.09 and 1.69 Ga, respectively. The U-Pb age histogram of the detrital zircons that were studied  
 709 exhibit wide influence of ediacaran units, and maximum deposition age of 548 Ma. The  
 710 metagreywacke is metamorphosed under greenschist-amphibolite facies, and record two mylonitic  
 711 phases, the first, in medium to high temperature (500-700 °C), and the aftermost in medium  
 712 temperature (400-500 °C). The  $\epsilon_{\text{Nd}}$  obtained was -5 and  $T_{\text{DM}}$  was 1.07, and the U-Pb age  
 713 histogram of the detrital zircons show an expressive contribution from sedimentary units with  
 714 cryogenian ages, without any register of ediacaran ages. In conclusion, the metasedimentary units  
 715 belong to different deposition stages on the evolution of the southeastern portion of the Dom  
 716 Feliciano Belt in southernmost Brazil, and that Arroio Grande Schists and Quartzites are the  
 717 younger metasedimentary unit of the Dom Feliciano Belt, representing the final stages of  
 718 amalgamation of West Gondwana.

719

720

721 Keywords: Arroio Grande Schists and Quartzites, Provenance, U-Pb Age, Sm-Nd,  
 722 Metasedimentary, Ediacaran.  
 723

## 724 1. Introduction

725

726 During the orogenic evolution associated to convergent environments, several subsidence  
 727 mechanisms together with other processes related to the topographic evolution of an orogen can  
 728 develop several sedimentary basins that may record this evolution, the exhumation history of a  
 729 mountain, as well as climatic and deformational conditions during the orogenic events. Those  
 730 basins are usually characterized by presenting medium to low potential of post-orogenic  
 731 preservation, by having a few millions up to a hundred million years interval of sedimentary  
 732 accumulation (Ingersoll, 2011) and tectonic overprinting, especially in triple TTT boundaries  
 733 (Marsaglia, 2011), being quite common the change on geologic context of sedimentation on a  
 734 given location. Therefore, it's important to redeem sedimentologic data (mineralogy, deposition  
 735 age, geotectonic context of the basin) of the geologic record of those basins, so it's possible to  
 736 make reconstructions regarding plate tectonics and for a better understanding of the process that  
 737 takes place on those environments (Marsaglia, 2011).

738 The study of rocks that had its genesis related to the evolution of an orogenic area is  
 739 complex, due to the wide diversity of events and its multiphasic evolutive character, as well as its  
 740 big extension and diversity of geological units related to the system. Pre-Cambrian orogens  
 741 present even more obstacles, once the data recovery related to the sedimentary unit is harder, due  
 742 to factors such as metamorphism, deformation and intemperism, all of them contributing to

743 obliterate key evidences for the understanding of the crustal evolution of the region. This is  
 744 particularly important to the metasedimentary rocks, which hold primordial information such as  
 745 stratigraphic position and diagenetic minerals that can be obliterated by deformation and  
 746 metamorphism. Analytical data are necessary on these cases to access/recover information about  
 747 the sedimentary environment, source area and tectonic context of the studied unit.

748 The Dom Feliciano Belt (DFB) records the occurrence of several metasedimentary units  
 749 that underwent through metamorphism and deformation during orogenic events. Although previous  
 750 studies in the DFB gather several of those rocks under an only denomination, usually considering  
 751 the similarities in metamorphic grade and type of protolith, the application of an analytical approach  
 752 allowed the recovery of part of the sedimentary signature of those rocks. In the west of the Pelotas  
 753 Terrane, metasedimentary units are observed in several tectonic contexts, as part of the Porongos  
 754 Metamorphic Complex, with deposition ages between 800 and 560 Ma (Saalmann et al., 2006;  
 755 Gruber et al., 2016; Höfig et al., 2018), or metasedimentary units of the Passo Feio Complex  
 756 (Bitencourt, 1983; Remus et al., 1999; Saalmann et al. 2006; Lopes et al., 2015) and from the  
 757 Marmeiro Complex, in the São Gabriel Terrane (Fernandes et al., 1995).

758 When it comes to the metasedimentary occurrences in the southwest of the Pelotas  
 759 Terrane, few data are available. On that region units comprising metasedimentary rocks of  
 760 carbonatic protolith (Matarazzo Marbles: Neis, 2017; Gerhard, 2015) and siliciclastic protoliths  
 761 (Arroio Grande Schists and Quartzites: Beloni, 2016; Cruz, 2019) – Herval Schists and Quartzites  
 762 (Cruz, 2019) - Arroio Telho Complex (Iglesias, 2018; Cruz, 2019) are also described. The present  
 763 work aims to obtain data to evaluate the geological context in which the Arroio Grande Schists and  
 764 Quartzites are inserted, as well as the deposition age of the sediments. To reach this purpose,  
 765 fieldwork and petrographic studies were done, as well as the description of the morphologies and  
 766 textures of detrital zircons, geochemical analysis (major and trace elements), isotopic analysis  
 767 (Sm-Nd, in whole rock) and U-Pb dating of detrital zircons. Also, it's discussed possible source  
 768 areas for those units and correlations with another metasedimentary units.  
 769

## 770 2. Geological setting

771  
 772 The Arroio Grande Schists and Quartzites belongs to the siliciclastic metasedimentary unit  
 773 from the Arroio Grande Complex (Ramos et al., 2017). This complex, that also comprises the  
 774 Arroio Grande Ophiolite, is located at the southeasternmost region of the Dom Feliciano Belt, Rio  
 775 Grande do Sul, Brazil.

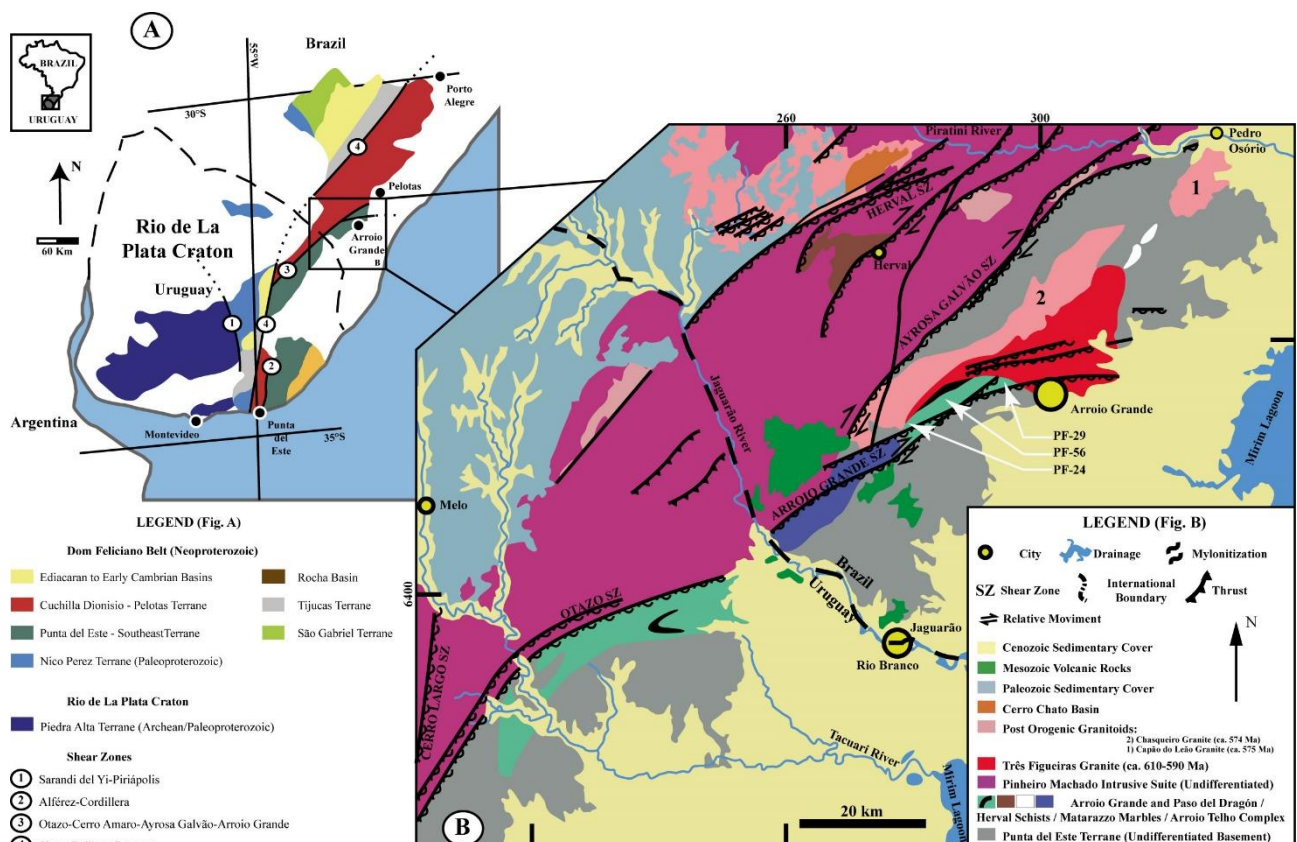
776 The Dom Feliciano Belt corresponds to the meridional orogen of the Mantiqueira Province  
 777 (Almeida et al., 1981), spreading from Punta Del Este (Uruguay) up to the Santa Catarina State  
 778 (Brazil), and comprises the central and eastern portions of the Uruguaio Shield, Sul-Riograndense  
 779 Shield and Catarinense Shield. This orogenic belt is related to the amalgamation of the Western  
 780 Gondwana paleocontinent, during the Brasiliano-Panafrican cycle (Neoproterozoic), as a result of  
 781 the paleo-oceanic basins closure, in response to the convergence between the Rio de la Plata,  
 782 Kalahari, Angola-Congo-São Francisco cratons and other blocks and smaller microplates  
 783 (Fernandes et al., 1995a e 1995b; Basei et al., 2000; Gaucher et al., 2009; Brito-Neves et al.,  
 784 2014; Philipp et al., 2016; Santos et al., 2017). At the African portion, it correlates to the Gariep,  
 785 Damara and Kaoko belts, combined under the designation of Damara Orogen (Gray et al., 2008;  
 786 Frimmel et al., 2011). This orogeny was developed during the orogenic collage in transverse triple  
 787 junction (Passchier et al., 2016).

788 At the Uruguaio-Sul-Riograndense Shield (Fig. 1), in which is located the study area, near  
 789 to the Arroio Grande city, the Dom Feliciano Belt is delimited in the north by phanerozoic units of  
 790 the Paraná Basin, at west by archean to paleoproterozoic units of the Rio de la Plata Craton, at the  
 791 east and south by the quaternary covers of the coastal plain and by the Atlantic Ocean.  
 792 Geophysical discontinuities of regional scale allow the subdivision of the belt in four main domains,  
 793 the three initially ones proposed by Fernandes et al., (1995b) and Hartmann et al (2016): Western  
 794 domain (São Gabriel Terrane, outcropping only on the Sul-Riograndense Shield; Hartmann et al.,  
 795 2007), Central domain (Tijucas Terrane and Arroyo del Soldado-Camaquã molassic basin;  
 796 Chemale Jr., 2000; Blanco et al., 2011), and Eastern domain (Cuchilla Dionisio-Pelotas Terrane  
 797 and Punta del Este Terrane; Bossi & Gaucher, 2004; Basei et al., 2011). Recently, the

798 Southeastern domain was suggested by Ramos et al., (2014) (Jaguarão terrain; Cruz, 2016) based  
 799 on aerogeophysical signatures and the presence of an ophiolitic association related to suture  
 800 process.

801 Those terranes with distinct crustal evolution, were formed during three orogenic events  
 802 (Silva et al., 2005): Brasiliano I (climax between 730-700 Ma – only São Gabriel Terrane, related to  
 803 the São Gabriel Orogeny and to the closure of the São Gabriel/Charrua paleo-ocean, Saalmann et  
 804 al., 2011), Brasiliano II (climax between 640-620 Ma – related to the Dom Feliciano Orogeny at the  
 805 Cuchilla Dionisio-Pelotas Terrane, represented by the expressive volume of magmatism and  
 806 intense crustal reworking, possibly related to the closure of the South Adamastor paleo-ocean and  
 807 back-arc basins related; Chemale Jr., 2000; Frimmel et al., 2011; Ramos et al., 2017), and  
 808 Brasiliano III (climax between 590-550 Ma – related to the syntectonic and post-orogenic  
 809 magmatism, and to the late stages of amalgamation of the Western Gondwana) (Babinski et al.,  
 810 1997; Brito-Neves et al., 2014).

811



812  
 813 Figure 1. Simplified geological map of the study area and main samples studied – (A) southeastern portion of  
 814 the Dom Feliciano Belt (Brazil and Uruguay) (modified of Blanco et al. 2011, and Ramos et al., 2017); (B)  
 815 Cuchilla Dionisio-Pelotas Terrain and Punta del Este terrain, near the Brazil/Uruguay border (modified from  
 816 Ramos et al., 2018). White arrows indicate location of the samples that were analysed by U-Pb dating on  
 817 detrital zircons.  
 818

## 819 2.1. Geology of the Cuchilla Dionisio-Pelotas Terrane

820 At the Cuchilla Dionisio-Pelotas Terrane, in which the Arroio Grande Schists and Quartzites  
 821 are located, the granitoids from the Aiguá-Pelotas Batholith prevail, composed by a set of  
 822 batholiths and plutons related to the Brasiliano II and III events. The magmatic ages for its older  
 823 units are comprised between 650-610 Ma: the Pinheiro Machado and Erval intrusive suites (calcic-  
 824 alkaline with high-K and geochemical signatures that suggestive of magmatic arc-related setting:  
 825 Silva et al., 2005; Philipp et al., 2016). Fragments and xenoliths also occur in this granitic belt,  
 826 representing old oceanic and continental crust (e.g. Arroio Grande Ophiolite, Ramos et al., 2014;  
 827 and Piratini Gneisses: crystallization age of 784 Ma, and 664 Ma metamorphic age, zircon U-Pb  
 828 dating; Tambara, 2019) and Chácara das Pedras Gneiss (777 Ma crystallization age and  
 829

830 metamorphism at 660 Ma, U-Pb zircon dating; Koester et al., 2016), which represent fragments of  
 831 an old continental arc, related to the basement of the Punta del Este Terrane in Uruguay (Cerro  
 832 Bori Gneiss, Cerro Olivo Complex; Masquelin et al., 2012; Lenz et al., 2013).

833 Another units that occur in the region corresponds to several stages of geologic and  
 834 geotectonic evolution of the eastern portion of the DFB, like the Três Figueiras Granite (585 Ma,  
 835 zircon U-Pb geochronology; Klein et al., 2018), Chasqueiro Granite (crystallization age of 574 Ma,  
 836 zircon U-Pb, Vieira et al., 2017) and the Dom Feliciano Granitic Suite, that represents the late-  
 837 orogenic units (isochronic crystallization Rb-Sr age reference, in whole-rock, of  $544 \pm 5$  Ma  
 838 (Soliani Jr., 1986) and  $550 \pm 6$  Ma, according to Fragoso-Cesar (1991). Along with those units  
 839 occur, at the southeastern portion of the eastern domain, metasediments of carbonatic nature  
 840 represented by the Matarazzo marbles. These occur in the northern region of the Arroio Grande  
 841 city, and exhibits  $^{87}\text{Sr}/^{86}\text{Sr}$  deposition ages between 900 - 850 Ma (Neis, 2017).

842 From north to south, the Cuchilla Dionisio-Pelotas Terrane is affected by a set of  
 843 transcurrent high-angle ductile shear zones, with kilometric thickness and NE-SW direction. Those  
 844 zones, developed in the context of the Sul-Brasileiro Shear Belt (Bitencourt & Nardi, 2000), were  
 845 responsible for the wide mylonitization zones and for controlling the emplacement of the granitic  
 846 units related to the Brasiliano III event.

847 At the study area, near the border of Brazil-Uruguay, the main shear zones related to the  
 848 studied system are the Ayrosa Galvão Shear Zone (AYGSZ), Herval Shear Zone (HSZ) and Arroio  
 849 Grande Shear Zone (AGSZ) (Machado et al., 1995). According to these authors, the AGSZ (the  
 850 oldest one) presents dextral cinematic and high dip angle, near  $75^\circ$  to NE, while the other two  
 851 shear zones present sinistral cinematic and dip angle of  $45^\circ$  to NE (AYGSZ) and  $65^\circ$  to NE (HSZ).  
 852 Ramos and Koester (2014) show the relation between AGSZ and the Arroio Grande Schists and  
 853 Quartzites (AGSQ), stating that the AGSZ is responsible for the mylonitization, as well as the  
 854 elongated shape of the bodies. In the field, the schists the foliation shows NE-SW preferred  
 855 direction, and dips between  $60^\circ$  and  $90^\circ$ . Philipp et al. (2003) discusses the existence of an  
 856 important thermo-tectonic event that could have affected the units from the Cuchilla Dionisio-  
 857 Pelotas Terrane, with ages between 540 - 530 Ma, based on Ar-Ar dating method, therefore  
 858 suggesting that this event could be responsible for the development and reactivation of high angle  
 859 shear zones, with positive flower structures.  
 860

## 861       2.2. Metasedimentary units of the southern portion of the Cuchilla Dionisio-Pelotas Terrane

### 862           2.2.1. Arroio Telho Complex

863       The Arroio Telho Complex constitutes a large portion of the Southeastern Terrane (also  
 864 called Jaguarão Terrane), which is located at the south of the intersection between the Arroio  
 865 Grande and Ayrosa Galvão Shear Zones. It contains paragneisses with irregular millimetric to  
 866 centimetric banding, and whitish to pinkish quartz-feldspatic levels that can occur as lenses, folded  
 867 and as tight folded hinges. Sometimes levels of metapelitic (sandy-pelitic metarythmites) occur  
 868 transposed, with colours that vary between greyish, brownish and yellow-reddish shades. The  
 869 schists present brown to reddish colour, with quartz, muscovite, biotite, tourmaline and garnet.  
 870

871       Dark grey metamarls are subordinated (Iglesias, 2018). Cruz (2019) describes the units  
 872 from Arroio Telho Complex as mica-schists with garnet and tourmaline, banded feldspathic  
 873 gneisses and granitoids, under greenschist to amphibolite facies, and state that the units from this  
 874 complex have at least three deformational phases, being the first two ones related to ductile  
 875 structures, and the third one related to rupitile structures. Iglesias (2018) obtained from 16 detrital  
 876 zircons U-Pb ages between 636-1.804 Ma, stating that the sedimentary basin has only ages older  
 877 than 636 Ma.  
 878

### 879           2.2.2. Guarda Nova Complex

880       The Guarda Nova Complex (Iglesias, 2018), first identified as Herval Schist and Quartzites  
 881 by Fragoso-Cesar et al. (1986) and interpreted as metamorphic septs of the basement by Philipp  
 882

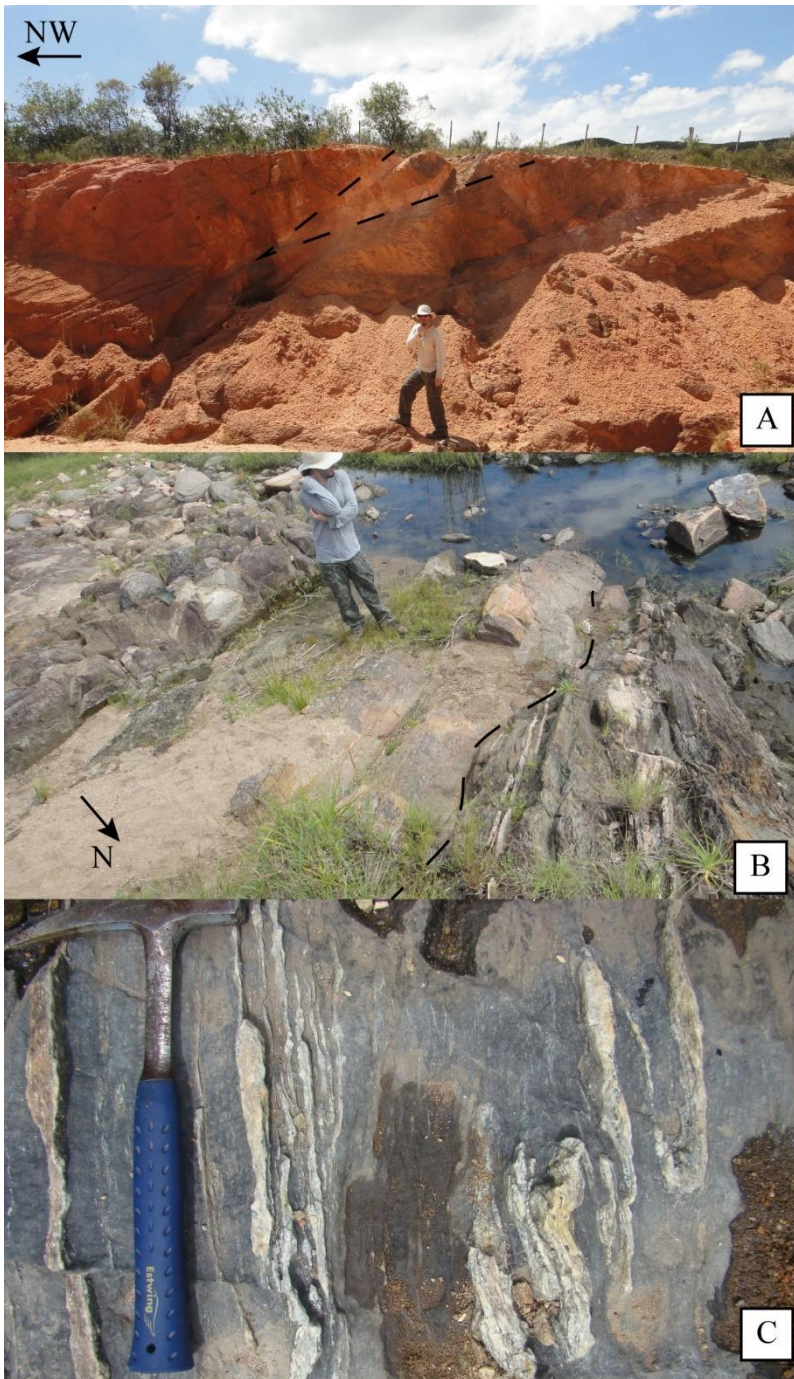
883 and Machado (2002), are described as a variation between quartzites layers and micaceous and  
 884 ferrous metapsamites, which are intercalated with weathered schists and gneisses, and lenses of  
 885 two mica granitoids (concordant or discordant with the metasediments foliation). Cruz (2019)  
 886 reports that the quartzites, even on its purest portions, present small quantities of muscovite and  
 887 opaque minerals. The schists are greyish-red and composed essentially by muscovite, biotite and  
 888 quartz, sometimes with garnet and sillimanite (fibrolite) (Cruz, 2019). There's been analysed 73  
 889 detrital zircons of this unit, with representative peaks on Paleoproterozoic (Estateonian) and  
 890 smaller peaks at Mesoproterozoic and Neoproterozoic (Ediacaran), with younger age of 613 Ma,  
 891 indicating basin formation period during at least the Ediacaran (Cruz, 2019).

### 893        2.2.3. Geology of the Arroio Grande Complex

894        The Arroio Grande Complex (Ramos, 2013; Ramos & Koester, 2015) was previously  
 895 interpreted as two portions divided by the intrusion of the Três Figueiras Granite, which is a  
 896 peraluminous granite synkinematic to the Arroio Grande Shear Zone, with magmatic ages between  
 897 610-590 Ma (Klein et al., 2018; Vieira et al., 2019; Cruz, 2019). At north from Três Figueiras  
 898 Granite are found units of the Arroio Grande Ophiolite that comprises the Matarazzo Marbles and  
 899 Metamafites (Neis, 2017; Ramos et al., 2017), besides metagabbro and metadiorite xenoliths  
 900 found in granitoids from the Pinheiro Machado Intrusive Suite and in the Três Figueiras Granite  
 901 (Ramos et al., 2017). To the south of the granite units from the Arroio Grande Ophiolite  
 902 (chromiferous and magnesian schists, serpentinites, amphibolites and metagabbros) also occur,  
 903 enveloped by the metasiliciclastic rocks of the Arroio Grande Schists and Quartzites with tectonic  
 904 contact (Ramos et al., 2018). Based on geochemical signatures of the metaultramafites and  
 905 metamafites, it was suggested an oceanic back-arc setting for the generation of the protoliths  
 906 (Ramos & Koester, 2015). The marbles protolith deposition occurred between 800-700 Ma (Neis,  
 907 2017; Ramos et al., 2018), during the expansion phase of the back-arc basin. The minimum age  
 908 for the emplacement of the ophiolite on the continental crust is estimated at 640 Ma, related to the  
 909 initial stages of the basin closure (Ramos et al., 2017). Cruz (2019) described the Arroio Grande  
 910 Complex as an association of rocks that are mafic, ultramafic and sedimentary metamorphosed,  
 911 composed by talc-serpentine schists, tremolites and chlorites with chromite (ultramafic portions),  
 912 epidote amphibolites, metadiorites and metagabbros (mafic portions), mica schists, quartzites,  
 913 metagreywackes, garnet-biotite schists and marbles (sedimentary portions). Cruz (2019) mentions  
 914 the occurrence of weathered muscovite-biotite schists, interlarded with chlorite schists, quartzites  
 915 and granitoids, all presenting mylonitic foliation. The author presents a sample of staurolite-  
 916 limonite-biotite-muscovite-quartz schist, with U-Pb analysis in 51 detrital zircons, resulting in a  
 917 provenance with major influence of estaterian (Paleoproterozoic), Mesoproterozoic and criogenian  
 918 (Neoproterozoic) sources, with younger ages of 668 Ma.

919        The Arroio Grande Schists and Quartzites were interpreted as a metasiliciclastic unit from  
 920 the Arroio Grande Complex, mainly composed by mica schists and quartzites, with subordinate  
 921 metagreywackes and granatiferous schists (Ramos et al., 2014). These metasediments outcrop to  
 922 the west of the Arroio Grande city, in southernmost Rio Grande do Sul, where the schists  
 923 constitute the main lithology, although highly weathered with a wide variation of colours (grey to  
 924 red) (Fig. 2A). It occurs in great extension (about 20 km for 5 km, elongated according NE-SW),  
 925 with foliation dipping NW (80° approximately) and occur associated with centimetric to metric  
 926 lenses of quartzite. The quartzites are subordinate, and occur interlayered with schists as lens with  
 927 variable thickness, between 0,5 and 1 m, and length up to 5m (Fig. 2A). Macroscopically it's  
 928 possible to identify only quartz and muscovite as essential minerals. These two lithologies are in  
 929 tectonic contact with the Três Figueiras Granite, and also with the metamafic and metaultramafic  
 930 units of the Arroio Grande Ophiolite (Fig. 2B). This metasedimentary unit was named as Schists  
 931 and Quartzites Arroio Grande (Beloni et al., 2016). According to Ramos et al. (2014), the  
 932 metagreywacke is outcropping in very few places, with discontinuous centimetric to metric  
 933 injections of the Três Figueiras Granite, usually folded, according to the preferred direction of the  
 934 metagreywacke, where it's possible to verify centimetric bands with felsic micaceous composition  
 935 and also, folds along all the outcrop (Fig. 2C).

937



938  
939  
940  
941  
942  
943

Figure 2. General structural and textural aspects of the studied units – A) outcrop along the road showing the Arroio Grande Schists and Quartzites (in detail, quartzite lens); B) outcrop along riverside, showing the contact between the Arroio Grande Schists and Quartzites (right) with the Três Figueiras Granite and metaultramafic rocks (left); C) metagreywacke, horizontal plane.

944 3. Methods and results

945 3.1. Methods

946  
947  
948  
949  
950  
951  
952

Schist and quartzite samples were collected for a several set of analysis, such as petrography (3 samples), geochemistry (10 samples), Sm-Nd isotopic geochemistry in whole rock (8 samples) and U-Pb dating on detrital zircons (3 samples). The chosen samples were considered representative of the lithotypes found on the field and were also the less altered ones. The geochemical analysis in whole-rock was done in X-ray fluorescence spectrometry (XRF), using the Rigaku® RIX2000 spectrometer from the CPGq-IGEO-UFRGS. On these samples, the

953 concentration of major and trace element was analysed.

954 The isotopic analysis was performed at the Laboratory of Isotopic Geology -CPGq/UFRGS  
 955 (LGI). Approximately 100 µl of Sm-Nd spike was added to each 100 µg of sample for isotopic  
 956 dilution analysis of Sm-Nd and natural Sr. The spiked samples were then solubilized with acids and  
 957 subjected to chromatographic columns for elementary concentration of Sr, Sm, Nd. The isotopic  
 958 data of those elements was obtained with and ICP-MS Thermo Fisher® Neptune and with TIMS  
 959 VG-Sector mass spectrometers. The raw data obtained was reduced with an in-house spreadsheet  
 960 from the laboratory, in which the model age is calculated according to DePaolo (1981).

961 The samples were prepared according to the methodology from the Laboratory of Sample  
 962 Preparation at UFRGS with the aim of obtaining the highest fraction of zircons present on the  
 963 rocks, using mechanical disintegrator, physical separator (bang) and magnetic separator (Frantz).  
 964 The separated zircons were fixed on Buehler epoxy resin for the production of mounts, in which the  
 965 eviction method was used, aiming to obtain a large set of zircons without choosing or selecting,  
 966 even if involuntary, of the grains to be analysed (Fedo et al., 2003; Gehrels, 2014). The detrital  
 967 zircons present on the mounts were imaged by cathodoluminescence (CL) in Scanning Electron  
 968 Microscope (SEM). The SEM used was the JEOL® 6610-LV coupled with ChromaCLII Gatan, in  
 969 the LGI. The images taken on SEM-CL were used during LA-ICP-MS analysis to select the grain  
 970 areas that were free of inclusions, fractures or metamorphic features.

971 The analysis of U-Pb ratio in zircons were performed in a LA-ICP-MS, model Thermo  
 972 Scientific® ELEMENT 2®, from the Applied Isotope Research Group (A.I.R), at the Federal  
 973 University of Ouro Preto (UFOP). The applied methodology is described at Farina et al. (2015).  
 974 The raw data were treated using the software Glitter (Van Achterbergh et al., 2001) and the ages  
 975 were calculated and arranged in frequency diagrams, using the software IsoplotEX 4 (Ludwig,  
 976 2003). The uncertainty of each analysis is of 1 σ.

977

### 978       3.2. Geology and petrography of the Arroio Grande Schists and Quartzites and metagreywacke

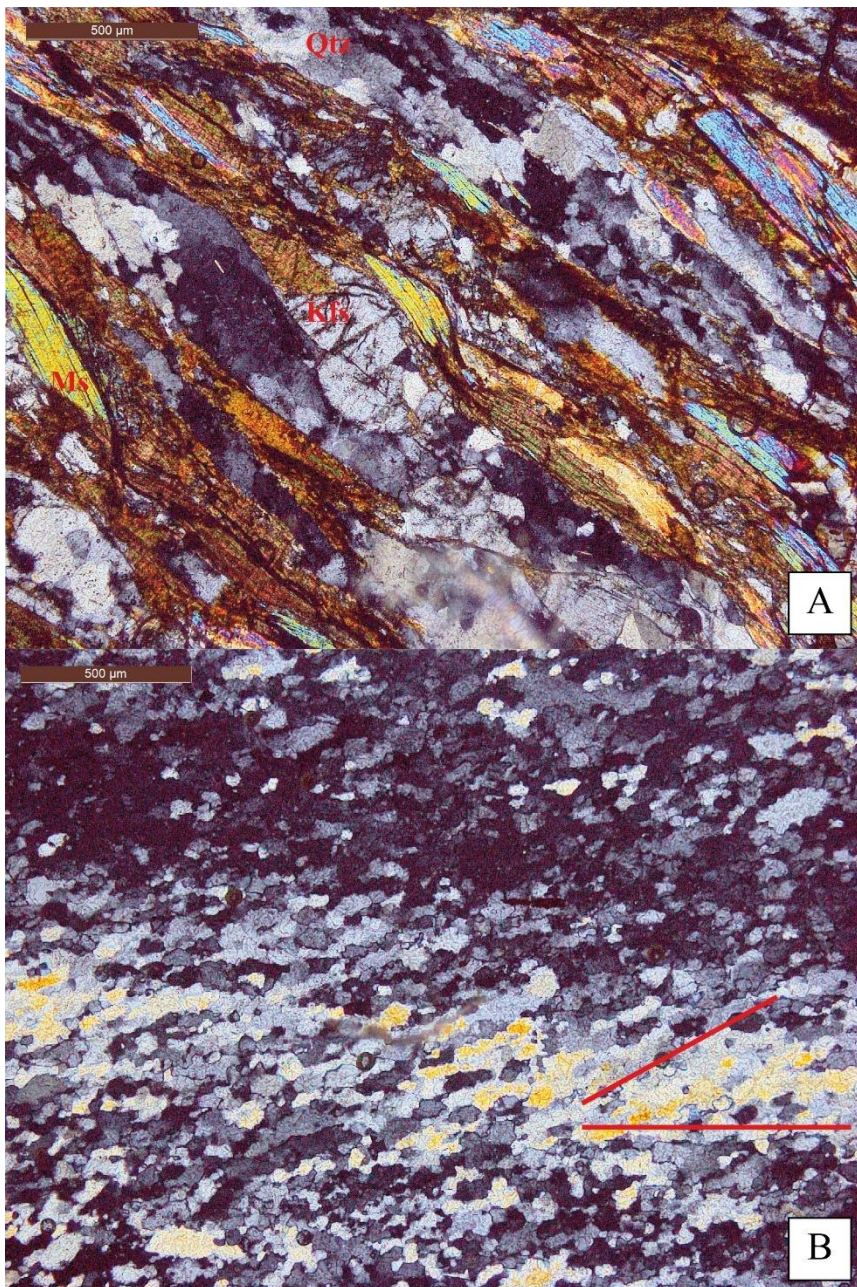
979

980       The mica schists occur as the main unit of the AGC, with subordinate quartzite lenses. The  
 981 outcrops occur in exposures with tens of meters and exhibit quite homogeneous compositions.  
 982 Generally, it is intensely weathered, ranging from reddish to greyish in some areas (variation due  
 983 to the sort and intensity of weathering). The schists present well pronounced mylonitic foliation,  
 984 marked by the elongation of quartz and muscovite grains, and in the quartzites it is verified  
 985 stretching lineations, marked by the preferred orientation of quartz grains (15;056).

986       In microscopic analyses, the main mineralogy of the schists is composed by quartz (30 %),  
 987 muscovite (55 %) and K-feldspar (15 %). Accessory minerals are zircon and tourmaline. The  
 988 mylonitic texture is marked by the alternation of quartz ribbon with bulging deformation and  
 989 muscovite enriched lenses (Fig. 3A). The K-feldspar occur as slightly rotated and fractured  
 990 porphyroclasts, with small quartz trails showing dynamic recrystallization (Fig. 3A). A few samples  
 991 present S-C type structure, with the C-plan marked by quartz ribbon and muscovite, oblique to the  
 992 schistosity plane (S). Tourmaline occurs as prismatic porphyroclasts, with size up to 1 mm,  
 993 oriented along foliation (pre-kinematic). It presents not-filled pressure shadows and fractures  
 994 perpendicular to C-axis, where intense clay formation occurs. The zircons occur as inclusions on  
 995 quartz grains and between muscovite lamellae. Its dimensions are up to 0,1 mm, presenting  
 996 elongated and rounded habit (referring to prismatic habit). The muscovite + quartz + K-feldspar  
 997 paragenesis, as well as other deformational microstructures, are compatible with the mylonitization  
 998 event of low to medium greenschist facies of this unit.

999       The quartzite is composed by quartz (90 %) and muscovite (10 %), with zircon as the main  
 1000 accessory. The quartz grains present stretched forms with undulose extinction and dimensions  
 1001 between 10 µm and 100 µm. The grain contacts are irregular and bulged, and in some cases  
 1002 almost separated from the recrystallized grain, which indicates dynamic recrystallization by bulging  
 1003 (Passchier et al., 2005). Muscovite lamellae occur between quartz grains. The lamellae are  
 1004 monocrystalline, with more than 500 µm of length, but are quite thin and evidence the foliation  
 1005 direction. The S-C structure is visible through the change of quartz and muscovite orientation (Fig.  
 1006 3B). Just as in the schists, the zircons on the quartzites occur as inclusions in quartz, and also  
 1007 between thin muscovite lamellae. Its dimensions are up to 0.1 mm (referring to prismatic habit).

1008 The microstructure that indicated quartz recrystallization by bulging of this unit matches the  
 1009 mylonitization in greenschist facies, between 300°C and 400°C (Stipp et al., 2002).  
 1010



1011  
 1012 Figure 3. Photomicrographs of the Arroio Grande Schists and Quartzites A) Detail of the mylonitic texture of  
 1013 the muscovite-quartz schist with quartz ribbon, elongated muscovite and K-feldspar porphyroclasts, intensely  
 1014 fractured and with a small recrystallization tail. B) General image of the quartzite, showing bulging texture on  
 1015 quartz and S-C structure (difference in preferential orientation of quartz regarding the rock foliation). Qz =  
 1016 quartz; Ms = muscovite; Kfs = K-feldspar; (Whitney & Evans, 2010). Scale = 500 μm.  
 1017

1018 The metagreywacke ranges from dark grey to black (of micaceous composition),  
 1019 equigranular texture and millimetric to centimetric bands of whitish colour (of felsic composition) in  
 1020 a few portions of the outcrop. In optical microscopy it is possible to verify the general composition  
 1021 of quartz, feldspar (K-feldspar and plagioclase) and biotite, and in disseminated form tourmaline,  
 1022 zircon, apatite and opaque minerals (Fig. 4). Two foliations of mylonitic nature were also identified.  
 1023 The first one is mainly evidenced by the elongated ribbons of quartz. The second one, transposes  
 1024 the first one and produces folds and recrystallization in the grains. Quartz, as most abundant  
 1025 mineral (45 %), occurs in two groups, one as extremely elongated ribbons with grain boundary  
 1026 migration deformational regime (associated to the first foliation), and as small grains (associated to  
 1027 the second foliation) in subgrain rotation deformational regime. The biotite (35 %) occurs along the

whole thin section, with enriched levels between small grains of quartz and feldspar, or with scarce quartz ribbons, usually highlighting the second foliation. Feldspar (20 %) occurs as isolated grains, subhedral to anhedral, with sizes between 0,1 mm and 0,4 mm, and present elongated shape and diffuse edges (irregular), sometimes slightly rotated. Tourmaline occurs sparsely, with green/light green colour, with subhedral to anhedral habit, size ranging from 0.3 to 0.5 mm and with some pre- and sin- kinematic characteristics related to the second foliation. The zircons are found between biotite lamellae and as inclusions in quartz. Its dimensions are small (less than 0.1 mm) and anhedral to subhedral in shape. Based on the quartz + biotite + feldspar with tourmaline, zircon, apatite and opaque paragenesis it is possible to define a greenschist-amphibolite facies metamorphism. The recrystallization microstructures present in quartz by grain boundary migration and by subgrain rotation are compatible with the mylonitization in temperature conditions between 500 to 700°C and 400 to 500°C, respectively (Stipp et al., 2002). Therefore, it is possible to imply a retrograde fabric development conditions to metagreywacke.

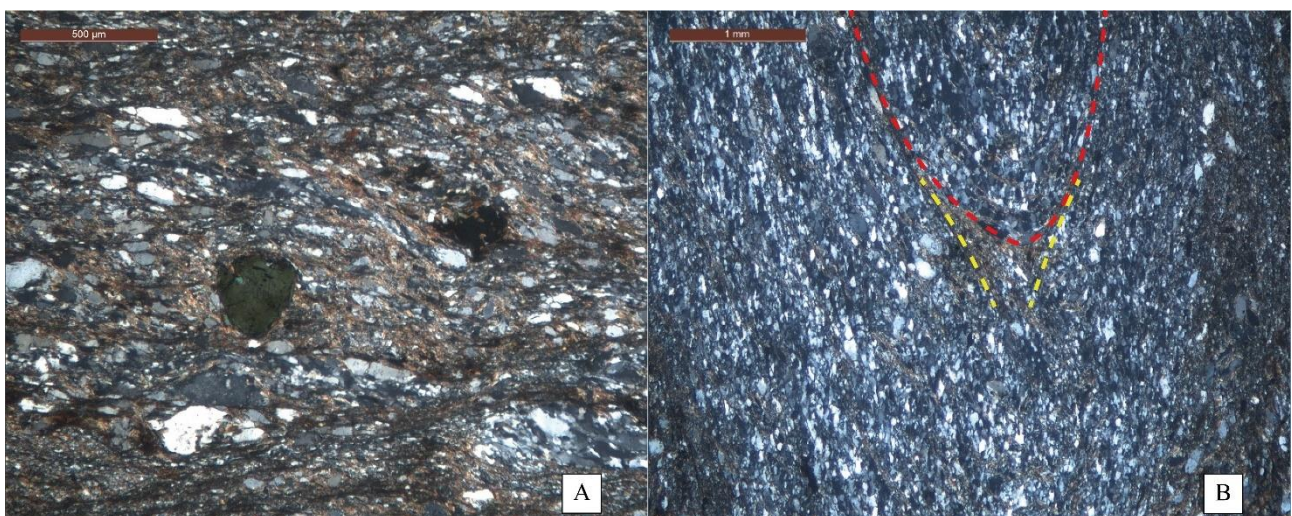


Figure 4. General photomicrography of the metagreywacke in thin section (PF-24), crossed polars. A) General image of the thin section, showing the features of quartz ribbons and subgrains, feldspars and biotite, and in the center in dark green, the tourmaline. (scale = 500  $\mu$ m); B) evidence of two foliations, red marks first foliation of higher temperature and grain boundary migration texture, and yellow marks the second foliation of medium temperature and subgrain rotation texture (scale = 1mm).

### 3.3. Major and Trace Elements Geochemistry

The results from the geochemical analysis of major elements from the Arroio Grande Schists and Quartzites and metagreywacke (Tab. 1) shows that schists present variable content of SiO<sub>2</sub> between 65 % and 75 %, among which, those depleted in SiO<sub>2</sub>, present higher content of Al<sub>2</sub>O<sub>3</sub> (15 - 16 %), and those with higher percentage of SiO<sub>2</sub> have a lower content of Al<sub>2</sub>O<sub>3</sub> (11 % - 14 %). The same relation occurs between Fe<sub>2</sub>O<sub>3</sub> (total) and volatiles, where the percentages of higher concentration, between 7 - 8 % of Fe<sub>2</sub>O<sub>3</sub> and between 4 % - 5 % of volatiles, follow a trend of samples with lower percentage of SiO<sub>2</sub> concentration (65 - 67 %).

When it comes to the quartzites, the samples show SiO<sub>2</sub> values between 96 - 98 %, and lower concentrations of Al<sub>2</sub>O<sub>3</sub>, TiO<sub>2</sub>, Fe<sub>2</sub>O<sub>3</sub>, K<sub>2</sub>O and volatiles. The trace elements of the schists occur in higher concentration (in ppm) of the following elements Zr (178 – 203), Rb (206 – 428) e Ba (512 – 564), Cr (95 – 292) and Y (54 – 90). Regarding the quartzites, the trace element data show higher concentrations of Zn (10 – 73), Zr (3 – 192) and Pb (0.1 – 51). Last, the metagreywacke present higher values of SiO<sub>2</sub> (70 %), Al<sub>2</sub>O<sub>3</sub> (12 %), Fe<sub>2</sub>O<sub>3</sub> (5 %) and less than 5 % for TiO<sub>2</sub>, MnO, MgO, CaO, Na<sub>2</sub>O and K<sub>2</sub>O, and values higher than 100 ppm for Ba, Cr, Sr e Zr.

Table 1: Results of major elements in oxide weight % and trace elements in ppm. LOI – Loss on ignition; nd – not detected

	Schist					Quartzite			Metagreywacke	
	PF-56	PQX - 04	PU - 01	PQX - 02	PQX - 08	PF - 29	PU - 34	PQX - 05	PQX - 03	PF - 24
SiO <sub>2</sub>	73.46	72.39	66.54	67.74	65.25	72.44	98.94	98.85	96.51	71.64
Al <sub>2</sub> O <sub>3</sub>	12.20	12.74	16.03	15.54	16.77	12.97	0.31	0.26	1.81	12.70
TiO <sub>2</sub>	0.86	0.94	1.07	0.98	1.15	0.85	0.01	nd	0.04	0.70
Fe <sub>2</sub> O <sub>3</sub>	5.89	6.36	8.13	7.33	7.61	6.76	nd	nd	0.51	5.53
MnO	0.07	0.06	0.02	0.03	0.02	0.15	nd	nd	nd	0.09
MgO	1.47	1.35	1.30	1.28	1.55	1.46	nd	nd	nd	2.42
CaO	0.74	0.56	nd	nd	nd	0.84	nd	nd	nd	2.18
Na <sub>2</sub> O	0.51	0.26	nd	nd	nd	1.18	nd	nd	nd	1.91
K <sub>2</sub> O	2.98	2.74	2.73	3.89	2.88	2.05	nd	nd	0.23	2.00
P <sub>2</sub> O <sub>5</sub>	0.09	0.06	0.02	0.02	0.04	0.10	nd	nd	nd	0.12
LOI	2.04	2.98	4.97	4.24	5.67	1.61	0.16	0.21	0.90	0.98
Total	100.31	100.44	100.79	101.05	100.93	100.40	99.42	99.33	100.00	100.26
Y	54.6	68.9	90.7	68.8	62.6	51.4	0.1	0.1	2.6	29.4
Pb	11.7	11.1	12.3	11.1	12.8	22.7	1.9	1.9	0.7	18.8
Ni	18.8	19.2	46.0	19.3	25.9	21.5	nd	nd	1.2	27.1
Co	31.7	34.8	42.7	38.1	41.0	33.4	nd	nd	2.3	28.0
Cu	11.5	3.5	47.7	69.1	69.1	7.6	2.3	nd	1.6	31.4
Ga	12.3	15.3	96.5	20.3	20.3	13.7	1.8	nd	1.3	10.8
Sr	94.2	76.9	20.0	15.5	15.5	140.2	0.3	0.3	0.8	202.9
Zr	183.3	203.6	178.1	201.5	201.5	192.3	2.8	2.8	14.3	131.7
Zn	74.5	85.6	120.5	110.4	110.4	73.8	20.9	10.1	15.6	75.5
Nb	17.0	21.4	24.1	26.3	26.3	17.0	nd	nd	nd	8.5
Rb	228.6	223.8	428.3	206.8	206.8	153.6	nd	nd	nd	77.4
As	6.9	8.3	9.5	8.9	8.9	11.6	0.9	0.7	1.2	8.8
Cr	111.2	95.4	292.4	133.4	133.4	93.2	nd	76.7	1.0	133.1
Ba	512.0	553.9	523.4	564.7	564.7	374.1	nd	nd	17.9	405.5

## 1066        3.4. Sm-Nd Isotopic Geochemistry

1067

1068         $\epsilon_{\text{Nd}}$  and  $T_{\text{DM}}$  data were obtained from 8 samples of the studied units, being 5 schist  
1069 samples, 2 quartzite samples and 1 metagreywacke sample (Tab. 2). The  $\epsilon_{\text{Nd}(0)}$  values of the  
1070 schist samples vary between -11,69 and -13,95, and  $T_{\text{DM}}$  1.356 and 1.587 Ga. For the quartzite  
1071 samples the values obtained were -6,2 and -14,88, and  $T_{\text{DM}}$  1.091 and 1.696 Ga. The  
1072 metagreywacke presented 5,05 value for  $\epsilon_{\text{Nd}(0)}$  and 1.074 Ga for  $T_{\text{DM}}$ . Further data regarding  
1073 concentration, ratio and errors are listed in Table 2.

1074  
1075

Table 2: Result of Sm-Nd isotopic geochemistry in whole rock.

Rock Type	Sample Name	Sm (ppm)	Nd (ppm)	$^{147}\text{Sm}/^{144}\text{Nd}$	X error (%)	$^{143}\text{Nd}/^{144}\text{Nd}_{(t=0)}$	Error (ppm)	Epsilon Nd (0)	Epsilon Nd (t)	$T_{\text{DM}}$	$^{143}\text{Nd}/^{144}\text{Nd}_{(t)}$	t
Schist	PF-56	6,0330	34,4477	0,105884	0,095346	0,511923	7	-13,9	-7,5	1.57	0,511541	550
	PQX-04	9,7744	60,5844	0,097541	0,103501	0,512005	11	-12,3	-5,3	1.35	0,511653	550
	PU-01	6,9555	40,3153	0,104308	0,096787	0,511984	9	-12,7	-6,2	1.46	0,511608	550
	PQX-02	8,4344	49,6065	0,102796	0,098211	0,512038	8	-11,6	-5,1	1.37	0,511668	550
	PQX-08	6,8023	38,3089	0,107353	0,094042	0,511929	6	-13,8	-7,5	1.58	0,511542	550
Quartzite	PF-29	5,1495	28,4610	0,109389	0,092292	0,511875	8	-14,8	-8,7	1.69	0,511481	550
	PQX-03	0,6099	3,2680	0,112823	0,089482	0,512320	20	-6,2	-0,3	1.09	0,511914	550
Meta-greywacke	PF-24	3,7678	19,0504	0,119577	0,084428	0,512379	28	-5,0	0,3	1.07	0,511948	550

### 3.5. Detrital Zircon U-Pb ages

Altogether, 239 zircons were analysed from 3 samples of the Arroio Grande Schists and Quartzites. The ages with concordance higher than 95% (144 in total, 51 from sample PF-24, 34 from sample PF-29 and 59 from sample PF-56) were used in the frequency histograms for the detrital zircon ages for each sample (Fig. 5).

The sample PF-24 (metagreywacke) has detrital zircons of Paleoproterozoic ages between Siderian (2.324 Ma) and the Orosirian (1.882 Ma) periods, and presents internal highly diverse textures making it difficult to define a specific group (sectorial, concentric, mixed or convoluted), although the morphology is usually rounded and spheric. The Mesoproterozoic zircons, from Stenian age (1.147 Ma – 1.037 Ma), present main internal texture as concentric and sectorial, and spherical shape and intensely rounded. Regarding the zircons of Neoproterozoic age, the ones from Tonian ages (981 Ma) are represented by grains with concentric textures, low sphericity, intense rounding and recrystallized edges. The ones from Criogenian age (660 Ma) also present concentric patterns, but some have sectorial patterns with intense rounding, and some with angular edges due to fracturing (which is not observed in zircons of previous ages), and low sphericity.

The zircons from sample PF-29 (quartzite), the Paleoproterozoic detrital group are Riacian (2.111 Ma) to Estonian (1.621), presenting well marked rounded and spherical shapes, and its textural patterns are random (sectorial, concentric). The Mesoproterozoic zircons, from Calimian (1.403 Ma) to Ectasian (1.293 Ma), also present spherical and rounded shape, but with relatively smaller size. The detrital zircons from Neoproterozoic ages (960 Ma – 579 Ma) have prismatic shape, slightly spherical, with clues of fracturing, but all of them with a few characteristics of rounding, with angles between the grain edges.

The sample PF-56 (schist) presents detrital zircons with Paleoproterozoic Orosian age (1.982 Ma), with high level of rounding and sphericity, and variable internal igneous and metamorphic textures. The Mesoproterozoic detrital zircons, from Calimian (1.474 Ma), Ectasian (1.370 Ma – 1.253 Ma) and Estonian (1.148 Ma – 1.058 Ma), present high level of rounding on its edges, but presents low sphericity, with oscillatory textural pattern. The population of detrital zircons of Neoproterozoic age (995 Ma – 548 Ma) present slightly rounded morphology, with textural characteristics such as oscillatory and/or sectorial patterns. The less spherical grains show visible signs of fractures, where the textural patterns are abruptly interrupted.

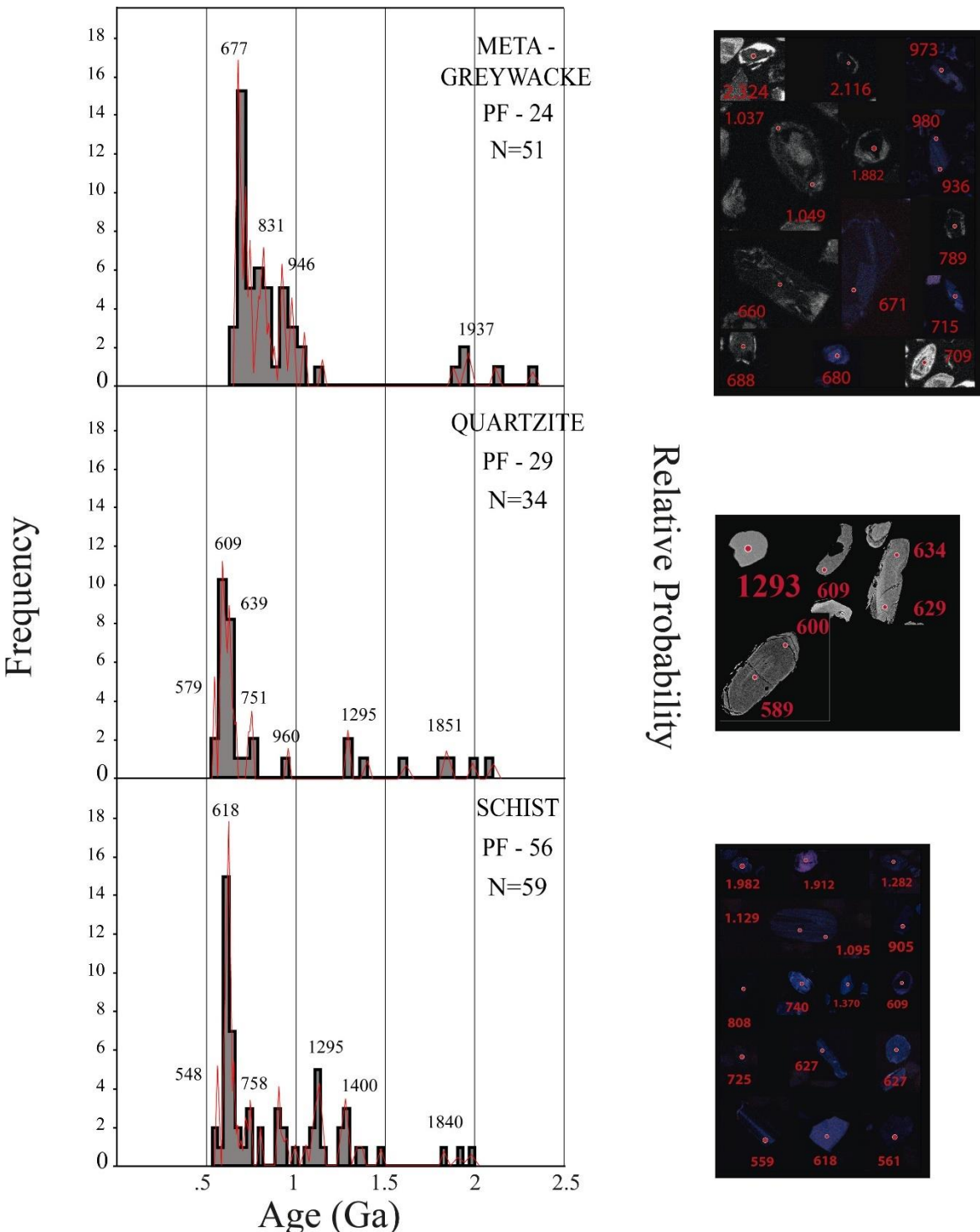


Figure 5. Frequency histogram of  $^{206}\text{Pb}/^{238}\text{U}$  ages of detrital zircons from the samples PF-24 (metagreywacke), PF-29 (quartzite) and PF-56 (schist). The peaks of higher expression match with the age of higher detrital influence (grey peaks) and the relative probability of each age from the analysis error (red peaks).

#### 4. Discussion

##### 4.1. Metasedimentary units from the Arroio Grande Complex

U-Pb isotopic data from detrital zircons shows expressive contribution from ediacaran units for the sedimentation and consequent formation of the Arroio Grande Schists and Quartzites. The metagreywacke, on the other hand, present more complex textures with two mylonitic foliations, marking a first high temperature mylonitization and a second low temperature event, which transposes the first one and is provided by the sedimentation of mainly criogenian units, without the presence of any ediacaran sediments, attested by the U-Pb ages in detrital zircon.

Ramos et al., (2019) discusses, based on petrography and mineral chemistry from metamafic-ultramafic units from the Arroio Grande Complex, that there are two metamorphic events on the region, the event M1, with minimum age of 640 Ma, and M2 with age between 610 – 585 Ma. When observing the U-Pb age histograms from the zircons of the metasedimentary units of Arroio Grande and comparing it to the previously described metamorphic features, due to its older age, the metagreywacke unit shows two metamorphic events, and the Arroio Grande Schists and Quartzites of younger age present only one record of metamorphism. The isotopic data from Sm-Nd ratio in whole rock also show differences mainly between schists and metagreywacke, due to the  $\epsilon_{\text{Nd}}$  values, between -11 and -13 for schist samples, and -5 to metagreywacke sample (Table 2). This indicates the influence of different source areas for the metagreywacke and schists, and it is highlighted when the values of  $\epsilon_{\text{Nd}}$  versus  $T_{\text{DM}}$  are compared (Fig 6.).

Based on these data, we propose that the metagreywacke and schists and quartzites from Arroio Grande are all distinct, having in mind the sedimentary component and the difference of minimum age and frequency peaks of the zircon ages (Fig. 5), as well as the comparison of the  $\epsilon_{\text{Nd}}$  and  $T_{\text{DM}}$  values between the units. This interpretation is reinforced when observing the post-sedimentary history in relation to the metamorphism/deformation in which the units were involved.

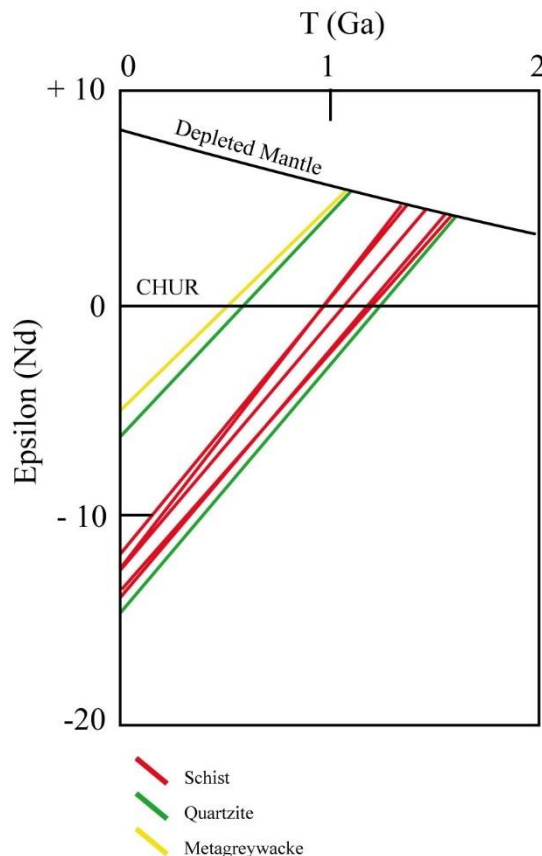


Figure 6. Epsilon (Nd) versus  $T_{\text{DM}}$  graphic comparing the  $\epsilon_{\text{Nd}}$  values obtained for the Arroio Grande Schists and Quartzites and the metagreywacke unit.

#### 4.2. Source area and sedimentation setting

The U-Pb results of the detrital zircons of the studied units indicate that the frequency peaks of the histograms reflect the most expressive sedimentary load for each unit, being 670 – 660 Ma for metagreywacke, 640 – 610 Ma for quartzite and 620 – 615 Ma for schist. Based on this information it is possible to infer possible source-areas for those units, considering the topographic factors controlled by the erosion and sedimentation area. The metagreywacke unit has main source-areas probably related to the orogenic event that formed the Piratini Arc (Vieira et al., 2019), due to the high topography that existed on the region during that period. The Piratini Gneisses present crystallization age ~ 780 Ma and metamorphism ~ 660 Ma (Silva et al., 1999; Tambara, 2019), the Arroio Pedrado Gneisses present crystallization age of 680 Ma, and 660 Ma for metamorphism (Vieira et al., 2019) and can be considered as possible sources for the metagreywacke sedimentation. For the Arroio Grande Schists and Quartzites, the main source-areas are related to the Dom Feliciano orogenic event, with units from the Pinheiro Machado Complex (618 Ma U-Pb; Loureiro, 2015) as the main source of sediments of this basin. The younger ages of the detrital zircons were to represent the sediments from the granitic units of Três Figueiras (585 Ma U-Pb; Klein et al., 2018), and Chasqueiro (crystallization age of 574 Ma U-Pb Vieira et al., 2017), for example.

Regarding Sm-Nd ratios, for  $\epsilon_{\text{Nd}}$  e  $T_{\text{DM}}$ , it is shown that the sediments which compose the studied rocks came from a crustal source with  $\epsilon_{\text{Nd}}(0)$  between -11 a - 14, and  $T_{\text{DM}}$  signatures between 1,0 Ga and 1,6 Ga (Fig 6). Based on compararisions of those parameters with a few units that probably were the source of the sediments, a graphic was made with  $\epsilon_{\text{Nd}}$  versus time, where the Arroio Grande Schists and Quartzites resembles the data from Pinheiro Machado Complex, with  $\epsilon_{\text{Nd}}(0)$  between -11 and -14, and  $T_{\text{DM}}$  between 1,3 and 1,7 Ga (Loureiro et al., 2015) in the east part of DFB as well as the values for the Arroio Pedrado Gneiss with  $\epsilon_{\text{Nd}}(0)$  between -10 and -13, and  $T_{\text{DM}}$  between 1,4 and 1,6 Ga (Vieira et al., 2019), and Chácara das Pedras Gneiss with  $\epsilon_{\text{Nd}}(0)$  between -13 and – 15, and  $T_{\text{DM}}$  between 1,7 and 1,9 Ga (Koester et al., 2016).

Bhatia (1983) describes the relation between the major elements of a sedimentary unit to infer the sort of provenance, as well as the geotectonic setting of the sedimentary basin. The author concludes that sediments derived from an ocean island arc (volcanic arc separating the fore-arc basin from a back-arc basin and with sedimentation of mainly calcic-alkaline or tholeiitic rocks) present high  $\text{TiO}_2$ ,  $\text{Al}_2\text{O}_3$ ,  $\text{Na}_2\text{O}$  e  $\text{Fe}_2\text{O}_3$ , and low de  $\text{SiO}_2$  e  $\text{K}_2\text{O}$ . For sediments that derive from continental island arc (sedimentation on fore-arc, back-arc and inter-arc settings, with main origin related to felsic volcanic rocks), a wider representativity is noted, with  $\text{SiO}_2$  and  $\text{K}_2\text{O}$ ,  $\text{K}_2\text{O}/\text{Na}_2\text{O}$  between 0,6 and lower in  $\text{Fe}_2\text{O}_3 + \text{MgO}$  (when compared to ocean arc sediments). In an active continental margin (sedimentary basins related to the andean-type orogeny or basins related to a transcurrent setting, and sediments from granitic-gneissic rocks and siliceous volcanic), the sediments present high  $\text{SiO}_2$  and  $\text{K}_2\text{O}$ , and  $\text{K}_2\text{O}/\text{Na}_2\text{O}$  of 1. A passive margin setting (matured sedimentation based on recycling of sedimentary and metamorphic units that are old and within intracratonic basins), shows wider representativity only of  $\text{SiO}_2$ ,  $\text{K}_2\text{O}/\text{Na}_2\text{O}$  bigger than 1, and narrower in representativity of  $\text{TiO}_2$ ,  $\text{Al}_2\text{O}_3$ ,  $\text{Na}_2\text{O}$  and  $\text{CaO}$ . Associated to this idea, it is possible to suggest that the sedimentation of the Arroio Grande Schists, Quartzite and metagreywacke took place in an arc of oceanic or continental origin (or tectonically active) (Fig. 7). Another possibility is that the Arroio Grande Schists and Quartzites could represent a tectonic melange related to strike-slip deformation (Festa et al., 2010).

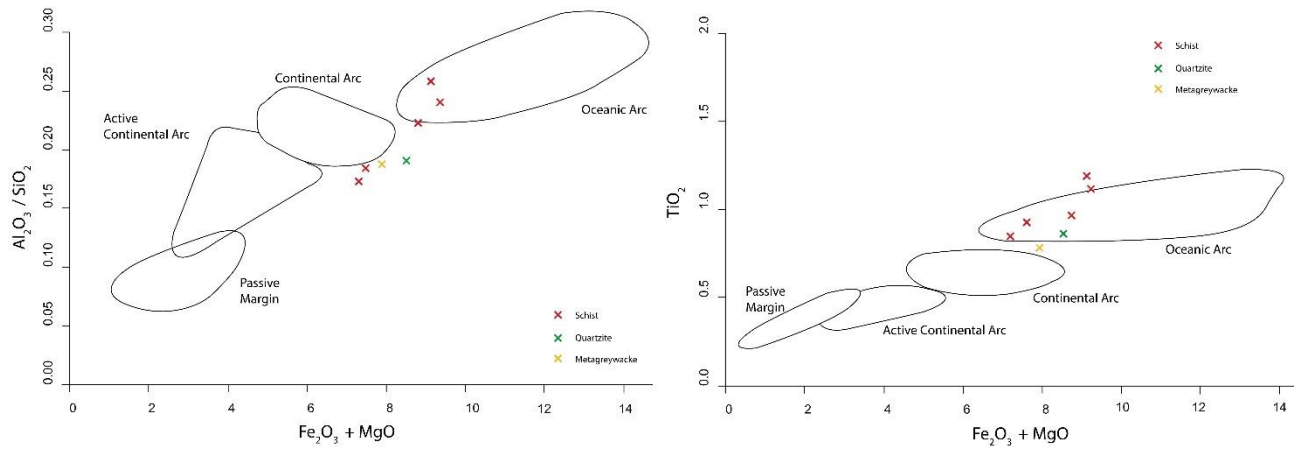


Figure 7. Graphic of  $(\text{Fe}_2\text{O}_3 + \text{MgO})$  versus  $(\text{Al}_2\text{O}_3 / \text{SiO}_2)$  and  $(\text{TiO}_2)$ , where these elements reproduce the origin and setting of sedimentation for the sedimentary units (Bhatia, 1983). The results show a possible arc tectonic setting for the Arroio Grande Schists and Quartzites and the metagreywacke unit, based on the relation between major elements of the sedimentary units.

#### 4.3. Metasedimentary units of the Cuchilla Dionisio – Pelotas Terrane

Observing the U-Pb age data in detrital zircons of the metasedimentary units of the eastern portion of the Dom Feliciano Belt, it is possible to distinguish the units according to the younger age of each one and then relate with the major events that took place in the same period on the region (Fig. 8). The metagreywacke unit has the older minimum deposition age (660 Ma of the youngest zircon). Cruz (2019) presents the minimum provenance age of 636 Ma for the Arroio Telho Complex, 613 Ma for the Guarda Nova Complex (youngest zircon) and for the metasedimentary unit Arroio Grande, based on U-Pb in detrital zircon, younger age of 668 Ma. In this study, an age of 548 Ma was obtained for the Arroio Grande Schists and Quartzites. With that, it is possible to distinguish two groups of Neoproterozoic basins, the first one of criogenian age (composed by the metagreywacke unit and Arroio Telho Complex) and the second one, of ediacaran age, composed by the Guarda Nova Complex and Arroio Grande Schists and Quartzites).

From the model proposed by Ramos et al., (2017) for the geotectonic evolution of the Western Domain of the Dom Feliciano Belt, it is possible to insert the metasedimentary units to each stage. The metagreywacke unit and the metasedimentary units of the Arroio Telho Complex are related to the closure stage of the Marmora Basin (between 700 – 600 Ma) with deposition derived from the Piratini Arc (Vieira et al., 2019). The Arroio Grande Schists and Quartzites and the Guarda Nova Complex could also be related to the final stages/post-closure (amalgamation) between the Cuchilla Dionisio – Pelotas Terrane and the Namaqua Belt (between 600 – 500 Ma). It's debatable the possibility that the siliciclastic metasedimentary units presented on this study represent an only basin initiated in 660 Ma and closed in 548 Ma, or that the both groups (criogenian and ediacaran sedimentation) represent an only criogenian basin and an only ediacaran basin, but no data was obtained that could further help the development of this discussion. At first sight it is tried to obtain bigger and better data quantity in the field, in thin section description and in geochemical data (major and trace elements, whole-rock Sm-Nd and U-Pb dating in detrital zircon), so it's possible to help further discussions about the geotectonic setting of the region. The Arroio Grande Complex is already correlated to an ophiolitic unit in Uruguay, where there're Neoproterozoic metasedimentary units (Paso del Dragon Complex – La Micaela Schists; Peel, 2018) and Namibia (Marmora Terrane – Oranjemund Terrane; Basei et al., 2005). Therefore, the possibility for new studies to complement the Neoproterozoic sedimentary history of Gondwana are necessary.

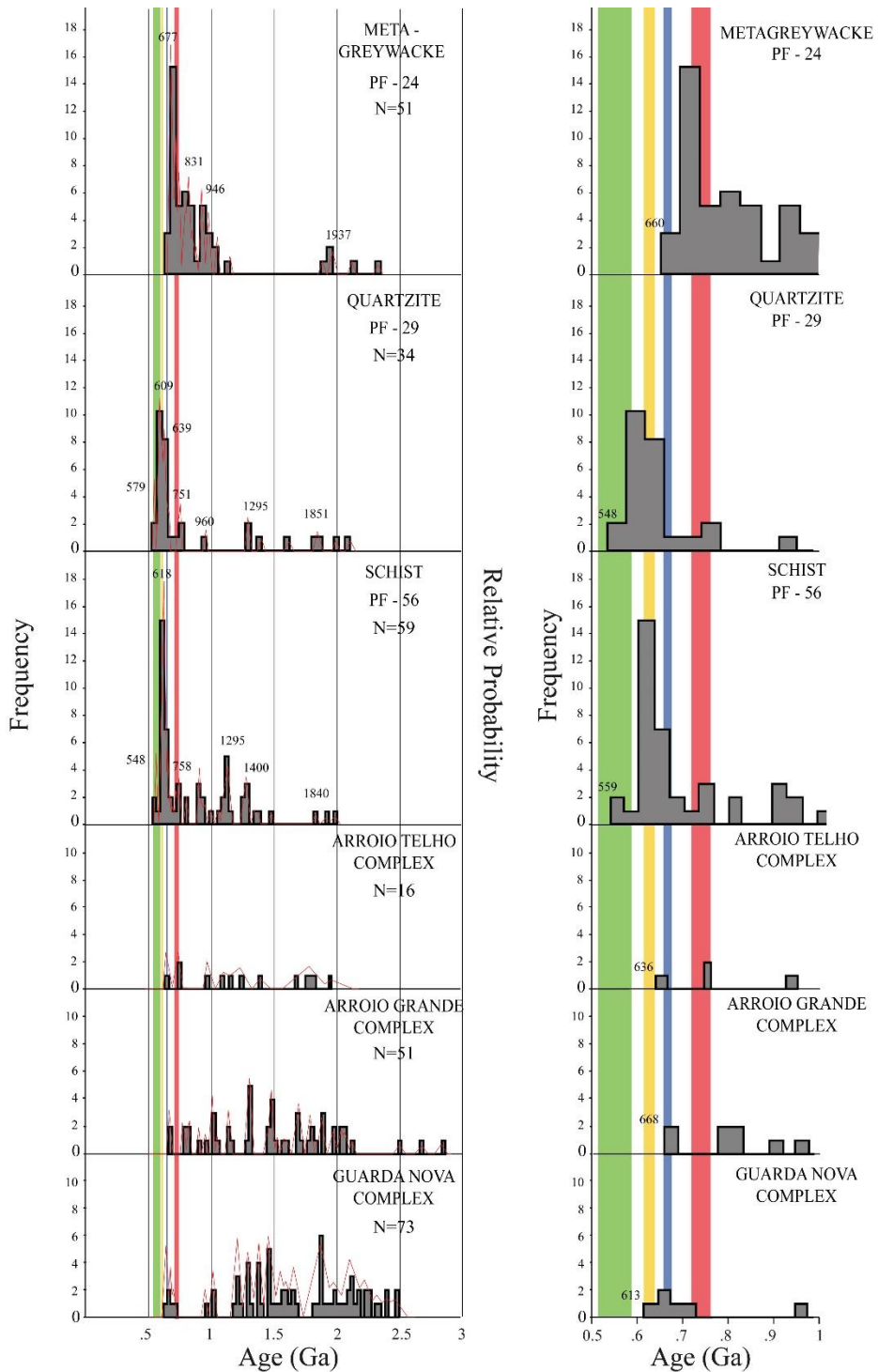


Figure 8. Age frequency histograms of U-Pb dating of detrital zircons. In the left, complete histogram of the studied units in this paper (schist, quartzite and metagreywacke) and histograms made based on data provided by Iglesias (2018) about the Arroio Telho Complex, and provided by Cruz (2019) about the Arroio Grande Complex and Guarda Nova Complex. In the right, and horizontal increase between 0.5 and 1 Ga, to highlight Brasiliano events. Marked in red, the period that represents the magmatic event of the Piratini Arc. Marked in blue, the period representing the continental collision metamorphic event. In yellow, magmatic period related to the DFB and Pinheiro Machado Complex. Marked in green, the period that represents a late-orogenic magmatism (Três Figueiras Granite, Chasqueiro Granite and Dom Feliciano Suite).

## 5. Conclusion

Based on the results presented on this paper, it is proposed that:

- The Arroio Grande Schists and Quartzites are defined as a metasedimentary unit with greenschist facies metamorphism, with medium- to low-temperature mylonitization (300 – 400°C) and main deposition age as ediacaran, with maximum age of 548 Ma (younger zircon found);
- The metagreywacke is under greenschist-amphibolite facies metamorphism, with mylonitization record in two steps, the first one in high temperature (500 – 700 °C), and the second one of medium temperature (400 – 500 °C), with deposition ages predominantly criogenian, and maximum age of 660 Ma (youngest zircon found);
- The Arroio Grande Schists and Quartzites and the metagreywacke belong to distinct depositional stages of the evolution of the eastern Dom Feliciano Belt, based on characteristics observed in petrography and geochemical data;
- The metagreywacke unit is the older siliciclastic metasedimentary unit found in the southeastern Dom Feliciano Belt, until this date;
- The Arroio Grande Schists and Quartzites are the youngest metasedimentary units found in the southeastern Dom Feliciano Belt, until this date.

## Acknowledgements

The authors thank the editor M. Santosh and reviewers for their insightful comments and suggestions on the manuscript; to CPGq- UFRGS and AIR - UFOP for providing geochemical and geocronology analysis; to Taís Fontes Pinto and Daniel Grings Cedeño for providing language help.

## 6. References

- Almeida, F.F.M., Hasui, Y., Brito-Neves, B.B. & Fuck, R.A. 1981. Brazilian structural provinces: an introduction. *Earth Science Review*, 17: 1-29.
- Babinski, M., Chemale Jr., F., Van Schmus, W.R., Hartmann, L.A. & Silva, L.C. 1997. U-Pb and Sm-Nd geochronology of the Neoproterozoic Granitic-Gneissic Dom Feliciano Belt, Southern Brazil. *Journal of South American Earth Sciences*, 10(3/4): 263-274.
- Basei, M.A.S., Siga Jr. O., Masquelin, H., Harara, O. M., Reis Neta, J.M. & Preciozzi, F. 2000. The Dom Feliciano Belt of Brazil and Uruguay and its Foreland Domain, the Rio de la Plata Craton, framework, tectonic evolution and correlation with similar provinces of Southwestern Africa. In: Cordani, U., Milani, E.J. & Campos, D.A. (Org.). *Tectonic Evolution of South American Platform*. Rio de Janeiro, SBG, v. 1, p. 311-334.
- Basei, M.A.S.; Frimmel, H.E.; Nutman, A.P.; Preciozzi, F.; Jacob J. 2005. A connection between the Neoproterozoic Dom Feliciano (Brazil/Uruguay) and Gariep (Namibia/South Africa) orogenic belts – evidence from a reconnaissance provenance study. *Precambrian Research*, 139: 195-221.
- Basei, M.A.S., Peel, E., Sánchez-Betucci, L., Preciozzi, F. & Nutman, A. 2011. The basement of the Punta del Este Terrane (Uruguay): an African Mesoproterozoic fragment at the eastern border of the South American Río de La Plata craton. *International Journal of Earth Sciences*, 100: 289-304.
- Bhatia, M. R. 1983. Plate tectonics and geochemical composition of sandstone. *The Journal of Geology*, 91, No. 6, pp. 611-627.
- Beloni, M.S., Porcher, C.C., Koester, E., Ramos, R.C., Lana, C., Wegner, A.C. 2016. Caracterização U/Pb de zircão detritico e geoquímica isotópica (Sm/Nd) em rocha-total dos xistos e quartzitos de Arroio Grande – RS. In: XLVIII Congresso Brasileiro de Geologia, Porto Alegre, Anais.
- Bitencourt, M.F., Nardi, L.V.S. 2000. Tectonic setting and sources of magmatism related to the

- Southern Brazilian Shear Belt. *Revista Brasileira de Geociências*, 30(1): 186-189.
- Bitencourt, M.F. 1983. Metamorfitos da região de Caçapava do Sul, RS - Geologia e relações com o corpo granítico. In: I Simpósio Sul-brasileiro de Geologia, 1983, Porto Alegre. Atas do I Simpósio Sul-brasileiro de Geologia. Porto Alegre: Sociedade Brasileira de Geologia, 1983. v. 1. p. 34-38.
- Blanco, G., Rajesh, H.M., Gaucher, C. & Chemale Jr., F. 2011. Provenance of the Arroyo del Soldado Group (Ediacaran to Cambrian, Uruguay): implications for the paleogeographic evolution of southwestern Gondwana. *Precambrian Research*, 171(1/4): 57-73.
- Bossi, J. & Gaucher, C. 2004. The Cuchilla Dionisio Terrane, Uruguay: An allochthonous block accreted in the Cambrian to SW-Gondwana. *Gondwana Research*, 7(3): 661-674.
- Brito-Neves, B.B., Fuck, R.A. & Pimentel, M.M. 2014. The Brasiliano collage in South America: a review. *Brazilian Journal of Geology*, 44(3): 493-518.
- Chemale Jr., F. 2000. Evolução geológica do Escudo Sul-Rio-Grandense. In: Holz, M. & De Ros, L.F. (Eds.). *Geologia do Rio Grande do Sul*. Porto Alegre, edição CIGO/UFRGS, p. 13-52.
- Cruz, R.F., Iglesias, C.M.F., Camozzato, E. 2016. Mapeamento geológico do sudeste do Rio Grande do Sul, descrição de novas unidades geológicas em novo domínio geotectônico no extremo sul do estado. In: XLVIII Congresso Brasileiro de Geologia, Porto Alegre, Resumos.
- Cruz, R.F. 2019. Projeto Sudeste do Rio Grande do sul: escalas 1:250.000 e 1:100.000; estado do Rio Grande do Sul. Porto Alegre: CPRM, 2019. 173 p.: il. color.
- DePaolo, D.J. 1981. A neodymium and strontium isotopic study of the Mesozoic calc-alkaline granitic batholiths of the Sierra Nevada and Peninsular Ranges, California, J. Geophys. Res., 86(B11), 10470–10488
- Farina, F., Albert, C., Lana, C., 2015. The Neoarchean transition between medium- and high-K granitoids: Clues from the Southern São Francisco Craton (Brazil). *Precambrian Research*, v. 266, p. 375-394, 2015
- Fedo, C. M., Sircombe, K., Rainbird, R., 2003. Detrital zircon analysis of the sedimentary record. In: Hanchar, Jonh M. & Hoskin, Paul W. O.; Zircon: Reviews in mineralogy & geochemistry. V. 53; cap 10.
- Fernandes, L.A.D., Menegat, R., Costa, A.F.U., Koester, E., Porcher, C.C., Tommasi, A., Kraemer, G., Ramgrab, G.R. & Camozzato, E. 1995a. Evolução tectônica do Cinturão Dom Feliciano no Escudo Sulriograndense: Parte II – Uma contribuição a partir das assinaturas geofísicas. *Revista Brasileira de Geociências*, 25(4): 351-374.
- Fernandes, L.A.D., Menegat, R., Costa, A.F.U., Koester, E., Porcher, C.C., Tommasi, A., Kraemer, G., Ramgrab, G.R. & Camozzato, E. 1995b. Evolução tectônica do Cinturão Dom Feliciano no Escudo Sulriograndense: Parte II – Uma contribuição a partir das assinaturas geofísicas. *Revista Brasileira de Geociências*, 25(4): 375-384.
- Festa, A., Pini, G.A., Dilek, Y., Codegone G. 2010. Mélange and mélange-forming process: a historical overview and new concepts. *International Geology Review*, 52 (2010), pp. 1040-1105
- Fragoso-César, A.R.S.; Figueiredo, M.C.H.; Soliani Jr., E.; Faccini, U.F. 1986. O Batólito Pelotas (Proterozoico Superior/Eo-Paleozóico) no Escudo do Rio Grande do Sul. In: Congresso Brasileiro de Geologia, 34, 1986, Goiânia. Anais. Goiânia, SBG, v. 3, p. 1322-1343.
- Fragoso-César, A.R.S. Tectônica de placas no Ciclo Brasiliano: as orogenias dos cinturões Dom Feliciano e Ribeira no Rio Grande do Sul. 1991. 362 f. Tese (Doutorado) - Instituto de Geociências, Universidade de São Paulo, São Paulo, 1991.
- Frimmel, H.E., Basei, M.A.S. & Gaucher, C. 2011. Neoproterozoic geodynamic evolution of SW Gondwana: a southern African perspective. *International Journal of Earth Sciences*, 100: 323-354.
- Gaucher, C., Frimmel, H.E. & Germs, G.J.B. 2009. Tectonic events and palaeogeographic evolution of Southern Gondwana in the Neoproterozoic and Cambrian. In: Gaucher, C., Sial, A.N., Halverson, G.P. & Frimmel, H.E. (Eds.). Neoproterozoic-Cambrian tectonics, global change and evolution: a focus on southwestern Gondwana. Elsevier, *Developments in Precambrian Geology*, 16: 295-316.
- Gehrels, G., 2014. Detrital Zircon U-Pb Geochronology Applied to Tectonics. The Annual Review of Earth and Planetary Sciences, 2014. 42: p 127-149.

- Gerhard, N.P. 2015. Aspectos de campo e petrográficos das intrusões máficas e félsicas nos Mármore Matarazzo, sudeste do Cinturão Dom Feliciano, RS. Monografia de Graduação, Instituto de Geociências, Universidade Federal do Rio Grande do Sul, 63p.
- Gray, D.R., Foster, D.A., Meert, J.G., Goescombe, B.D., Armstrong, R., Trouw, R.A.J. & Passchier, C.W. 2008. A Damara orogen perspective on the assembly of southwestern Gondwana. In: Pankhurst, R.J., Trouw, R.A.J., Brito-Neves, B.B. & De Wit, M.J. (Eds.). West Gondwana: Pre-Cenozoic correlations across the South Atlantic Region. *Geological Society of London, Special Publication*, 294: 257-278.
- Gruber, L., Porcher, C.C., Koester, E., Bertotti, A.L., Lenz, C., Fernandes, L.A.D. & Remus, M.V.D. 2016. Isotope geochemistry and geochronology of syn-depositional volcanism in Porongos Metamorphic Complex, Santana da Boa Vista Antiform, Dom Feliciano Belt, Brazil: onset of an 800 Ma continental arc. *Journal of Sedimentary Environments*, 1(2): 202-221.
- Hartmann, L.A., Chemale Jr., F., Philipp, R.P. 2007. Evolução geotectônica do Rio Grande do Sul no Pré-Cambriano. In: Ianuzzi, R.; Frantz, J.C. (Eds.). 50 Anos de Geologia: Instituto de Geociências. Contribuições. Porto Alegre, Comunicação e Identidade, p. 97-123.
- Hartmann, L.A., Lopes, W.R., Savian, J.F. 2016. Integrated evaluation of the geology, aerogammaspectrometry and aeromagnetometry of the Sul-Riograndense Shield, southernmost Brazil. *Annals of the Brazilian Academy of Sciences*, 88(1): 75-92.
- Höfig, D.F., Marques, J.C., Basei, M.A.S., Giusti, R.O., Kohlrausch, C., Frantz, J.C., 2018. Detrital zircon geochronology (U-Pb LA-ICP-MS) of syn-orogenic basins in SW Gondwana: new insights into the Cryogenian-Ediacaran of porongos complex, Dom Feliciano belt, southern Brazil. *Precambrian Res.* 306, 189–208.
- Iglesias, C. M. F. Geologia e recursos minerais da Folha Passo São Diogo, SH.22-Y-C-IV: Escala 1:100.000, estado do Rio Grande do Sul. Porto Alegre: CPRM, 2018.
- Ingersoll, R. V. (2011) Tectonics of Sedimentary Basins, with Revised Nomenclature, in Tectonics of Sedimentary Basins: Recent Advances (eds C. Busby and A. Azor), John Wiley & Sons, Ltd, Chichester, UK. doi: 10.1002/9781444347166.ch1
- Klein, F. G., Koester, E., Vieira, D. T., Porcher, C. C., Ramos, R. C. & Philipp, R. P. Geologia do Granito Três Figueiras: magmatismo peraluminoso de 585 Ma no sudeste do Cinturão Dom Feliciano. *Pesquisas em Geociências*, submetido.
- Koester, E., Porcher, C. C., Pimentel, M. M., Fernandes, L. A. D., Vignol-Lelarge, M. L., Oliveira, L. D., Ramos, R. C. 2016. Further evidence of 777 Ma subduction-related continental arc magmatism in Eastern Dom Feliciano Belt, southern Brazil: The Chácara das Pedras Orthogneiss. *Journal of South American Earth Sciences*, 68: 155-166.
- Lenz, C., Porcher, C. C., Fernandes, L. A. D., Masquelin, H., Koester, E. & Conceição, R. V. 2013. Geochemistry of the Neoproterozoic (800-767 Ma) Cerro Bori orthogneisses, Dom Feliciano Belt in Uruguay: tectonic evolution of an ancient continental arc. *Mineralogy and Petrology*, 107(5): 785-806.
- Lopes C. G., Pimentel, M. M. Philipp, R. P., Gruber, L., Armstrong, R., Junges, S. L., 2015Provenance of the Passo Feio complex, São Gabriel terrane, Dom Feliciano belt, southern Brazil, implications for the tectonic setting of deposition, age of the São Gabriel Arc and origin of Paleoarchean detrital zircons (3.3-3.63 Ga). *Journal South America Earth Science.*, 58 (2015), pp. 9-17.
- Loureiro, P., Koester, E., Weinberg, R. F., Porcher, C. C., Pimentel, M. M., Knijnik, D. Magmatic Evolution Of Pinheiro Machado Complex In Monte Bonito Region, Southern, Brazil. In: The 8th Hutton Symposium on Granites and Related Rocks, 2015, Florianópolis SC. Books of Abstracts p. 125.
- Ludwig, K. R., 2012. Programa IsoplotEx 4. Berkeley Geochronology Center. Disponível em: [http://www.bgc.org/isoplot\\_etc/isoplot.html](http://www.bgc.org/isoplot_etc/isoplot.html). Acesso em novembro de 2015.
- Machado, R., Philipp, R. P. & Mello, F. 1995. Reconhecimento de zonas de cisalhamento dúcteis de alto ângulo com cinemática superposta na extremidade sul do Batólito Pelotas, RS. In: Simpósio Nacional de Estudos Tectônicos, 5, 1995, Gramado. *Boletim de Resumos Expandidos*, p. 52-53.

- Marsaglia, K. M. (2011) Sedimentation at Plate Boundaries in Transition, in Tectonics of Sedimentary Basins: Recent Advances (eds C. Busby and A. Azor), John Wiley & Sons, Ltd, Chichester, UK. doi: 10.1002/9781444347166.ch14
- Masquelin, H., Fernandes, L. A. D., Lenz, C., Porcher, C. C. & McNaughton, N. J. 2012. The Cerro Olivo Complex: a pre-collisional Neoproterozoic magmatic arc in Eastern Uruguay. *International Geology Review*, 54: 1161-1183.
- Neis, L. P. 2017. *Aplicação da razão 87Sr/86Sr e geoquímica em mármores do Escudo Sulriograndense*. Porto Alegre, 80p. Dissertação de Mestrado, Programa de Pós-graduação em Geociências, Instituto de Geociências, Universidade Federal do Rio Grande do Sul.
- Passchier, C. W., Trouw, R. A. J. 2005. Microtectonics. 2 ed. Springer, Alemanha.
- Passchier, C., Trouw, R., Schmitt, R.S. 2016. How to make a transverse triple junction - New evidence for the assemblage of Gondwana along the Kaoko-Damara belts, Namibia. *Geology*, October 2016; v. 44; no. 10; p. 843–846.
- Peel, E., Sánchez-Bettucci, L., Basei, M.A.S., 2018. Geology and geochronology of Paso del Dragón Complex (northeastern Uruguay): implications on the evolution of the Dom Feliciano Belt (Western Gondwana). *J. South Am. Earth Sci.* 85, 250–262.
- Philipp, R. P., Machado, R., Nardi, L. V. S., Lafon, J. M., 2002. O magmatismo granítico Neoproterozóico do Batólito Pelotas no sul do Brasil: novos dados e revisão de geocronologia regional. *Rev. Bras. Geociencias* 32 (2), 277–290.
- Philipp, R. P. & Machado, R. 2002. Ocorrência e significado dos septos do embasamento encontrados nas suítes graníticas do Batólito Pelotas, RS, Brasil. *Pesquisas em Geociências*, 29(1): 43-60.
- Philipp, R. P., Pimentel, M. M. & Chemale Jr., F. 2016. Tectonic evolution of the Dom Feliciano Belt in Southern Brazil: geological relationships and U-Pb geochronology. *Brazilian Journal of Geology*, 46(1): 83-104.
- Ramos, R. C., Koester, E. 2014. Geologia da associação metamáfica-ultramáfica da região de Arroio Grande, sudeste do Escudo Sul-Rio-Grandense. *Pesquisas em Geociências*, 41(1): 25-38.
- Ramos, R. C.; Koester, E. 2013. O Complexo Ofiolítico Arroio Grande, sudeste do Escudo Sul-Rio-Grandense. In: VIII Simpósio Sul-brasileiro de Geologia, Porto Alegre, Resumos
- Ramos, R. C. & Koester, E. 2015. Lithogeochemistry of the meta-igneous units from Arroio Grande Ophiolitic Complex, southernmost Brazil. *Brazilian Journal of Geology*, 45(1): 65-78.
- Ramos, R. C., Koester, E. & Porcher, C. C. 2017. Chemistry of chromites from Arroio Grande Ophiolite (Dom Feliciano Belt, Brazil) and their possible connection with the Nama Group (Namibia). *Journal of South American Earth Sciences*, 80:192-206.
- Ramos, R. C., Koester, E., Vieira, D. T., Porcher, C. C., Gezatt, J. N. & Silveira, R. L. 2018. Insights on the evolution the Arroio Grande Ophiolite (Dom Feliciano Belt, Brazil) from Rb-Sr and SHRIMP U-Pb isotopic geochemistry. *J. South Am. Earth Sci.*, 86 (2018), pp. 38-53
- Ramos, R. C., Koester, E., Vieira, D. T. 2019. Plagioclase-hornblende geothermobarometry of metamafites from the Arroio Grande Ophiolite, Dom Feliciano Belt, southernmost Brazil. *Journal of South American Earth Sciences*, Vol: 95, Page: 102262. 2019
- Remus, M. V. D., McNaughton, N. J., Hartmann, L. A., Koppe, J. C., Fletcher, I. R., Groves, D. I., Pinto, V. M. 1999. Gold in the Proterozoic juvenile Bossoroca Volcanic Arc of southermost Brazil: isotopic constraints on timing and sources. *Journal of South American Earth Sciences*, 12: 349-366.
- Saalmann, K., Remus, M. V. D., Hartmann, L. A. 2006. Structural evolution and tectonic setting of the Porongos belt, southern Brazil. *Geological Magazine*, 143(1): 59-88.
- Saalmann, K., Gerdes, A., Lahaye, Y., Hartmann, L. A., Remus, M. V. D. & Läufer, A. 2011. Multiple accretion at the eastern margin of the Rio de la Plata craton: the prolonged Brasiliense orogeny in southernmost Brazil. *International Journal of Earth Sciences*, 100: 355-378.
- Santos, J. O. S., Chernicoff, C. J., Zappettini, E. O., McNaughton, N. J. & Hartmann, L. A. 2017. Large geographic and temporal extensions of the Río de la Plata Craton, South America, and its metacratonic eastern margin. *International Geology Review*,
- Silva, L. C. 1999. Geocronologia U-Pb SHRIMP e Sm-Nd na Província Mantiqueira meridional, no

- Cinturão Saldanha (África do Sul) e a evolução do Ciclo Brasiliano/Pan-Africano. Tese de Doutoramento, Instituto de Geociências, Universidade Federal do Rio Grande do Sul, Porto Alegre, 243p.
- Silva, L. C., McNaughton, N. J., Armstrong, R., Hartmann, L. A., Fletcher, I. R. 2005a. The Neoproterozoic Mantiqueira Province and its African connections: a zircon-based U-Pb geochronologic subdivision for the Brasiliano/Pan-African systems of orogens. *Precambrian Research*, 136: 203-240.
- Soliani Jr., E., 1986. Os dados geocronológicos do Escudo Sul-rio-grandense e suas implicações de ordem geotectônica. PhD thesis. Universidade de São Paulo, São Paulo, p. 425.
- Stipp, M., Holger, S., Renée, H., Stefan, M. S. 2002. *The eastern Tonale fault zone: a 'natural laboratory' for crystal plastic deformation of quartz over a temperature range of 250 to 700°C*. *Journal of Structural Geology*, 24: 1861–1884.
- Tambara, G., Koester, E., Ramos, R., Porcher, C., Vieira, D., Fernandes, L., & Lenz, C. (2019). *Geoquímica e geocronologia dos Gnaisses Piratini: magmatismo cálcio-alcalino médio a alto-K de 784 Ma (U-Pb SHRIMP) no SE do Cinturão Dom Feliciano (RS, Brasil)*. Pesquisas em Geociências, 46(2). doi: <https://doi.org/10.22456/1807-9806.95466>
- Van Achterbergh, E., Ryan, C. G., Jackson, S. E., Griffin, W. L. (2001). Data reduction software for LA-ICP-MS: appendix. In: P. J. Sylvester (Ed.), *Laser Ablation-ICP Mass Spectrometry in the Earth Sciences: Principles and Applications* (vol. 29, 239-243). Ottawa: Mineralog. Assoc. Canada (MAC) Short Course Series.
- Vieira, D. T., Koester, E., Porcher, C. C., 2016a. Magmatismo Neoproterozoico (680 Ma) no sudeste do Escudo Sul-RioGrandense: U-Pb e Lu-Hf LA-MC-ICP-MS em zircão. In: 48th Congresso Brasileiro de Geologia, Porto Alegre. Proceedings, ID 8889.
- Vieira, D. T., Koester, E., Ramos, R. C., Porcher, C. C. 2019. Sr-Nd-Hf isotopic constraints and U-Pb geochronology of the Arroio pedrado gneisses, Dom Feliciano belt, Brazil: a 680 Ma shoshonitic event in the final stages of the Piratini Arc evolution. *Journal of South American Earth Sciences*, Volume 95, 2019.

## COMPLEMENTOS:

## A) TABELA DE DADOS DE ELEMENTOS MAIORES E TRAÇOS

	Arroio Grande										Metagrauvaca	
	Xistos					Quartzitos						
	PF-56 LAB421	PQX – 04 LAB431	PU – 01 LAB432	PQX – 02 LAB433	PQX – 08 LAB435	PF - 29 LAB424	PU – 34 LAB426	PQX – 05 LAB428	PQX – 03 LAB434	PF – 24 LAB427		
<b>SiO<sub>2</sub></b>	73,46	72,39	66,54	67,74	65,25	72,44	98,94	98,85	96,51	71,64		
<b>Al<sub>2</sub>O<sub>3</sub></b>	12,20	12,74	16,03	15,54	16,77	12,97	0,31	0,26	1,81	12,70		
<b>TiO<sub>2</sub></b>	0,86	0,94	1,07	0,98	1,15	0,85	0,01	nd	0,04	0,70		
<b>Fe<sub>2</sub>O<sub>3</sub></b>	5,89	6,36	8,13	7,33	7,61	6,76	nd	nd	0,51	5,53		
<b>MnO</b>	0,07	0,06	0,02	0,03	0,02	0,15	nd	nd	nd	0,09		
<b>MgO</b>	1,47	1,35	1,30	1,28	1,55	1,46	nd	nd	nd	2,42		
<b>CaO</b>	0,74	0,56	nd	nd	nd	0,84	nd	nd	nd	2,18		
<b>Na<sub>2</sub>O</b>	0,51	0,26	nd	nd	nd	1,18	nd	nd	nd	1,91		
<b>K<sub>2</sub>O</b>	2,98	2,74	2,73	3,89	2,88	2,05	nd	nd	0,23	2,00		
<b>P<sub>2</sub>O<sub>5</sub></b>	0,09	0,06	0,02	0,02	0,04	0,10	nd	nd	nd	0,12		
<b>LOI</b>	2,04	2,98	4,97	4,24	5,67	1,61	0,16	0,21	0,90	0,98		
<b>Total</b>	<b>100,31</b>	<b>100,44</b>	<b>100,79</b>	<b>101,05</b>	<b>100,93</b>	<b>100,40</b>	<b>99,42</b>	<b>99,33</b>	<b>100,00</b>	<b>100,26</b>		
<b>Y</b>	54,6	68,9	90,7	68,8	62,6	51,4	0,1	0,1	2,6	29,4		
<b>Pb</b>	11,7	11,1	12,3	11,1	12,8	22,7	1,9	1,9	0,7	18,8		
<b>Ni</b>	18,8	19,2	46,0	19,3	25,9	21,5	nd	nd	1,2	27,1		
<b>Co</b>	31,7	34,8	42,7	38,1	41,0	33,4	nd	nd	2,3	28,0		
<b>Cu</b>	11,5	3,5	47,7	69,1	69,1	7,6	2,3	nd	1,6	31,4		
<b>Ga</b>	12,3	15,3	96,5	20,3	20,3	13,7	1,8	nd	1,3	10,8		
<b>Sr</b>	94,2	76,9	20,0	15,5	15,5	140,2	0,3	0,3	0,8	202,9		
<b>Zr</b>	183,3	203,6	178,1	201,5	201,5	192,3	2,8	2,8	14,3	131,7		
<b>Zn</b>	74,5	85,6	120,5	110,4	110,4	73,8	20,9	10,1	15,6	75,5		
<b>Nb</b>	17,0	21,4	24,1	26,3	26,3	17,0	nd	nd	nd	8,5		
<b>Rb</b>	228,6	223,8	428,3	206,8	206,8	153,6	nd	nd	nd	77,4		
<b>As</b>	6,9	8,3	9,5	8,9	8,9	11,6	0,9	0,7	1,2	8,8		
<b>Cr</b>	111,2	95,4	292,4	133,4	133,4	93,2	nd	76,7	1,0	133,1		
<b>Ba</b>	512,0	553,9	523,4	564,7	564,7	374,1	nd	nd	17,9	405,5		

B) TABELA DE DADOS DE Sm/Nd EM ROCHA-TOTAL

Rock Type	Lab Name	Sm (ppm)	Nd (ppm)	147Sm/144Nd	Erro de X (%)	143Nd/144Nd <sub>(t=0)</sub>	erro (ppm)	Epsilon Nd (0)	Epsilon Nd (t)	T <sub>DM</sub>	143Nd/144Nd <sub>(t)</sub>	t
Xisto	PF-56	6,0330	34,4477	0,105884	0,095346	0,511923	7	-13,951707	-7,578501	1574,100126	0,511541	550
	PQX-04	9,7744	60,5844	0,097541	0,103501	0,512005	11	-12,351453	-5,388762	1355,76935	0,511653	550
	PU-01	6,9555	40,3153	0,104308	0,096787	0,511984	9	-12,765512	-6,279699	1467,760798	0,511608	550
	PQX-02	8,4344	49,6065	0,102796	0,098211	0,512038	8	-11,695821	-5,102073	1373,619336	0,511668	550
	PQX-08	6,8023	38,3089	0,107353	0,094042	0,511929	6	-13,829667	-7,559658	1586,801539	0,511542	550
Quartzito	PF-29	5,1495	28,4610	0,109389	0,092292	0,511875	8	-14,887694	-8,762438	1696,344578	0,511481	550
	PQX-03	0,6099	3,2680	0,112823	0,089482	0,512320	20	-6,200659	-0,305101	1090,539112	0,511914	550
Metagravaca	PF-24	3,7678	19,0504	0,119577	0,084428	0,512379	28	-5,054438	0,367260	1074,123297	0,511948	550

### C) TABELA DE DADOS U/Pb EM ZIRCÃO DETRÍTICO

#### PF – 24 (METAGRAUWACA)

	Ph206*	Ph207*	Th/U	207/206	1s	206/238	1s	207/235	1s	206/207	206/238	207/235	208/232	Conc	207/235	206/238	RHO	
5.sSMPABC024	129262.0363	8635.70941	0.163447473	0.0671	0.00082	0.15314	0.00139	1,41644	0.01579	840,8790324	25,3	918,5	7,76	895,9	6,63	830,8	6,91	102,4605335
5.sSMPABC071	11233	682	0.37893772	0.06046	0.00284	0.1096	0.00152	0.9136	0.0416	620,077548	98,14	670,4	8,82	659	22,07	533,6	17,92	101,7004773
5.sSMPABC022	108998.6575	7329.533585	0.247489705	0.06568	0.00072	0.14017	0.00121	1,26916	0.01224	796,1941146	22,96	845,6	6,82	832	5,48	758,7	4,24	101,6083254
5.sSMPABC013	86039,72943	5850,68413	0.209967133	0.06903	0.0008	0.15384	0.00134	1,46405	0.01503	899,6367695	23,79	922,5	7,47	915,7	6,19	819,1	5,62	100,7371274
5.sSMPABC015	13604,32833	8666,6323245	0.435552658	0.06934	0.00167	0.15463	0.00157	1,47832	0.03347	908,8718039	48,72	926,9	8,74	921,5	13,71	983,3	14,09	100,5825871
5.sSMPABC060	77636,47867	4746,409576	0.460487511	0.06145	0.00073	0,10973	0.00096	0,92965	0.00987	655,0227778	25,35	671,2	5,56	667,4	5,19	565,6	3,08	100,5661502
5.sSMPABC059	14094,29962	847,5129975	0.134304852	0.06454	0.00178	0.12792	0.00137	1,13835	0.03009	759,3761082	56,98	776	7,8	771,7	14,29	1516,5	29,97	100,5541237
5.sSMPABC042	53217	3599	0.270587893	0.06627	0.00098	0.13639	0.00117	1,24597	0.01648	814,9153068	30,55	824,2	6,64	821,6	7,45	754,8	7,48	100,3154574
5.sSMPABC020	64332,51059	4401,149728	0.54688123	0.06639	0.00078	0.13554	0.00118	1,24054	0.01301	818,6958085	24,5	819,4	6,69	819,1	5,9	754,6	3,8	100,0366122
5.sSMPABC023	194194,2359	23986,72533	0,268950403	0,12106	0,00127	0,3568	0,00296	5,95456	0,0522	1971,905848	18,56	1967	14,08	1969,2	7,62	1756,9	9,33	99,88815455
5.sSMPABC041	64450	4341	0,168864632	0,06652	0,0011	0,13489	0,00132	1,23701	0,01913	822,7810881	33,99	815,7	7,51	817,5	8,68	754,3	10,36	99,77933064
5.sSMPABC092	19247,80734	872,9302375	0,198689074	0,06226	0,00113	0,11059	0,00102	0,94957	0,0162	683,0515496	38,22	676,2	5,95	677,9	8,44	627,8	9,03	99,74859509
5.sSMPABC028	24746	1733	0,065718858	0,06552	0,00252	0,13	0,00178	1,1769	0,04377	791,0784427	78,64	787,9	10,14	789,9	20,42	1269,6	52,48	99,74616068
5.sSMPABC094	170782,55571	27028,01822	0,234335492	0,14947	0,00248	0,43424	0,00411	8,94563	0,14033	2339,871645	28,13	2324,8	18,5	2323,5	14,33	1961,8	29,34	99,6678871
5.sSMPABC091	38989,17944	5068,639152	0,51515636	0,1217	0,00302	0,35584	0,00427	5,95896	0,14251	1981,297754	43,55	1962,4	20,3	1969,9	20,79	1736,7	37,34	99,61781492
5.sSMPABC050	26810	1737	0,158061902	0,06365	0,00116	0,11745	0,00106	1,03055	0,01734	730,0208795	38,1	715,9	6,13	719,2	8,67	268,6	14,43	99,59304177
5.sSMPABC086	298680,3224	39921,73026	0,167617397	0,13293	0,00142	0,38862	0,00336	7,12928	0,06612	213,0278278	18,55	2116,4	15,58	2126,9	8,27	2002,6	10,84	99,5038745
5.sSMPABC038	20194,89467	1179,963337	0,383567818	0,07093	0,00166	0,15637	0,00159	1,52915	0,03355	955,3968024	47,16	936,6	8,88	942,2	13,47	639,6	14,38	99,40209268
5.sSMPABC026	60363	4218	0,454202118	0,06823	0,001	0,14201	0,0012	1,33567	0,01725	875,5487779	29,94	856	6,78	861,3	7,5	741,7	6,31	99,38084112
5.sSMPABC087	139508	10173	0,25397975	0,07258	0,00084	0,16448	0,00141	1,64631	0,01678	1002,249177	23,41	981,6	7,83	988,1	6,44	784,5	5,14	99,33781581
5.sSMPABC043	86662	5931	0,027503051	0,06753	0,00082	0,13744	0,00121	1,27966	0,01387	854,1626952	25,06	830,2	6,83	836,7	6,18	612,1	15,62	99,21705613
5.sSMPABC027	61111	3933	0,195614344	0,06311	0,00079	0,11274	0,00098	0,98105	0,01091	711,9395047	26,35	688,7	5,67	694,1	5,59	545,5	5,24	99,21591404
5.sSMPABC089	77498,77586	4691,682557	0,254658889	0,06493	0,00079	0,12315	0,00108	1,10267	0,01204	772,0690562	25,49	748,7	6,19	754,6	5,81	632,5	4,56	99,21196741
5.sSMPABC035	77188	4968	0,208860962	0,06283	0,00074	0,11057	0,00096	0,95767	0,00995	702,4817324	24,73	676	5,59	682,1	5,16	585,8	4,02	99,09763314
5.sSMPABC014	127893,0379	8456,578678	0,466362895	0,06414	0,0008	0,11784	0,00095	1,04197	0,01108	746,2504236	26,2	718,1	5,48	724,9	5,51	662,1	4,17	99,05305668
5.sSMPABC072	75714,16357	5543,8845359	0,231889035	0,07547	0,00101	0,17674	0,02193	1081,0459459	0,01764	1049,1	26,74	1049,1	8,32	1059,6	7,84	917,5	8,81	98,99914212
5.sSMPABC046	7976	616	0,54903688	0,07246	0,00063	0,15521	0,00413	1,52397	0,12391	998,8890122	162,81	930,1	23,05	940,1	49,85	1169,5	57,93	98,92484679
5.sSMPABC093	22242,19273	1486,164941	0,263330503	0,06395	0,00181	0,11632	0,00129	1,02616	0,02781	739,9771713	58,62	709,3	7,47	717	13,94	1119,7	20,99	98,91442267
5.sSMPABC017	81112,54724	5327,393138	0,455789172	0,06661	0,00079	0,13034	0,00113	1,19695	0,01252	825,6031326	24,55	789,8	6,43	799,2	5,79	740,9	4,03	98,89082527
5.sSMPABC051	74963	5104	0,264619472	0,06726	0,00086	0,1338	0,0012	1,24062	0,01427	845,8349739	26,23	809,5	6,82	819,2	6,47	685,7	5,21	98,80172946
5.sSMPABC039	30585,1046	2495,885139	0,394160051	0,07346	0,000232	0,16435	0,00204	1,66216	0,04982	1026,670292	62,55	980,9	11,31	994,2	19	901,9	21,59	98,64410235
5.sSMPABC040	36176	2366	0,220446655	0,06422	0,00088	0,15854	0,00103	1,02556	0,01283	748,884333	28,83	706,6	5,94	716,7	6,43	603	5,83	98,57061987
5.sSMPABC064	41016,41367	2821,180365	0,18159665	0,06993	0,00093	0,14588	0,00129	1,40575	0,01682	926,2984218	27,04	877,4	7,27	891,4	7,1	775,2	7,98	98,40437671
5.sSMPABC052	71944,2143	4557,319111	0,145898408	0,06428	0,00077	0,11532	0,001	1,0219	0,01082	750,8586767	25,03	703,6	5,79	714,9	5,43	602,5	5,25	98,39397385
5.sSMPABC065	12909	855	0,162318711	0,06552	0,00151	0,122	0,00118	1,10208	0,02435	791,0784427	47,68	742,1	6,79	754,4	11,76	642,6	15,85	98,34254144
5.sSMPABC037	7299	475	0,196198803	0,06379	0,00072	0,11126	0,00132	0,97842	0,04071	734,6749807	87,94	680,1	7,67	692,8	20,89	774,5	25,8	98,13262755
5.sSMPABC083	23402	1884	0,227969256	0,08051	0,00153	0,19479	0,00194	2,16228	0,03856	1209,509411	36,97	1147,3	10,48	1169	12,38	1034,2	17,42	98,10860212
5.sSMPABC063	88527,97241	5701,201122	0,683460068	0,06413	0,00078	0,11292	0,001	0,99833	0,01092	745,9207848	25,61	689,7	5,77	703	5,55	610,4	3,23	98,07162534
5.sSMPABC021	78397,9471	5273,574427	0,179135926	0,06773	0,00077	0,13241	0,00115	1,23638	0,01241	860,3029176	23,49	801,6	6,53	817,2	5,64	713,9	5,01	98,05389222
5.sSMPABC090	43814,59042	2655,770799	0,076178085	0,06364	0,00087	0,10988	0,00098	0,96434	0,01202	729,6879171	28,74	672,1	5,68	685,5	6,21	571,6	10,01	98,00624907
5.sSMPABC074	323718	39404	0,056363849	0,12047	0,00127	0,33916	0,00293	5,63339	0,05175	1963,194383	18,72	1882,6	14,09	1921,2	7,92	1480,5	11,38	97,94964411
5.sSMPABC048	104558	6996	0,132762496	0,06555	0,00084	0,11898	0,00099	1,0752	0,01193	792,0389019	26,52	724,7	5,71	741,3	5,84	664,8	6,75	97,70939699
5.sSMPABC047	115941,3405	7252,010369	0,208967666	0,06441	0,00071	0,11259	0,00097	0,9999	0,0069	755,1222584	23,17	687,8	5,63	703,8	4,92	584,8	3,43	97,67374237
5.sSMPABC088	77951	5190	0,090058986	0,06619	0,00081	0,12234	0,00107	1,11671	0,01228	812,38988	25,48	744	6,17	761,4	5,89	675,8	7,55	97,66129032
5.sSMPABC073	197069	15246	0,345977407	0,0768	0,00109	0,17463	0,00159	1,84861	0,02394	1116,001145	28,05	1037,6	8,75	1062,9	8,53	854,8	7,89	97,5616808
5.sSMPABC045	52200,69282	3781,333233	0,240457387	0,0748	0,00092	0,16293	0,00143	1,680										

## PF – 29 (QUARTZITO)

	Pb206*	Pb207*	Th/U	207/206	1s	206/238	1s	207/235	1s	206/207		206/238		207/235		208/232		Conc	207/235	206/238		RHO	
5.sSMPABC121	43939,78381	2517,934417	0,083208449	0,06387	0,00106	0,12541	0,0011	1,1044	0,01671	737,3283071	34,64	761,6	6,3	755,5	8,06	657,2	15,83	100,8009454	1,1044	0,01671	0,12541	0,0011	0,579709564
5.sSMPABC109	11379	686	0,418461238	0,05955	0,00229	0,09758	0,00116	0,80114	0,02979	587,2627362	81,36	600,2	6,81	597,5	16,79	608,7	13,34	100,44985	0,80114	0,02979	0,09758	0,00116	0,319694444
5.sSMPABC073	37077,6889	2298,751277	0,310351029	0,06115	0,00116	0,10595	0,00103	0,8933	0,01583	644,5144611	40,1	649,2	6,01	648,1	8,49	556,5	7,06	100,1694393	0,8933	0,01583	0,10595	0,00103	0,548596058
5.sSMPABC101	44776	2754	0,234188981	0,05951	0,00123	0,09569	0,00097	0,78549	0,01544	585,8046587	44,36	589,1	5,73	588,6	8,78	502,9	8	100,0848752	0,78549	0,01544	0,09569	0,00097	0,515701678
5.sSMPABC060	260080	29661	0,060493574	0,11251	0,00127	0,33051	0,00283	5,12646	0,04992	1840,350037	20,25	1840,9	13,73	1840,5	8,27	1617,5	18,21	100,0217285	5,12648	0,04992	0,33051	0,00283	0,879319131
5.sSMPABC018	68061	5857	0,155347314	0,08456	0,00098	0,22292	0,00184	2,59874	0,02553	1305,46764	22,4	1297,3	9,71	1300,3	7,2	1108,5	10,12	99,76875048	2,59874	0,02553	0,22292	0,00184	0,840196378
5.sSMPABC090	38746	5201	0,170410664	0,13214	0,00235	0,38763	0,00389	7,06346	0,11464	2126,597795	30,79	2111,8	18,05	2119,5	14,44	1869,3	41,69	99,63538214	7,06346	0,11464	0,38763	0,00389	0,61832034
5.sSMPABC013	19045,40236	1142,960224	0,231161594	0,06492	0,00127	0,1241	0,00118	1,11068	0,02027	771,7448728	40,72	754,1	6,76	758,5	9,75	621,8	10,41	99,41652301	1,11068	0,02027	0,1241	0,00118	0,521009244
5.sSMPABC058	123650	10639	0,163265779	0,08522	0,00166	0,22219	0,00214	2,61063	0,04699	1320,549307	37,37	1293,4	11,3	1303,6	13,21	1054,3	31,81	99,2113086	2,61063	0,04699	0,22219	0,00214	0,535092845
5.sSMPABC069	15762,53568	1005,057175	0,620477081	0,07201	0,00137	0,1607	0,0015	1,59569	0,02816	986,2231687	38,33	960,7	8,33	968,5	11,02	869,3	8,86	99,18809202	1,59569	0,02816	0,1607	0,0015	0,528912542
5.sSMPABC116	25905	1603	0,425121797	0,06101	0,00123	0,09906	0,00092	0,83341	0,01572	639,5866192	42,89	608,9	5,38	615,5	8,71	518,3	6,52	98,91607817	0,83341	0,01572	0,09906	0,00092	0,492374632
5.sSMPABC070	3398,260684	143,8479147	0,757322306	0,06117	0,00369	0,09917	0,0015	0,8363	0,04934	645,2171889	124,73	609,5	8,8	617,1	27,28	622,7	13,8	98,75307629	0,8363	0,04934	0,09917	0,0015	0,256373952
5.sSMPABC114	18932	1753	0,296852135	0,09126	0,00223	0,24322	0,0027	3,06053	0,07023	1452,03375	45,85	1403,4	14,03	1422,9	17,56	1137,6	27,69	98,61051732	3,06053	0,07023	0,24322	0,0027	0,483769465
5.sSMPABC068	61089	3658	0,489283959	0,05889	0,00087	0,09207	0,00078	0,74746	0,0098	563,0318537	31,46	567,7	4,58	566,8	5,69	502,8	3,94	100,1585344	0,74746	0,0098	0,09207	0,00078	0,646157427
5.sSMPABC094	46194	2955	0,00583517	0,06269	0,00111	0,1044	0,001	0,90254	0,01482	697,731508	37	640,2	5,82	653,1	7,91	2612,8	117,56	97,98500469	0,90254	0,01482	0,1044	0,001	0,583334626
5.sSMPABC088	7071	439	0,948326846	0,06134	0,00187	0,09645	0,00102	0,81576	0,02394	651,1778203	64,12	593,6	5,97	605,7	13,39	531,8	5,9	97,9615903	0,81576	0,02394	0,09645	0,00102	0,360359686
5.sSMPABC075	48187	5121	0,446044117	0,10421	0,00298	0,28591	0,00384	4,10237	0,11052	1700,415248	51,7	1621,1	19,27	1654,8	21,99	1515,2	35,33	97,92116464	4,10237	0,11052	0,28591	0,00384	0,498535203
5.sSMPABC123	36222	2203	0,469849286	0,06107	0,00135	0,0938	0,00093	0,78985	0,01645	641,7004285	46,77	578	5,48	591,1	9,33	546,5	6,76	97,73356401	0,78985	0,01645	0,0938	0,00093	0,476056863
5.sSMPABC023	41737	2658	0,277481254	0,06263	0,00084	0,1024	0,00086	0,88418	0,01046	695,6913143	28,38	628,5	5,02	643,2	5,64	539,9	4,67	97,66109785	0,88418	0,01046	0,1024	0,00086	0,709916871
5.sSMPABC097	3814,360315	58,19582061	0,548205184	0,06184	0,00242	0,09651	0,00109	0,82295	0,03132	668,5801253	81,52	593,9	6,4	609,7	17,44	493,3	9,49	97,33961946	0,82295	0,03132	0,09651	0,00109	0,296760353
5.sSMPABC111	41183	2638	0,136722403	0,06292	0,00105	0,10265	0,00095	0,89076	0,01376	705,5279167	34,96	629,9	5,57	646,8	7,39	537,4	8,82	97,31703445	0,89076	0,01376	0,10265	0,00095	0,599110491
5.sSMPABC101	57581,95624	2997,131925	0,197541138	0,05884	0,00103	0,09094	0,00086	0,73772	0,012	561,1810592	37,62	561,1	5,08	561,1	7,01	517	7	100	0,73772	0,012	0,09094	0,00086	0,5813716
5.sSMPABC015	27947	3735	0,311849914	0,13073	0,00181	0,36305	0,00337	6,54276	0,08026	2107,793833	24,03	1996,6	15,95	2051,7	10,8	1740,8	20,74	97,24030852	6,54276	0,08026	0,36305	0,00337	0,756702719
5.sSMPABC093	31042	3809	0,930692438	0,12098	0,0019	0,33477	0,00334	5,58473	0,0805	1970,727643	27,76	1861,5	16,11	1913,7	12,41	1572,7	13,88	97,19580983	5,58473	0,0805	0,33477	0,00334	0,692159582
5.sSMPABC014	33732	2299	0,324422119	0,06674	0,00102	0,12167	0,00108	1,11952	0,01543	829,6704659	31,47	740,2	6,2	762,7	7,39	628,1	6,29	96,96028101	1,11952	0,01543	0,12167	0,00108	0,644030119
5.sSMPABC072	17152	1105	0,105722688	0,06346	0,00128	0,10348	0,00096	0,90552	0,01698	723,682533	42,17	634,8	5,64	654,7	9,05	582,5	16,19	96,86515438	0,90552	0,01698	0,10348	0,00096	0,494737892
5.sSMPABC096	16208	1018	0,276054406	0,06228	0,00169	0,09599	0,00105	0,82425	0,02126	683,7373716	56,76	590,8	6,16	610,4	11,83	530,7	10,79	96,68246445	0,82425	0,02126	0,09599	0,00105	0,424090948
5.sSMPABC038	6965	444	0,876615321	0,06267	0,00329	0,09642	0,00159	0,83275	0,04208	697,0517363	107,96	593,4	9,33	615,1	23,31	492,5	11,81	96,34310752	0,83275	0,04208	0,09642	0,00159	0,326338947
5.sSMPABC027	24259,91716	1121,814309	0,268203054	0,06364	0,00207	0,102	0,00127	0,89494	0,02767	729,6879171	67,31	626,1	7,43	649	14,82	482,5	13,53	96,342423731	0,89494	0,02767	0,102	0,00127	0,402706194
5.sSMPABC081	42485	2739	0,397171418	0,0635	0,00083	0,10059	0,00086	0,8808	0,01022	725,0190416	27,54	617,9	5,04	641,4	5,52	549,2	3,79	96,1967956	0,8808	0,01022	0,10059	0,00086	0,736834672
5.sSMPABC100	3584	178	0,38172165	0,04919	0,00478	0,01049	0,0002	0,07111	0,00678	156,8971368	212,67	67,2	1,28	69,8	6,43	60,5	3,15	96,13095238	0,07111	0,00678	0,01049	0,0002	0,19965693
5.sSMPABC110	19795,70928	1170,625458	0,297672611	0,06337	0,00108	0,09902	0,00113	0,8653	0,02353	720,6712395	59,02	608,6	6,61	633	12,81	491,6	10,42	95,99079855	0,8653	0,02353	0,09902	0,00113	0,41966263
5.sSMPABC024	56577	3776	0,191806245	0,06577	0,00083	0,10948	0,0009	0,99266	0,01087	799,0643698	26,34	669,7	5,25	700,1	5,54	614,7	5,41	95,46065402	0,99266	0,01087	0,10948	0,0009	0,750721232
5.sSMPABC067	54062	3630	0,915577063	0,06577	0,00115	0,10742	0,00103	0,97394	0,01589	799,0643698	36,38	657,7	5,98	690,5	8,18	567,8	4,55	95,01292383	0,97394	0,01589	0,10742	0,00103	0,587706349

## PF – 56 (XISTO)

	Pb206*	Pb207*	Th/U	207/206	Is	206/238	Is	207/235	Is	206/207		206/238	207/235	208/232	Cone	207/235	206/238	RHO	
5.sSMPABC057	71733	9234	0.411936523	0.12443	0.00207	0.36014	0.00383	6.17389	0.0956	2020.701146	29.17	1982.9	18.14	2000.8	13.53	1661.9	22.58	99.09728176	
5.sSMPABC037	20429	2679	0.151328172	0.1276	0.0031	0.34544	0.00461	6.07159	0.13897	2065.169354	42.29	1912.8	22.08	1986.2	19.95	1762.8	66.47	96.16269343	
5.sSMPABC125	282261.5147	34967.5741	0.248552842	0.12225	0.00137	0.32761	0.00274	5.52199	0.0527	1989.321394	19.84	1826.8	13.31	1904	8.2	1606.5	11	95.77403109	
5.sSMPABC139	77110	7355	0.210566426	0.09411	0.00108	0.25707	0.00221	3.33575	0.03316	1510.322952	21.42	1474.9	11.35	1489.5	7.77	1340.8	9.76	99.01010238	
5.sSMPABC164	302812.5224	26353.70427	0.082645623	0.0863	0.00095	0.23683	0.00206	2.8181	0.02714	1344.910768	21.03	1370.2	10.74	1360.4	7.22	1196.2	8.62	100.7152241	
5.sSMPABC023	88762.02071	8004.098523	0.171188751	0.08893	0.00112	0.23196	0.00208	2.84338	0.03183	1402.652401	23.82	1344.8	10.86	1367.1	8.41	1267.9	13.13	98.34176086	
5.sSMPABC085	118523	10559	0.351963194	0.08767	0.001	0.22012	0.00183	2.66064	0.02582	1375.262814	21.78	1282.5	9.69	1317.6	7.16	1209.5	7.35	97.26315789	
5.sSMPABC113	205870	18227	0.098494469	0.08745	0.00111	0.21996	0.00198	2.65192	0.03013	1370.429429	24.11	1281.7	10.45	1315.2	8.38	1180.6	13.81	97.38628384	
5.sSMPABC161	155210.6034	13451.87146	0.229836992	0.08727	0.00101	0.2194	0.00193	2.64024	0.02714	1366.463372	22.12	1278.7	10.22	1311.9	7.57	1209.8	8.01	97.40361304	
5.sSMPABC092	78077	7148	0.111714132	0.08975	0.00129	0.21656	0.00186	2.67908	0.03373	1420.215375	27.14	1263.7	9.88	1322.7	9.31	710.5	19.63	95.33117037	
5.sSMPABC160	183329.306	14823.6019	0.080349393	0.08098	0.00111	0.21465	0.00199	2.39622	0.02995	1220.959054	26.51	1253.5	10.54	1241.5	8.95	1171.8	16.23	100.9573195	
5.sSMPABC152	61993	5093	0.201760118	0.081	0.00099	0.19509	0.00167	2.17883	0.03233	1221.44348	23.76	1148.9	9.03	1174.3	7.42	1082.5	8.95	97.78918696	
5.sSMPABC078	39019	3181	0.15648001	0.07984	0.00135	0.19332	0.00176	2.12777	0.03261	1193.038286	33.03	1139.4	9.52	1157.9	10.59	1061	19.42	98.37633842	
5.sSMPABC056	79257	6261	0.332745254	0.07736	0.00111	0.19202	0.00164	2.04788	0.02594	1130.485198	28.29	1132.3	8.85	1131.6	8.64	981.3	9.85	100.0618211	
5.sSMPABC013	99644	8100	0.299524257	0.07932	0.00099	0.19148	0.00169	2.09371	0.02332	1180.131701	24.57	1129.4	9.17	1146.7	7.66	985.3	7.91	98.46821321	
5.sSMPABC041	27735	2282	0.513077735	0.08071	0.00115	0.19035	0.00169	2.11823	0.02729	1214.392061	27.8	1123.3	9.14	1154.8	8.89	999.6	7.79	97.19576249	
5.sSMPABC049	99767	8402	0.10700057	0.08282	0.00137	0.18859	0.00185	2.15125	0.0329	1264.976994	31.85	1113.7	10.02	1165.5	10.6	1223.5	22.43	95.34883721	
5.sSMPABC071	50554	4253	0.188166025	0.08278	0.00112	0.18696	0.00168	2.13376	0.02586	1264.033432	26.02	1104.9	9.12	1159.8	8.38	762.6	9.84	95.03122455	
5.sSMPABC014	67063	5505	0.337362622	0.08061	0.00095	0.18516	0.00156	2.0578	0.02088	1211.952681	23.02	1095.1	8.49	1134.9	6.93	980.8	6.65	96.36562871	
5.sSMPABC026	53245.91755	4247.291416	0.171333129	0.07831	0.0015	0.17743	0.00179	1.91625	0.03404	1154.474842	37.5	1052.9	9.79	1086.8	11.85	1009.7	19.69	97.68032102	
5.sSMPABC042	29515	2028	0.087127369	0.06782	0.00173	0.16705	0.00172	1.56151	0.03779	863.8510785	51.96	995.9	9.51	955.1	14.98	-15.5	35.49	104.0967699	
5.sSMPABC058	68526.38202	5200.563068	0.295169398	0.07425	0.00097	0.15803	0.0014	1.6177	0.01908	1048.270472	26.22	945.8	7.82	977.1	7.4	844.8	7.05	96.69063227	
5.sSMPABC083	243257	16799	0.119517702	0.06754	0.00081	0.15453	0.00139	1.43838	0.01568	854.4702796	24.81	926.3	7.77	905	6.53	807.7	7.26	102.299471	
5.sSMPABC084	172191.0505	11814.551	0.090558779	0.06783	0.00088	0.15121	0.00124	1.41393	0.01578	863.3640102	26.67	907.8	6.93	798.1	9.67	101.4320353	1.41393	0.01578	
5.sSMPABC131	24659	1811	0.203847132	0.07268	0.00147	0.15084	0.00155	1.51147	0.0289	1005.043762	40.63	905.7	8.69	935	11.68	951.8	16.03	96.7649332	
5.sSMPABC114	193732.6191	13785.04159	0.091706668	0.07068	0.00088	0.15035	0.00125	1.46457	0.01577	948.1730663	25.37	902.6	6.98	915.9	6.5	800.5	9.02	95.52647906	
5.sSMPABC140	50441	3534	0.169954039	0.06874	0.00135	0.13535	0.00124	1.26517	0.02293	890.9477639	40.16	808	10.28	806	14.79	97.25547255	1.26517	0.02293	
5.sSMPABC168	81569.80736	5611.822538	0.138287689	0.07043	0.0014	0.13131	0.0012	1.27197	0.02305	940.9152628	40.33	795.3	6.85	833.3	10.3	801.6	14.86	95.22192883	
5.sSMPABC167	160080	10495	0.003184199	0.0648	0.00081	0.12247	0.00105	1.09428	0.02124	767.8494485	26.17	744.7	6.05	750.6	5.89	870.7	6.312	99.20773466	
5.sSMPABC059	29553	1975	0.172471282	0.06567	0.00109	0.12175	0.00107	1.01628	0.01688	795.7847873	34.47	740.6	6.15	754.5	8.15	638.1	10.9	98.1231434	
5.sSMPABC091	54548.61731	3337.019408	0.354042651	0.06334	0.00104	0.1191	0.00103	1.03996	0.01534	719.6661955	34.35	725.4	5.95	723.9	7.64	671.6	7.02	100.2067825	
5.sSMPABC141	37906	2530	0.139501895	0.06558	0.00094	0.11734	0.00102	1.06105	0.01363	792.9987739	29.65	715.3	5.9	734.3	6.71	685.9	9.07	97.34377184	
5.sSMPABC155	6984	452	0.514781491	0.06428	0.00332	0.11322	0.00176	1.00345	0.05032	750.8568767	105.39	691.4	10.19	705.6	25.5	591.7	16.21	97.94619612	
5.sSMPABC142	108181	7230	0.176339249	0.06609	0.00102	0.10976	0.00095	1.00012	0.01391	809.2274065	32.07	671.4	5.55	703.9	7.06	670.6	8.14	95.15936848	
5.sSMPABC061	35704.35526	2120.287129	0.287436316	0.06129	0.00107	0.10697	0.00094	0.90379	0.01455	649.427021	37.19	655.1	5.48	653.8	7.76	595.5	7.34	100.198443	
5.sSMPABC105	108896	6899	0.171763282	0.06234	0.0007	0.1066	0.00091	0.91613	0.00894	685.7930535	23.85	653	5.28	660.3	4.74	3.89	688.08207	0.91613	0.00894
5.sSMPABC129	23127.71578	1003.74391	0.594961223	0.06167	0.00125	0.1058	0.00107	0.89954	0.01726	662.6847877	42.81	648.3	6.24	651.5	9.22	555.5	5.6	99.50640136	
5.sSMPABC128	-545.622086	-313.2036804	0.665048866	0.06068	0.00606	0.10336	0.00171	0.86644	0.0855	632.1660041	201.32	634.1	9.99	633.6	46.51	564.1	18.86	100.0788191	
5.sSMPABC143	24819.98325	1506.671131	0.24642826	0.05856	0.00104	0.10324	0.00093	0.83367	0.01373	550.7766754	38.19	633.4	5.41	615.6	7.61	758	10.28	100.0345	
5.sSMPABC107	30388	1916	0.376685606	0.06194	0.00108	0.10281	0.00095	0.87806	0.01424	672.0377351	37.03	630.9	5.53	639.9	7.7	547.4	5.85	98.57346648	
5.sSMPABC127	1931	117	0.752208424	0.05977	0.00053	0.10236	0.00164	0.84357	0.0757	595.2583427	185.85	628.2	9.61	621.1	41.69	397.8	16.91	101.1302133	
5.sSMPABC103	9946	615	1.100613907	0.06092	0.0017	0.10229	0.00101	0.85917	0.02322	636.4106089	59.1	627.8	5.9	629.7	12.68	573	4.86	99.69735585	
5.sSMPABC015	34865	2207	0.142871332	0.06218	0.00123	0.10229	0.00099	0.87703	0.01617	680.3052817	41.62	627.8	5.77	639.4	8.75	635.6	12.32	98.15272778	
5.sSMPABC118	7009	423	1.387603265	0.05977	0.00512	0.10219	0.00181	0.84151	0.07107	595.2583427	176.11	627.3	10.58	620	29.19	390.3	9.24	101.1637175	
5.sSMPABC036	68300	4223	0.064480627	0.06069	0.00074	0.10203	0.00086	0.85375	0.00905	628.2610575	25.93	626.3	5.04	626.7	4.96	567.4	8.23	99.93613284	
5.sSMPABC064	44242	2725	0.117621144	0.06064	0.00095	0.10193	0.00091	0.8522	0.01226	626.4887952	33.34	625.7	5.35	625.9	6.72	558.1	9.47	99.96803588	
5.sSMPABC112	18806	1201																	

**ANEXO I**

Título da Dissertação/Tese:

**"ESTUDO DE PROVENIÊNCIA DOS XISTOS E QUARTZITOS ARROIO GRANDE"**

Área de Concentração: Geoquímica

Autor: **Matheus Souza Beloni**

Orientadora: Profa. Dra. Carla Cristine Porcher

Examinador: Prof. Dr. Marcus Vinicius Dorneles Remus

Data: 26 de março de 2020

Conceito: A ( Excelente)

**PARECER:**

O tema do Mestrado discute a proveniência e a origem tectônica das rochas metamórficas do Complexo Arroio Grande (Xisto, Quartzitos e metagrauvacas) encontrados numa paleobacia situada na porção sudeste do Cinturão Dom Feliciano. O autor utiliza trabalho de campo, petrografia ótica, microscopia eletrônica e determina a composição química elementar e dos isótopos de Sm-Nd em rocha total, juntamente com U-Pb em zircão para determinar a proveniência e a assinatura do ambiente tectônico dos metassedimentos do Complexo Arroio Grande. O manuscrito apresenta boa redação com ilustrações adequadas e com mínimos erros de concordância e ortografia. Tendo em vista que estas rochas possuem foliação milonítica e ocorrem associadas a granitoides, creio ser importante fazer uma discussão da origem magmática x sedimentar de tais litologias. Exemplos deste tipo são bem ilustrados na região de Santana da Boa Vista nos quartzo-milonitos da área. Possivelmente diagramas químicos discriminantes (rocha total) e dados texturais petrográficos e de campo poderiam auxiliar na comprovação da origem assumida (metassedimentar). Adicionalmente a textura dos grãos de turmalina e sua composição química e zonação poderiam complementar a discussão. Uma questão que se coloca. Qual a origem das turmalinas? Seriam detriticas e depois recristalizadas ou metassomáticas, ou hidrotermais e tardí-magmáticas?

Os dados das diferentes técnicas e metodologias utilizadas são integrados adequadamente num perspectiva de arcabouço tectônico do Precambriano do Cinturão Dom Feliciano, permitindo ao autor definir as idades de deposição dos Xistos/Quartzitos e metagrauvacas. O trabalho ainda discrimina as diferentes idades/episódios para a deposição destas unidades baseado nos valores obtidos em zircão detritico, integrado com idades modelo Sm e parâmetro épsilon Nd.

As diferentes idades obtidas, baseado no zircão mais jovem encontrado nas diferentes unidades e respectivas assinaturas Sm-Nd são consistentes . Entretanto, o numero de amostras é relativamente pequeno e seria desejável que mais dados fossem agregados a esta coleção, para validar os espectros de idade U-Pb no zoircão e de TDM x parâmetro épsilon. Algumas fotos de CL da Figura 5 estão muito escuras e creio que seria interessante melhorar seu brilho.

Finalmente considero que o trabalho possui muitos méritos e atribuo o conceito A (Excelente ) para o Mestrado.

Assinatura:



Data: 26/03/2020

Ciente do Orientador:

Ciente do Aluno:

**ANEXO I**

Título da Dissertação/Tese:

**"ESTUDO DE PROVENIÊNCIA DOS XISTOS E QUARTZITOS ARROIO GRANDE"**

Área de Concentração: Geoquímica

Autor: **Matheus Souza Beloni**

Orientadora: Profa. Dra. Carla Cristine Porcher

Examinadora: Profa. Dra. Cristine Lenz

Data: 22/03/2020

Conceito: A

**PARECER:****PARECER:****Prezado Sr. Matheus Souza Beloni**

A dissertação de mestrado intitulada “ESTUDO DE PROVENIÊNCIA DOS XISTOS E QUARTZITOS ARROIO GRANDE” apresenta dados de petrografia, geoquímica de rocha total e isotópica e idades U-Pb de três litotipos da região de Arroio Grande.

- a) Título: Sugiro inserir as grauvacas no título: Eu gostei do seu título em inglês e sugiro a utilização do mesmo título na dissertação. Apesar da idade deposicional das grauvacas ser diferente dos xistos e quartzitos, as três unidades foram deformadas durante o mesmo evento, podendo ser incluídas no mesmo complexo: dessa forma sugiro a substituição do termo Xistos e Quartzitos Arroio Grande por Metassedimentos Arroio Grande ao longo de todo o texto.
- b) Estrutura geral da dissertação: Não acho necessário a inclusão do item Resultados no corpo do texto, sendo que já consta no artigo esses mesmos resultados, escritos de forma exatamente igual.
- c) Em relação à nomenclatura de tempos geológicos, sugiro a leitura do artigo: *Sobre o uso dos termos geocronológicos e cronoestratigráficos*, de Mitsuru Arai e Péricio de Moraes Branco, da revista *Terrae Didática*, v.13, número 3, 217-224, ano 2018. Esses autores sugerem a grafia de todos os períodos, éons e eras com a primeira letra Maiúscula, como é feito no inglês. Porém como há regras no português que possibilitam a grafia da “idade” com letra minúscula, deixo à você a escolha do critério no texto da dissertação. Lembrando que no artigo em inglês, a grafia deve iniciar com Maiúsculo sem exceções.
- d) Artigo: O artigo apresenta dados científicos de qualidade, porém com algumas considerações a serem feitas:
  - 1) A tradução para o inglês não está boa: a sensação é a de que o texto em português foi jogado no google tradutor sem arrumações

posteriores. Há partes em que a compreensão da frase é praticamente impossível. Sugiro enviar para um tradutor ou para um nativo, para melhorar a língua.

- 2) O texto do artigo não está justificado e todas as páginas a partir do Sumário são de número 16.
- 3) Há algumas discordâncias em relação a nomenclatura de unidades. Na sua figura 1A, suas rochas estão inseridas dentro do Terreno Punta del Este (Verde musgo), enquanto que no texto vc diz que eles fazem parte do Terreno Cuchilla Dionisio-Pelotas (que está a oeste da zona de cisalhamento Ayrosa-Galvão). No item 2.2.vc fala dos metassedimentos do Cuchilla Dionísio e logo após fala que o Arroio Telho faz parte do Terreno Sudeste??
- 4) Colocar no mapa da figura 01 B a localização de todas as amostras estudadas, não apenas de 03 delas.
- 5) No texto referente às microestruturas vc chega numa temperatura entre 500 e 700 graus falando que tem GBM e SGR, porém na imagem que vc coloca (B) não é visível ver nem uma nem a outra. Nem mesmo a foliação mais antiga é visível. Sugiro trocar por uma imagem em que o GBM é visível (já que é a temperatura mais alta dos litotipos e se possível uma imagem com menos zoom do litoclasto mimetizado da figura B).
- 6) Vc fala de dois eventos metamórficos diferentes na unidade das grauvacas e que houve transposição da foliação. Entretanto pela imagem 4B a parte central superior da imagem aparenta ser um antigo litoclasto, agora totalmente recristalizado. Esse evento metamórfico mais antigo, que vc cita, não poderia ser do clasto que serviu de área fonte para essa paleobacia?
- 7) Caso contrário se na concepção realmente existe uma diferença de idade significativa entre esses dois eventos metamórficos, deveriam existir dois eventos tectônicos que alterariam a geotermia (arco magmático, colisão etc). Quais eventos, dentro do CDF seriam esses?
- 8) Além disso, quando vc cita e de certa forma concorda com o trabalho de Ramos et al., (2019) sugerindo um evento metamórfico mais jovem de 610-585 e depois sugere áreas fonte dessas mesmas rochas metamórficas de composição granítica de 585 e 574 (cristalizaram nessa idade na crosta média, soerguem e viram área fonte, depois depositam e ainda metamorfizam em 585 Ma). Ou seja, ou a fonte não é desses granitos ou essa idade metamórfica não condiz com esse evento. Acho importante vc discutir isso.
- 9) Não acho que vc deva utilizar a geoquímica de elementos maiores em rochas de protólito sedimentar, com pelo menos dois eventos metamórficos registrados e próximos de grandes zonas de cisalhamento. O indicado é a utilização de elementos imóveis (Zr, Y, Nb) ou Cr, Ni, etc. A interpretação deles caindo em um ambiente de arco de ilha também não fecha com a região, já que o Gnaissé Piratini e Cx Pinheiro Machado, ambos interpretados como possível área fonte são arcos continentais e nenhuma amostra caiu nesse campo.
- 10) A quantidade de elementos compatíveis dos xistos, inclusive de

uma das amostras do quartzito é admirável, pois são amostras que geralmente tem valores desprezíveis desses elementos (Cr, Ni, Cu, Co). Essa quantidade desses elementos pode significar uma área fonte juvenil para essas rochas. Seria interessante fazer o spidergrama para ver se existe anomalia negativa de Nb para avaliar se a área fonte poderia ser apenas as rochas mais primitivas do Piratini e Pinheiro Machado ou se precisaria de uma fonte de magmatismo extensional associada (um back arc ou plato oceanico, ou áreas de bacia oceanica).

- 11) Tem uma amostra de quartzito que cai junto com a grauvaca, mas vc não cita o porque disso.
- 12) Em termos de interpretações finais sugiro a comparação das rochas metassedimentares dessa região com outras áreas do Uruguay (La Micaela) e da África (Marmora e Oranjemund) para gerar um interesse mais mundial para o trabalho.

Como conclusões finais, considero o trabalho com ótimos dados, porém necessita de mais trabalho para melhorar a parte da linguagem e para embasar as discussões finais em relação á área fonte (dados de geoquímica de rocha total e dois dados da geoquímica isotópica sugerem fontes mais juvenis como área fonte, podendo ser os dioritos ou gabros do Piratini ou Pinheiro Machado ou então sedimentos como uma afinidade mais oceanica (plato, bacias oceanicas no geral ou então um back arc).

A questão da idade do metamorfismo x idade de minima deposição da bacia precisa ser discutido também, além dos outros comentários acima citados.

Assinatura:

Data:

Ciente do Orientador:

Ciente do Aluno:

**ANEXO I**

Título da Dissertação/Tese:

**"ESTUDO DE PROVENIÊNCIA DOS XISTOS E QUARTZITOS ARROIO GRANDE"**

Área de Concentração: Geoquímica

Autor: **Matheus Souza Beloni**

Orientadora: Profa. Dra. Carla Cristine Porcher

Examinador: Prof. Dr. Viter Magalhães Pinto

Data: 30/03/20

Conceito: A

**PARECER:**

A dissertação ESTUDO DE PROVENIÊNCIA DOS XISTOS E QUARTZITOS ARROIO GRANDE de MATHEUS SOUZA BELONI, obteve dados, interpretações, discussões e respostas acerca dos xistos e quartzitos Arroio Grande e da unidade metagrauvaca inserida no Complexo Arroio Grande, a sudeste do Cinturão Dom Feliciano, na porção brasileira. Para essa finalidade foi realizada análise petrográfica, obtidos e interpretado dados de geoquímica de elementos maiores e traços, geoquímica isotópica em rocha-total (Sm/Nd) e idades U-Pb em zircão detritico das unidades metassedimentares. Sua principal contribuição, com base nos dados, sugere que as unidades pertencem a momentos distintos de deposição na evolução leste do Cinturão Dom Feliciano, e que os xistos e quartzitos Arroio Grande (548 Ma) são as unidades metassedimentares mais jovens encontrada à leste desse cinturão e que representariam o estágio final na amalgamação do Gondwana.

O Matheus S. Beloni cumpriu com os requisitos necessário para o título de mestre.

## Algumas Recomendações

Texto integrador:

Revisar a formatação geral do texto com títulos, sub títulos, início de parágrafos etc.;

Poucos exemplos:

linha 196: para a datação, pois assim é obtém-se idades que representam de forma;

Linhas 250, 251, 252: formatação

Linha 473: rochas metasedimentares

Linha 475: idades de zircão detriticas

## Artigo

Revisar toda a escrita. Muitos erros que precisam de correção, Alguns exemplos:

Linha 700: This paper describes the Arroio Grande Schists and Quartzites and the metagraywacke;

L 705: medium/low ...medium to low....(400 to 300°C)...

L 707: se são só duas amostras não podem ser entre (between). Uma é -6 e outra -14!

L 711: in medium to high temperature (500-700 °C)... explique essa temperatura de 700°C.

L 729: as well as climatic and deformational conditions during the orogenic events

REFERÊNCIAS????

L 738-740: este parágrafo não tem referências...saiu tudo dos autores? Revisar inglês.

L746: on these cases to access/recover...EVITE USAR /. MELHORAR INGLÊS

A INTRODUÇÃO ESTÁ CONFUSA. REESCREVER

L758-762: isso é informação do ambiente geológico, não é aqui.

L 801-810: Those terranes with distinct crustal evolution, were formed during three orogenic events (Silva et al., 2005); Brasiliano I (climax between 730-700 Ma – only São Gabriel Terrane, related to the São Gabriel Orogeny and to the closure of the São Gabriel/Charrua paleo-ocean, Saalmann et al., 2011), Brasiliano II (climax between 640-620 Ma – related to the Dom Feliciano Orogeny at the Cuchilla Dionisio-Pelotas Terrane, represented by the expressive volume of magmatism and intense crustal reworking, possibly related to the closure of the South Adamastor paleo-ocean and back-arc basins related; Chemale Jr., 2000; Frimmel et al., 2011; Ramos et al., 2017), and Brasiliano III (climax between 590-550 Ma – related to the syntectonic and post-orogenic magmatism, and to the late stages of amalgamation of the Western Gondwana) (Babinski et al., 1997; Brito-Neves et al., 2014).

Nossa isso tudo é uma frase? Por favor coloque ponto, vírgula, respire...

L 815: Cuchilla Dionisio-Pelotas Terrain and Punta del Este terrain, near

Um terreno é maiúsculo outro minúsculo...

Figure 1: melhorar a legenda das rochas relacionadas ao estudo (Arroio Grande and passo del dragon? matarazzo marbles...sugiro separar e destacar estas unidades.

L 837-838: sugiro não misturar metodologias diferentes...sei que tuas idades próximas a 550 Ma podem ser relacionadas, mas não estas idades...além disso tuas idades mais jovens podem ser valorizadas (olhar os erros e MSWD)

L 847-859: melhorar a descrição deste parágrafo. Tá confuso e linguagem quebrada...

L879: guarda Velha Complex... por que não está no mapa? ou são os "Herval Schist"? se são porque usar duas nomenclaturas...

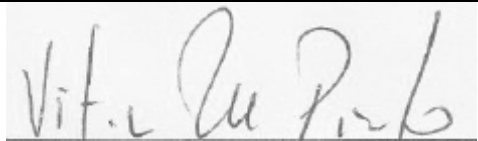
L910-914: não é necessário repetir a descrição! Foi descrito acima por Ramos et al. 2018.

Remover

L922-923: tirar southernmost RS! Já sabemos disso. Também já se sabe que está na cidade de AG.

L928: figura 2A não parece ter 5m

Assinatura:



Data: 30/03/20

Ciente do Orientador:

Ciente do Aluno: